

UNIVERSIDAD LAICA VICENTE ROCAFUERTE DE GUAYAQUIL

FACULTAD DE INGENIERÍA, INDUSTRIA Y

CONSTRUCCIÓN

CARRERA DE INGENIERÍA CIVIL

TRABAJO DE TITULACIÓN

PREVIO A LA OBTENCIÓN DEL TÍTULO DE

INGENIERO CIVIL

TEMA

DISEÑO DE BLOQUE TERMOAISLANTE CON FIBRA DE COCO Y BAGAZO DE CAÑA PARA VIVIENDAS DE INTERÉS SOCIAL.

TUTORA

Mgtr. JULY ROXANA HERRERA VALENCIA

AUTORES

NORMA MARÍA ERRAZURIZ CARRILLO
NATHALY VIRGINIA ROMERO GÓMEZ
GUAYAQUIL

2025







REPOSITORIO NACIONAL EN CIENCIA Y TECNOLOGÍA FICHA DE REGISTRO DE TESIS

TÍTULO Y SUBTÍTULO:

Diseño de bloque termoaislante con fibra de coco y bagazo de caña para

Diserio de bioque termodisiante con libra de coco y bagazo de cana para	
viviendas de interés social.	
AUTOR/ES:	TUTOR:
Errazuriz Carrillo Norma María	Mgtr. July Roxana Herrera Valencia
Romero Gómez Nathaly Virginia	
, ,	
INSTITUCIÓN:	Grado obtenido:
Universidad Laica Vicente	Ingeniero Civil
Rocafuerte de Guayaquil	
FACULTAD:	CARRERA:
	ļ -
LINGENIERIA INDUSTRIA Y	INGENIERÍA CIVII
INGENIERÍA, INDUSTRIA Y	INGENIERÍA CIVIL
CONSTRUCCIÓN	
CONSTRUCCIÓN FECHA DE PUBLICACIÓN:	N. DE PÁGS: 144
CONSTRUCCIÓN	
CONSTRUCCIÓN FECHA DE PUBLICACIÓN:	
CONSTRUCCIÓN FECHA DE PUBLICACIÓN:	

ÁREAS TEMÁTICAS: Arquitectura y Construcción

PALABRAS CLAVE: Desperdicio, Materiales de construcción, Hormigón,

Fibra.

RESUMEN:

Este proyecto tuvo como objetivo el diseño de un bloque termoaislante con fibra de coco y bagazo de caña de azúcar para viviendas de interés social, aportando a las mismas un mayor confort térmico, puesto que este bloque se diseñó para que tenga un coeficiente de conductividad térmica bajo mediante la incorporación de fibras vegetales como bagazo de caña y fibra de coco, las cuales son consideradas como desperdicios agrícolas.

Se realizaron ensayos de resistencia a compresión a los bloques con 5 dosificaciones de fibra de coco y bagazo de caña, dichas fibras fueron sometidas a un tratamiento hidrotérmico con el fin de eliminar sus impurezas. La primera dosificación correspondió al bloque patrón sin fibras vegetales y la cuarta dosificación tuvo los mismos porcentajes de la tercera dosificación, con la diferencia de que ésta contuvo el bagazo de caña tratado con hidróxido de sodio

para mejorar su adherencia al cemento y verificar su resistencia a compresión. La cuarta dosificación fue aquella que mejores resultados obtuvo en la prueba de compresión, con un promedio de 3,36 MPA.

Además, se realizó el ensayo de conductividad térmica para determinar el coeficiente de conductividad térmica del bloque. En este sentido, se elaboró un bloque de 15cm x 15cm x 7cm con fibra de coco y bagazo de caña que sirvió como muestra para el ensayo de conductividad térmica, el cual fue elaborado con la dosificación que cumplió con los resultados del ensayo de resistencia a compresión. El bloque obtuvo una conductividad térmica 0,902 W/m*K°.

N. DE REGISTRO (en base de datos):	N. DE CLASIFICAC	CIÓN:
DIRECCIÓN URL (Web):		
ADJUNTO PDF:	SI X	NO
CONTACTO CON AUTOR/ES: Errazuriz Carrillo Norma María Romero Gómez Nathaly Virginia	Teléfono:	E-mail: nerrazurizc@ulvr.edu.ec nromerog@ulvr.edu.ec
CONTACTO EN LA INSTITUCIÓN:	PhD. Marcial Calero Teléfono: (04) 259 E-mail: mcaleroa@ Mgtr. Jorge Enrique Teléfono: (04) 259 E-mail: etorresr@u	6500 Ext. 241 ulvr.edu.ec Torres Rodríguez 6500 Ext. 242

CERTIFICADO DE SIMILITUD

Errazuriz y Romero_TESIS FINAL REC.docx

INFORME DE ORIGINALIDAD

6%
INDICE DE SIMILITUD

5%

2%

Z% Z PUBLICACIONES TRA

TRABAJOS DEL ESTUDIANTE

ENCONTRAR COINCIDENCIAS CON TODAS LAS FUENTES (SOLO SE IMPRIMIRÁ LA FUENTE SELECCIONADA)

FUENTES DE INTERNET

< 1%

★ Submitted to BENEMERITA UNIVERSIDAD AUTONOMA DE PUEBLA BIBLIOTECA

Trabajo del estudiante

Excluir citas Apagado

Excluir bibliografía

Apagado

Excluir coincidencias

Apagado

DECLARACIÓN DE AUTORÍA Y CESIÓN DE DERECHOS PATRIMONIALES

Los estudiantes egresados NORMA MARÍA ERRAZURIZ CARRILLO Y NATHALY

VIRGINIA ROMERO GÓMEZ, declaramos bajo juramento, que la autoría del presente

Trabajo de Titulación, **DISEÑO DE BLOQUE TERMOAISLANTE CON FIBRA DE COCO**

Y BAGAZO DE CAÑA PARA VIVIENDAS DE INTERÉS SOCIAL, corresponde

totalmente a los suscritos y nos responsabilizamos con los criterios y opiniones científicas

que en el mismo se declaran, como producto de la investigación realizada.

De la misma forma, cedemos los derechos patrimoniales y de titularidad a la Universidad

Laica VICENTE ROCAFUERTE de Guayaquil, según lo establece la normativa vigente.

Autores

Firma: Norma Errazuriz

NORMA MARÍA ERRAZURIZ CARRILLO

C.I.: 0951192822

Firma: Remetaly.

NATHALY VIRGINIA ROMERO GÓMEZ

C.I.: 0931738090

V

CERTIFICACIÓN DE ACEPTACIÓN DEL DOCENTE TUTOR

En mi calidad de docente Tutor del Trabajo de Titulación DISEÑO DE BLOQUE

TERMOAISLANTE CON FIBRA DE COCO Y BAGAZO DE CAÑA PARA VIVIENDAS

DE INTERÉS SOCIAL, designado(a) por el Consejo Directivo de la Facultad de

Ingeniería, Industria y Construcción de la Universidad Laica VICENTE ROCAFUERTE

de Guayaquil.

CERTIFICO:

Haber dirigido, revisado y aprobado en todas sus partes el Trabajo de Titulación, titulado:

DISEÑO DE BLOQUE TERMOAISLANTE CON FIBRA DE COCO Y BAGAZO DE

CAÑA PARA VIVIENDAS DE INTERÉS SOCIAL, presentado por las estudiantes

NORMA MARÍA ERRAZURIZ CARRILLO Y NATHALY VIRGINIA ROMERO GÓMEZ

como requisito previo, para optar al Título de INGENIERO CIVIL, encontrándose apto

para su sustentación.

Firma:

Mgtr. JULY ROXANA HERRERA VALENCIA

C.C. 0916201569

vi

AGRADECIMIENTO

Agradezco primeramente a Dios, por darme la fortaleza y la claridad necesarias para completar esta etapa de mi vida. A mis padres José Celso Errazuriz Espinoza, Cefisa Verónica Carrillo Veliz, cuyo amor y sacrificio han sido la base de mi educación, gracias por estar siempre a mi lado, impulsándome a continuar y no rendirme. Agradezco de todo corazón a Mgtr. July Roxana Herrera Valencia mi tutora de tesis, por su paciencia, motivación y consejos los cuales fueron esenciales para superar los retos de esta tesis. Gracias por su tiempo, por compartir su conocimiento y por impulsarme a dar lo mejor de mí. También quiero agradecerles a mis profesores de la Universidad, en especial a mi querida profesora PhD. Iris Carolina Vargas de Carrasquero, por sus enseñanzas en la materia de escritura científica y al Ing. Mendoza Villacís Kevin Ángel, quien también fue una gran guía en la realización del proyecto, al Sr. Guillermo Remache, dueño de la bloquera, gracias por su disposición al permitir que ingresemos a su instalación y poder realizar nuestras muestras, por compartir su experiencia la cual fue de mucha ayuda para el desarrollo de esta investigación. Agradezco también a mis amigos de curso, en especial a Andrés Ortiz Murillo, Kevin Pinto Cañarte, Nathaly Romero Gómez con quienes he compartido largas jornadas de estudio, por su apoyo incondicional.

DEDICATORIA

Le dedico este trabajo a mis padres, José Celso Errazuriz Espinoza y Cefisa Verónica Carrillo Veliz, por su amor, por sacrificar tantas cosas para que yo pueda seguir con mis estudios, ellos han sido la base de mi formación. A mis abuelitas Sara María Veliz Falcones y Norma María Espinoza Burgos, quienes también han estado impulsándome con todo su amor para que salga adelante, gracias por creer en mí, por sus historias y enseñanzas me han inspirado a perseverar y luchar por mis sueños. A mis queridos amigos de estudio quienes, por su apoyo en cada etapa de este camino.

ERRAZURIZ CARRILLO NORMA MARÍA

AGRADECIMIENTO

En primer lugar, quiero agradecerle a mi tutora de tesis, Mgtr. July Roxana Herrera Valencia, por su paciencia, guía, confianza en nuestra capacidad para desarrollar esta investigación. Su apoyo y consejos fueron clave para superar muchos obstáculos en el proceso. Estoy muy agradecida con mis padres y mis abuelos paternos y maternos, quienes son los pilares de mi vida, por su apoyo incondicional, ánimo y motivación en cada etapa de mi formación y por enseñarme el valor del esfuerzo y la perseverancia, y a mi hermano Andrés, por estar siempre a mi lado cuando lo necesito. También me gustaría agradecer a mi tía Paola Romero, al Ing. Daniel Falquez, Ing. Carolina Massay, PhD. Haci Baykara y al Ing. José Macías por su guía en la realización de los ensayos del proyecto, al Sr. Guillermo, dueño de la bloquera, por permitirnos hacer los bloques de esta tesis en su bloquera; su generosidad y disposición fueron esenciales para este estudio. A mis amigos Kevin Pinto, Andrés Ortiz y Norma Errazuriz, y también a mis compañeros de curso; su apoyo, conocimientos y ánimos a lo largo de esta carrera me han permitido superar todos los obstáculos.

DEDICATORIA

Les dedico este trabajo a mis padres, mi hermano, mis abuelos paternos y maternos, y mi familia, quienes han sido mi fortaleza e inspiración en toda mi vida.

ROMERO GÓMEZ NATHALY VIRGINIA

RESUMEN

Este proyecto tuvo como objetivo el diseño de un bloque termoaislante con fibra

de coco y bagazo de caña de azúcar para viviendas de interés social, aportando a las

mismas un mayor confort térmico, puesto que este bloque se diseñó para que tenga un

coeficiente de conductividad térmica bajo mediante la incorporación de fibras vegetales

como bagazo de caña y fibra de coco, las cuales son consideradas como desperdicios

agrícolas.

Se realizaron ensayos de resistencia a compresión a los bloques con 5

dosificaciones de fibra de coco y bagazo de caña, dichas fibras fueron sometidas a un

tratamiento hidrotérmico con el fin de eliminar sus impurezas. La primera dosificación

correspondió al bloque patrón sin fibras vegetales y la cuarta dosificación tuvo los

mismos porcentajes de la tercera dosificación, con la diferencia de que ésta contuvo el

bagazo de caña tratado con hidróxido de sodio para mejorar su adherencia al cemento y

verificar su resistencia a compresión. La cuarta dosificación fue aquella que mejores

resultados obtuvo en la prueba de compresión, con un promedio de 3,36 MPA.

Además, se realizó el ensayo de conductividad térmica para determinar el

coeficiente de conductividad térmica del bloque. En este sentido, se elaboró un bloque

de 15cm x 15cm x 7cm con fibra de coco y bagazo de caña que sirvió como muestra

para el ensayo de conductividad térmica, el cual fue elaborado con la dosificación que

cumplió con los resultados del ensayo de resistencia a compresión. El bloque obtuvo una

conductividad térmica 0,902 W/m*K°.

Palabras claves: Desperdicio, Materiales de construcción, Fibra, Hormigón.

ix

ABSTRACT

This project aimed to design a thermal insulation block with coconut fiber and sugar

cane bagasse for social housing, providing them with greater thermal comfort, since this

block was designed to have a low thermal conductivity coefficient by incorporating plant

fibers such as sugar cane bagasse and coconut fiber, which are considered agricultural

waste.

Compression resistance tests were carried out on the blocks with 5 dosages of

coconut fiber and sugar cane bagasse, said fibers were subjected to a hydrothermal

treatment in order to eliminate their impurities. The first dosage corresponded to the

standard block without plant fibers and the fourth dosage had the same percentages as

the third dosage, with the difference that it contained sugar cane bagasse treated with

sodium hydroxide to improve its adherence to cement and verify its compressive strength.

The fourth dosage was the one that obtained the best results in the compression test,

with an average of 3,36 MPA.

In addition, the thermal conductivity test was performed to determine the thermal

conductivity coefficient of the block. In this sense, a 15cm x 15cm x 7cm block was made

with coconut fiber and sugarcane bagasse that served as a sample for the thermal

conductivity test, which was made with the dosage that met the results of the compressive

strength test. The block obtained a thermal conductivity of 0.902 W/m*K°.

Keywords: Waste, Building materials, Strength, Fiber, Concrete.

Х

ÍNDICE GENERAL

INTRODUCCION	1
CAPÍTULO I	3
ENFOQUE DE LA PROPUESTA	3
1.1 Tema:	3
1. 2 Planteamiento del Problema:	3
1.3 Formulación del Problema:	4
1.4 Objetivo General	4
1.5 Objetivos Específicos	5
1.6 Hipótesis	5
1.7 Línea de Investigación Institucional / Facultad	5
CAPÍTULO II	6
MARCO REFERENCIAL	6
2.1 Marco Teórico:	6
2.1.1 Impactos Ambientales por Emisiones de CO 2 por Parte del Sector de la Construcción	6
2.1.2 Clima de Guayaquil	8
2.1.3 Antecedentes	10
2.1.4 Bloques de Hormigón	14
2.1.5 Diseño de Mezclas de Hormigón	18
2.1.6 Hormigón con Fibras Vegetales	19
2.1.7 Fibras Vegetales	20
2.1.8 Tratamiento Químico para las Fibras Vegetales	27
2.1.9 Aislamiento Térmico en Edificaciones	28
2.2 Marco Legal:	31
2.2.1 Constitución de la República del Ecuador	31
2.2.2 Código Orgánico del Ambiente	32
2.2.3 Normas Técnicas para la Fabricación de los Bloques de Hormigón	35
CAPÍTULO III	36
MARCO METODOLÓGICO	36

3.1 Enfoque de la Investigación: Cuantitativo	36
3.2 Alcance de la Investigación: Correlacional y Descriptivo	36
3.3 Técnica e Instrumentos para Obtener los Datos	37
3.4 Población y Muestra	40
CAPÍTULO IV	42
PROPUESTA O INFORME	42
4.1 Procedimiento para el Diseño de Bloque Termoaislante con Fibra de Coco y Bagazo de Caña para Viviendas de Interés Social	42
4.1.2 Ensayos para La Caracterización de Los Agregados Gruesos y Finos	42
4.1.3 Dosificación del Bloque Patrón con La Normativa ACI 211.1	49
4.1.4 Tratamiento Químico de Las Fibras de Coco y El Bagazo de Caña de Azúo	car
	57
4.1.5 Proceso de Elaboración de los Bloques	
4.1.6 Ensayo de Resistencia a Compresión (INEN 3066)	64
4.1.7 Cálculo del Contenido de Humedad en los Bloques	64
4.1.8 Ensayo de Conductividad Térmica	65
4.2 Presentación de Resultados	66
4.2.1 Resultados de la Caracterización de los Agregados Gruesos y Finos	66
4.2.2 Resultados del Contenido de Humedad de los Bloques	75
4.2.3 Resultados del Ensayo de Resistencia a Compresión	82
4.2.4 Resultados del Ensayo de Conductividad Térmica	96
4.2.5 Cantidad de Bloques para 1 m2 de pared de una vivienda	100
4.2.6 Análisis de Precios Unitarios (APU) para la elaboración de bloques para 1 de pared de una vivienda	
4.2.7 Presupuesto	109
4.2.8 Modelado en 3D de vivienda Empleando el Bloque Prototipo	109
CONCLUSIONES	113
RECOMENDACIONES	114
ANEXOS	120

ÍNDICE DE TABLAS

Tabla 1: Medidas estándar de los bloques de hormigón	14
Tabla 2: Tipos de bloques huecos de hormigón y sus usos	14
Tabla 3: Bloques de Hormigón de Acuerdo a Su Densidad	14
Tabla 4: Características Físicas de La Fibra de Coco	21
Tabla 5: Características Físico Mecánicas de La Fibra de Coco	21
Tabla 6: Componentes Principales del Coco	22
Tabla 7: Componentes principales del bagazo de caña de azúcar	25
Tabla 8: Muestra de Bloques para Los Diferentes Ensayos	
Tabla 9: Resultados de los Ensayos del Agregado Grueso y Fino	49
Tabla 10: Revenimientos Recomendados para Diversos Tipos de Construcción	49
Tabla 11: Requisitos Aproximados de Agua de Mezclado y Contenido de Aire	50
Tabla 12: Desviación Estándar de La Resistencia del Concreto en kg/cm2	51
Tabla 13: Relación Agua/Cemento por Peso	52
Tabla 14: Volumen de Agregado Grueso por Volumen Unitario de Concreto	52
Tabla 15: Estimación del Peso de Los Materiales	54
Tabla 16: Ajustes por Humedad	
Tabla 17: Ajustes por Humedad	54
Tabla 18: Cantidad de materiales en peso para 1 m3 corregidas por humedad	54
Tabla 19: Resultados para La Cantidad de Materiales de 8 Bloques	55
Tabla 20: Bagazo de caña=0% y fibra de coco 0%	
Tabla 21: Bagazo de caña=0,5% y fibra de coco 2%	
Tabla 22: Bagazo de caña=0,5% y fibra de coco 3%	
Tabla 23: Bagazo de caña=0,5% y fibra de coco 3,5%	56
Tabla 24: Bagazo de caña=0,5% (tratamiento con hidróxido de sodio al 2%) y fibra d	le
coco 3,5%	
Tabla 25: Granulometría del Chasqui	
Tabla 26: Cálculo del porcentaje de error del ensayo de granulometría del chasqui	67
Tabla 27: Resultados del ensayo para el peso volumétrico del chasqui	
Tabla 28: Ensayo de gravedad específica y absorción del chasqui	70
Tabla 29: Ensayo de granulometría de la piedra chispa	71
Tabla 30: Cálculo del porcentaje de error del ensayo de granulometría de la piedra	
chispa	
Tabla 31: Resultados del ensayo para el peso volumétrico de la piedra chispa	
Tabla 32: Gravedad específica y absorción del agregado grueso	
Tabla 33: Resultados del ensayo de granulometría de la arena	
Tabla 34: Cálculo del porcentaje de error del ensayo de granulometría de la arena	
Tabla 35: Resultados del ensayo del peso volumétrico de la arena	
Tabla 36: Resultados del ensayo de gravedad específica y absorción del agregado f	
	74

Tabla 37:	Dimensiones de las muestras de la Dosificación 0:	7
Tabla 38:	Unidades para determinar el contenido de humedad de la Dosificación 0 7	7
Tabla 39:	Dimensiones de las muestras de la Dosificación 1	⁷ 8
Tabla 40:	Unidades para determinar el contenido de humedad de la Dosificación 1 7	7 9
Tabla 41:	Dimensiones de las muestras de la Dosificación 2	7 9
Tabla 42:	Unidades para determinar el contenido de humedad de la Dosificación 2 8	30
Tabla 43:	Dimensiones de las muestras de la Dosificación 3	30
Tabla 44:	Unidades para determinar el contenido de humedad de la Dosificación 3 8	31
Tabla 45:	Dimensiones de las Muestras para el Ensayo de Absorción de la Dosificació	'n
4	3	31
Tabla 46:	Unidades para el Ensayo de Absorción de la Dosificación 4	32
Tabla 47:	Resultados del ensayo de resistencia a compresión de la Dosificación 0 a lo	S
28 días		
	Datos obtenidos del ensayo de resistencia a compresión de D0-B1	
	Datos obtenidos del ensayo de resistencia a compresión de D0-B2	
	Datos obtenidos del ensayo de resistencia a compresión de D0-B3	
	Curva Esfuerzo-Deformación de D0	
	Resultados del ensayo de resistencia a compresión de la dosificación 1 a los	
28 días		
	Datos obtenidos del ensayo de resistencia a compresión de D1-B1	
	Datos obtenidos del ensayo de resistencia a compresión de D1-B2	
	Datos obtenidos del ensayo de resistencia a compresión de D1-B3	
	Resultados del Ensayo de Resistencia a Compresión de la Dosificación 2 a	
	s	
	Datos obtenidos del ensayo de resistencia a compresión de D2-B1	
	Datos obtenidos del ensayo de resistencia a compresión de D2-B2	
	Resultados del ensayo de resistencia a compresión de la Dosificación 3 a lo	
	Datos obtenidos del ensayo de resistencia a compresión de D3-B1	
	Datos obtenidos del ensayo de resistencia a compresión de D3-B2	
	Datos obtenidos del ensayo de resistencia a compresión de D3-B3	
	Curva Esfuerzo-Deformación de D3	
	Resultados del ensayo de resistencia a compresión de la Dosificación 4 a lo	
	Datos obtenidos del ensayo de resistencia a compresión de D4-B1	
	Datos obtenidos del ensayo de resistencia a compresión de D4-B2	
Tabla 68:	Datos obtenidos del ensayo de resistencia a compresión de D4-B39)4
	Volumen de mortero para 1 m^2 de pared10	
Tabla 70:	Cantidades finales para el mortero y bloques por 1 m2 de pared10)4

Tabla 71: Bagazo de cana=0,5% (tratamiento con hidroxido de sodio al 2%) y fil	ora de
coco 3,5%	104
Tabla 72: APU de la producción de 13 bloques de la dosificación 4	105
Tabla 73: APU del emblocado con bloques de la dosificación 4	106
Tabla 74: APU del enlucido interior de 1 m2 de pared	107
Tabla 75: APU del enlucido exterior de 1 m2 de pared	108
Tabla 76: Presupuesto	109
ÍNDIOE DE FIGURA O	
ÍNDICE DE FIGURAS	
Figura 1: Emisiones de CO2 por sectores	7
Figura 2: Partes del coco	
Figura 3: Localización en Mapa del Coco en Ecuador	24
Figura 4: Localización en mapa de la caña de azúcar en Ecuador	27
Figura 5: Conducción de calor a través de cualquier material	30
Figura 6: Tamizado del Chasqui por el tamiz No.4	45
Figura 7: Pesaje de la Cantidad de BCA para el Tratamiento Hidrotérmico	57
Figura 8: Medición de temperatura de la solución con agua destilada y BCA	58
Figura 9: Pesaje del BCA	60
Figura 10: Pesaje del agregado grueso	61
Figura 11: Mezclado de los materiales	62
Figura 12: Textura y Acabado de la Mezcla durante el Mezclado	62
Figura 13: Carga de la mezcla en la máquina vibro compactadora	63
Figura 14: Acabado final de los bloques con fibra de coco y BCA	63
Figura 15: Curva granulométrica del chasqui	68
Figura 16: Curva granulométrica de la piedra chispa	72
Figura 17: Curva granulométrica de la arena	72
Figura 18: Peso del bloque seco Inicial	75
Figura 19: Bloques sumergidos en agua por 24 horas	76
Figura 20: Peso del bloque superficialmente saturado	76
Figura 21: Contenido de humedad de los bloques de la Dosificación 0	77
Figura 22: Contenido de humedad de los bloques de la Dosificación 1	79
Figura 23: Contenido de humedad de los bloques de la Dosificación 2	80
Figura 24: Contenido de humedad de los bloques de la Dosificación 3	81
Figura 25: Contenido de humedad de los bloques de la Dosificación	82
Figura 26: Curva Esfuerzo-Deformación de D1	87
Figura 27: Curva Esfuerzo-Deformación de D2	
Figura 28: Curva Esfuerzo-Deformación de D4	
Figura 29: Informe de resultados del ensayo de conductividad térmica (parte 1).	

Figure 24. Informed de magnitudes del propose de population de démaise (poute 2)	
Figura 31: Informe de resultados del ensayo de conductividad térmica (parte 3)	98
Figura 32: Guía de los valores de conductividad térmica	
Figura 33: Dimensiones del bloque prototipo para 1 m2 de pared	100
Figura 34: Dimensiones de la pared y número de bloques para 1 m2 de pared	102
Figura 35: Modelado con vista en planta de la vivienda	109
Figura 36: Modelado de fachada frontal de la vivienda	110
Figura 37: Modelado de fachada lateral izquierda de la vivienda	110
Figura 38: Modelado de fachada posterior de la vivienda	111
Figura 39: Modelado de fachada lateral derecha de la vivienda	111
Figura 40: Plano arquitectónico de la vivienda	112
ÍNDICE DE ANEXOS	
Anexo 1: Elaboración del bloque del ensayo de conductividad térmica	120
Anexo 1: Elaboración del bloque del ensayo de conductividad térmica Anexo 2: Incorporación de fibra de coco al bloque del ensayo de conductividad té	
·	rmica
Anexo 2: Incorporación de fibra de coco al bloque del ensayo de conductividad té	rmica 120
Anexo 2: Incorporación de fibra de coco al bloque del ensayo de conductividad té	ermica 120 121
Anexo 2: Incorporación de fibra de coco al bloque del ensayo de conductividad té Anexo 3: Bloque de muestra para el ensayo de conductividad térmica	ermica 120 121 121
Anexo 2: Incorporación de fibra de coco al bloque del ensayo de conductividad té Anexo 3: Bloque de muestra para el ensayo de conductividad térmica	ermica 120 121 121 122
Anexo 2: Incorporación de fibra de coco al bloque del ensayo de conductividad té Anexo 3: Bloque de muestra para el ensayo de conductividad térmica	ermica 120 121 121 122
Anexo 2: Incorporación de fibra de coco al bloque del ensayo de conductividad té Anexo 3: Bloque de muestra para el ensayo de conductividad térmica	ermica 120 121 121 122 123 123
Anexo 3: Bloque de muestra para el ensayo de conductividad térmica	ermica 120 121 122 122 123 123
Anexo 2: Incorporación de fibra de coco al bloque del ensayo de conductividad té Anexo 3: Bloque de muestra para el ensayo de conductividad térmica	ermica 120 121 122 122 123 123

INTRODUCCIÓN

En el Ecuador las técnicas más antiguas de la construcción son las que se realizan con bloques y ladrillos. Los ladrillos de arcilla se remontan en la antigua civilización egipcia y los bloques tradicionales de la romana. Los bloques son necesarios para una amplia cantidad de proyectos de construcción debido a que resisten daños climáticos y protegen la estructura (Choez Abata, 2023).

En la provincia del Guayas, las temperaturas van en aumento debido al calentamiento global. El área de la construcción es una de las mayores fuentes de contaminación, debido a la reducción de vegetación como bosques o zonas protegidas, también para la extracción de materias primas contribuyendo con el calentamiento global. Estas altas temperaturas afectan a las viviendas de interés social, debido a que en su mayoría están construidas con bloques de hormigón y otros materiales que no tienen aislamiento térmico, siendo perjudicial para sus habitantes en especial las personas de la tercera edad y los niños.

Los desechos de la fibra de coco y el bagazo de caña, no son aprovechados en gran medida y no tienen el tratamiento adecuado, lo cual afecta a la población y al medio ambiente, pero ¿qué pasaría si se usan esos desechos para el diseño del bloque? ¿las fibras en que aportarán en las propiedades mecánicas del bloque?

En la presente tesis se determinan las características de los materiales alternativos y convencionales a utilizar, cuyos resultados sirven de base para determinar la dosificación adecuada para elaborar un bloque termoaislante de mampostería no estructural con fibra de coco y bagazo de caña para viviendas de interés social mediante la norma técnica ACI 211.1 para el diseño de la mezcla de concreto con el fin de que los bloques cumplan con la resistencia a compresión mínima establecida en las normativas INEN. De igual manera, se evalúa el desempeño del aislamiento térmico del bloque según la ISO 8302, por último, se propondrá el diseño y desarrollo de un bloque termoaislante con fibra de coco y bagazo de caña de azúcar.

Para lograr los objetivos de la tesis, se aplica un enfoque cuantitativo con alcance correlacional y descriptivo con técnicas como la observación y ensayos. Se llevan a cabo varios ensayos de resistencia a compresión según la INEN 3066, caracterización de agregados finos y gruesos según las normas NTE INEN 872 y ASTM, ensayos de contenido de humedad de los bloques y ensayos de conductividad térmica (ISO 8302, ASTM C177, EN 12667); con el fin de conocer las propiedades físicas, mecánicas y termoaislantes de los bloques. Además, se realizan tratamientos químicos como el hidrotérmico y el alcalino (con hidróxido de sodio) a las fibras vegetales para eliminar sus impurezas y disminuir su riesgo a la biodegradación con el paso del tiempo dentro del bloque.

CAPÍTULO I ENFOQUE DE LA PROPUESTA

1.1 Tema:

Diseño de bloque termoaislante con fibra de coco y bagazo de caña para viviendas de interés social.

1. 2 Planteamiento del Problema:

Las olas de calor cuyas temperaturas alcanzan los 36.1 °C en la provincia del Guayas perjudica la calidad de vida de las personas que residen en viviendas de interés social. Debido a que estas viviendas no son construidas con materiales que tengan propiedades de aislamiento térmico, los espacios interiores de las mismas se sobrecalientan y el calor afecta a grupos de personas vulnerables como niños, ancianos o personas con enfermedades crónicas, agravando dichos problemas de salud.

En cuanto a los materiales con los que están construidos los muros y paredes las viviendas de interés social son los bloques de hormigón, mismos que no presentan propiedades termoaislantes eficientes ante las nuevas altas temperaturas en la actualidad. Por otra parte, las soluciones innovadoras por parte del sector de la construcción que están en el mercado para mejorar el confort térmico en su mayoría no son asequibles en cuanto a costo del producto como tal o en su instalación, sobre todo para personas de escasos recursos.

El sobrecalentamiento de las viviendas se intensifica aún más si estas personas no pueden abastecerse de suficientes equipos o sistemas de refrigeración como aires acondicionados, sistemas de ventilación mecánica controlada, extractores de aire caliente, entre otros. No obstante, en caso de disponer de estos equipos, les produce un alto gasto energético al tener que estar en funcionamiento durante largos periodos de tiempo para mantener la temperatura interior confortable.

Frente a dichas limitaciones de los materiales convencionales para reducir la transferencia de calor al interior de las viviendas de interés social, además de la importante huella de carbono que conlleva producir dichos materiales de construcción, resulta importante explorar materiales sostenibles derivados del reciclaje de residuos. En este sentido, Ecuador cuenta con una gran producción de coco y al carecer de industrias que reciclen dichos subproductos industriales y agrícolas, causa que éstos se depositen en rellenos sanitarios o terminen incinerados, desaprovechando así las propiedades de sus fibras vegetales. Otro material alternativo es el bagazo de caña de azúcar de la industria azucarera cuya incineración genera vapor que es aprovechado para producir energía en las fábricas azucareras. Sin embargo, la quema irresponsable y no controlada del bagazo de caña de azúcar en lugares abiertos libera varios tipos de gases y cenizas a la atmósfera que son perjudiciales para la salud humana.

La presente investigación se centra en elaborar y ensayar materiales de construcción, específicamente los bloques de mampostería no estructural para viviendas de interés social, que incorporen materiales sostenibles como es el caso de los residuos orgánicos reciclados, de tal manera que las propiedades mecánicas y termoaislantes de dichos residuos se puedan aprovechar como materiales alternativos a la materia prima tradicional, beneficiando al medio ambiente y contribuyendo al confort térmico de sus habitantes.

1.3 Formulación del Problema:

¿De qué manera afectará la fibra de coco y bagazo de caña de azúcar en el diseño de un bloque termoaislante de mampostería no estructural?

1.4 Objetivo General

Diseñar un bloque termoaislante de mampostería no estructural con fibra de coco y bagazo de caña de azúcar mejorando el confort térmico dentro de las viviendas de interés social en Guayaquil.

1.5 Objetivos Específicos

- Identificar las características de los materiales alternativos y convencionales a utilizar para el diseño del bloque termoaislante de mampostería no estructural con fibra de coco y bagazo de caña de azúcar.
- Determinar la dosificación óptima del bloque termoaislante de mampostería no estructural con fibra de coco y bagazo de caña de azúcar mediante los ensayos de resistencia a compresión.
- Evaluar el desempeño del aislamiento térmico del bloque termoaislante de mampostería no estructural con fibra de coco y bagazo de caña de azúcar.
- Proponer el diseño y desarrollo de un bloque termoaislante con fibra de coco y bagazo de caña de azúcar.

1.6 Hipótesis

La incorporación de materiales sostenibles con propiedades de aislamiento térmico y resistencia mecánica, como la fibra de coco y la fibra del bagazo de caña de azúcar, respectivamente, en el diseño de un bloque termoaislante de mampostería no estructural, disminuirá la transferencia de calor a través del mismo al tener un bajo coeficiente de conductividad térmica y mantendrá sus propiedades mecánicas adecuadas.

1.7 Línea de Investigación Institucional / Facultad

Línea institucional: Territorio, medio ambiente y materiales innovadores para la construcción.

Línea de Facultad de Ingeniería, Industria y Construcción: Materiales de Construcción.

CAPÍTULO II MARCO REFERENCIAL

2.1 Marco Teórico:

2.1.1 Impactos Ambientales por Emisiones de CO 2 por Parte del Sector de la Construcción

Según Zambrano Murillo y otros (2020), varios estudios alrededor del mundo han demostrado que el sector de la construcción es una de las fuentes de contaminación más grandes del planeta. Esto se debe a que no sólo hace necesaria la reducción y modificación de ambientes naturales como bosques y áreas protegidas tanto para construir inmuebles como para extraer materias primas como arena, piedra y minerales, sino también por la explotación de recursos energéticos no renovables, operación de maquinaria a base de combustible fósil y el depósito en vertederos de los residuos de demolición de una estructura.

El ciclo de vida del material más usado para casi todas las infraestructuras de la ingeniería civil, el cemento, produce más del 7% de las emisiones antropogénicas anuales de gases de efecto invernadero (GEI), en particular el dióxido de carbono (CO ₂,), que resultan tanto del consumo de energía proveniente de recursos energéticos y minerales no renovables a corto plazo, como de las reacciones químicas (Miller y otros, 2021).

En cuanto a las causas de este aumento de la temperatura atmosférica, además de la cadena de manufactura del cemento y otros materiales empleados en la construcción, otra de las fuentes importantes de emisión de CO 2 en el sector de la construcción es el proceso de urbanización. La urbanización tiene por objeto la transformación de las zonas rurales en zonas urbanas, proporcionando infraestructuras e instalaciones que promuevan una mejora en la calidad de vida de las personas por medio del desarrollo de viviendas adecuadas, servicios básicos, sistemas de transporte eficientes, áreas recreativas y zonas de comercio que creen mayores oportunidades de empleo y crecimiento económico de la zona.

Por otro lado, el crecimiento poblacional acelerado tanto horizontal como verticalmente ejerce una influencia notable en el aumento de emisiones de GEI, tales como el dióxido de azufre, monóxido de carbono y óxido de nitrógeno, que llegan a representar el 40% de emisiones de GEI en todo el mundo (Ahmed Ali y otros, 2020). Estos altos niveles de contaminación se atribuyen a que el sector de la construcción utiliza gran cantidad de energía de combustibles fósiles en los procesos de construcción y operación de dichas infraestructuras.

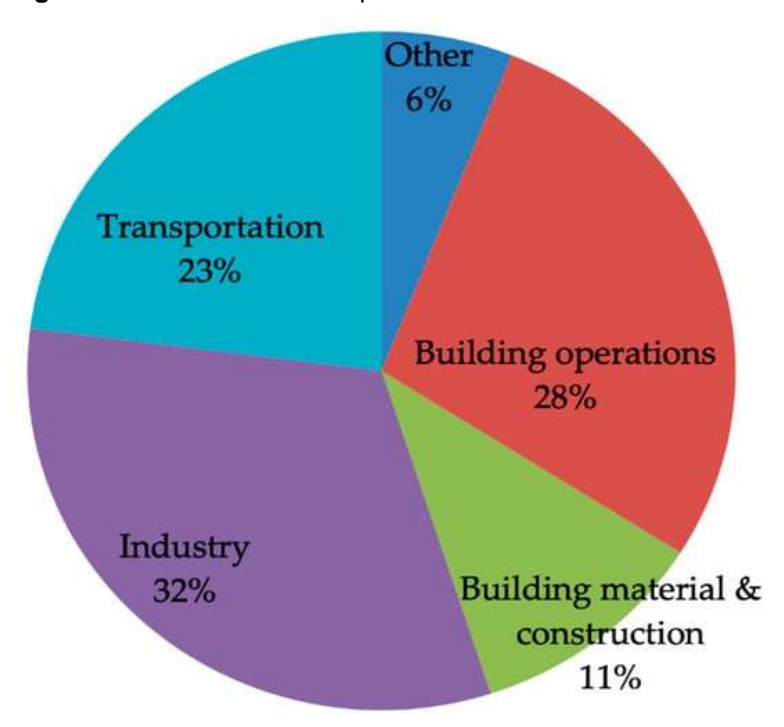


Figura 1: Emisiones de CO2 por sectores

Fuente: Ahmed Ali y otros (2020).

El cambio climático se define como los cambios en los patrones climáticos y de temperatura que se desarrollan a largo plazo en la Tierra. A pesar de que éste se debe a factores naturales como mecanismos atmosféricos y oceánicos, los aumentos de temperaturas que se han experimentado en el último siglo guardan relación con las prácticas preindustriales sin regulaciones adecuadas que corresponden a actividades antropogénicas. Entre los impactos de las emisiones de CO2 en el medio ambiente generado por el aumento global de las temperaturas están cambios de la temporada de cosecha, alteraciones en los suministros de agua, socavación de regiones costeras, lluvia ácida, entre otros.

2.1.2 Clima de Guayaquil

La ciudad de Guayaquil de la provincia del Guayas, está situada al nivel del mar en latitud 2° 12′ S y longitud 79° 54′ O. Esta ciudad está ubicada en la zona costera del Ecuador y su clima es cálido húmedo. Tiene una estación lluviosa de diciembre a abril y una estación seca que dura de mayo a noviembre. Las precipitaciones se extienden de 4 a 5 meses, por ende, la humedad es constantemente alta todo el año debido a su proximidad con el océano Pacífico. Esta temporada de lluvias trae consigo las peores condiciones térmicas debido a que tanto la temperatura del aire como la presión de vapor son las más altas. Por otra parte, la velocidad del viento es generalmente menor, mientras que la radiación solar es bastante fuerte durante todo el año (Johansson y otros, 2018).

Olas de Calor en Guayaquil

La ciudad de Guayaquil experimentó el 16 de marzo del 2024 y en los días posteriores la mayor ola de calor en los últimos 30 años, con una temperatura de 36.5 °C bajo sombra junto con una sensación térmica de 38°C aproximadamente. Esto ha generado un aumento de las afecciones en la piel de los ciudadanos en un 40%, siendo los más afectados los niños y adultos mayores. Las zonas más afectadas por el incremento de la temperatura diurna en la región Litoral fueron las provincias de Esmeraldas, Manabí, Los Ríos, Guayas y El Oro (López, 2024).

Efectos de las Altas Temperaturas en Guayaquil.

Salud en los ciudadanos

Las altas temperaturas afectan el rendimiento físico y mental de los ciudadanos. Entre sus graves consecuencias, provocan un aumento en la mortalidad de los seres humanos debido al intenso estrés térmico y la exposición directa a la alta radiación de los rayos Ultra Violeta (UV) (Montenegro y otros, 2022). Las principales molestias a la salud a causa de los golpes de calor son dolores de cabeza, fatiga, deshidratación, siendo la población más vulnerable los bebés, niños, mujeres embarazadas, adultos mayores y quienes padecen de enfermedades cardiacas y

respiratorias. Cuando el organismo atraviesa por temperaturas de calor extremas, el mecanismo de respuesta fisiológico es la vasodilatación periférica y el sudor, es decir, el corazón bombea más sangre para transportarla masivamente hacia la periferia del cuerpo con el fin de facilitar su enfriamiento, causando una sobrecarga del sistema cardiovascular (Acosta, 2024).

Confort térmico

El confort térmico se define como la sensación de bienestar a nivel físico y mental de una persona dentro de una edificación con respecto al ambiente térmico. Si bien es cierto esta sensación también puede ser subjetiva, depende de algunos factores exteriores como el clima, a la geografía, los materiales que recubren la edificación, la distribución y configuración de los espacios interiores (Guimarães Merçon, 2008, como se citó en Castillo Quimis y otros, 2019).

El ser humano como tal no siente la temperatura del ambiente, sino la pérdida de energía del cuerpo. Los parámetros a medir que contribuyen a esta pérdida de energía son los factores ambientales exteriores, por ejemplo: la temperatura del aire (°C), la temperatura media radiante (°C), velocidad del aire (m/s), humedad del aire (Pa) y temperatura efectiva (Martínes, 2011, como se citó en Castillo Quimis y otros, 2019).

Alta demanda energética

Por otra parte, tanto los hogares públicos como las viviendas sociales al ser afectadas por el clima exterior, éstas tienen un mayor consumo de electricidad por hogar, el cual tiene relación con las variables climáticas en comparación con las viviendas privadas de las ciudades tropicales (Godoy-Vaca y otros, 2021). En otras palabras, dicha demanda energética influye en cierta medida en la temperatura exterior de los inmuebles produciendo un aumento en la temperatura interior de las ciudades además de condiciones climáticas adversas durante periodos prolongados de tiempo. Este efecto se le denomina Isla de Calor Urbana (Godoy-Vaca y otros, 2021).

En Ecuador, el sector residencial representa el 15,7% del total de energía consumida en 2020, ocupando el tercer lugar entre los sectores de mayor demanda energética. De igual manera, a nivel nacional, este sector produjo el 9,9% de emisiones de GEI en el mismo año (Ministerio de energía y recursos naturales no renovables, 2020). Por lo tanto, se recalca la importancia de implementación de estrategias de confort térmico para las infraestructuras y sus materiales para mitigar la demanda energética y así, beneficiar no solo la dinámica socioeconómica y medio ambiental, sino también la economía de las familias de bajos ingresos en sus esfuerzos de llegar a un aceptable confort térmico dentro de sus viviendas por medio del uso de aires acondicionados durante largos periodos de tiempo durante el día.

2.1.3 Antecedentes

En el artículo Cement and Clay Bricks Reinforced with Coconut Fiber and Fiber Dust el principal objetivo fue encontrar el efecto que tiene en la mezcla la adición de fibra de coco y aserrín de fibra de coco en comparación con los bloques de cemento tradicionales en base a sus propiedades de confort térmico, resistencia a compresión, absorción de agua y masa. Para ello, se elaboró 3 muestras de bloques de cemento y bloques de arcilla con fibra de coco y 2 muestras de bloques de cemento y bloques de arcilla con aserrín de coco. Cabe recalcar que ni a las fibras ni al aserrín de coco se ha realizado un tratamiento químico que incremente su vida útil (Rajapakse y otros, 2022).

En cuando a los resultados de la prueba de conductividad térmica, cuyo procedimiento consiste en calcular la diferencia entre la temperatura de la superficie del bloque superior y la superficie del bloque inferior en contacto con la placa caliente después de un lapso de 30 min, se observa que la reducción de la conductividad térmica llega a ser de 2.1% para la muestra con aserrín de fibra de coco y un 1.2% para la muestra con fibra de coco en comparación con el bloque de control (Rajapakse y otros, 2022).

Por otra parte, en el ensayo de resistencia a compresión de las muestras, se observó que la resistencia a compresión de bloques de cemento se reduce a medida que se incrementa el volumen de aserrín de coco. Además, en los bloques reforzados

con fibra de coco, la resistencia a compresión incrementó un 27% en comparación y en cuanto al bloque de arcilla con aserrín de coco, la resistencia a compresión aumentó un 73% en comparación al bloque de control (Rajapakse y otros, 2022).

En el artículo Sugarcane Bagasse as Aggregate in Composites for Building Blocks propone un uso alternativo de dicho residuo como agregado único en unidades de mampostería para muros no portantes, sin darle un tratamiento químico al bagazo crudo. Además, se utilizó como aglutinante cal aérea y/o tierra. El bloque bagazo de caña de azúcar (BCA) y tierra obtuvo 2,6 MPA en resistencia a la compresión y 2,1 MPA en resistencia a la flexión. Por otra parte, el compuesto de BCA y cal tuvo una menor resistencia a la compresión y flexión de 1,76 MPA y 1,7 MPA, respectivamente. Sin embargo, el bloque con BCA con cal obtuvo un mejor desempeño como aislante térmico en comparación con el ladrillo de arcilla o el de hormigón tradicional, así como una mayor resistencia al agua y una menor pérdida de resistencia mecánica al ser saturados por la humedad (Souza y otros, 2023).

En el artículo titulado **Development of Interlocking Concrete Blocks with Added Sugarcane Residues** de la revista Fibers, indica que la implementación de fibras en el hormigón como refuerzo pueden resultar como una alternativa prometedora que compense su baja resistencia a la tracción y a su capacidad de deformación limitada, reemplazando a las fibras estándar debido al alto rendimiento de sus propiedades mecánicas y su bajo costo de adquisición. Por consiguiente, en este artículo se clasifica el bagazo de caña en tres categorías por medio del proceso de tamizado, obteniendo la fibra de bagazo, arena de bagazo y ceniza de bagazo. Estos residuos fueron utilizados en la preparación de muestras de mortero e investigar sus propiedades mecánicas (Ribeiro y otros, 2020).

Con respecto a los materiales y metodología de investigación, la capa superficial de los bloques de hormigón entrelazados estaba compuesta de cemento Portland blanco (WPC) y arena de cuarzo (QS). En estos bloques entrelazados, los materiales utilizados fueron el cemento Portland ordinario, agregado grueso con un módulo de finura de 5.00, agregado fino con un módulo de finura de 3.05. Por otra parte, el bagazo crudo y residuos quemados, se obtuvieron de un molino de azúcar en la prefectura de Okinawa, Japón. El bagazo de caña de azúcar crudo fue

sumergido en agua a 30 °C durante 30 min y fue secado al aire libre, dicho proceso se realizó con el fin de reducir el contenido residual del azúcar residual del bagazo de caña de azúcar. Luego, se clasificaron los residuos mediante el proceso de tamizado; los residuos retenidos en el tamiz de 4,76 mm fueron clasificados como fibra de bagazo grande (BFL), el bagazo de caña de azúcar crudo retenido en el tamiz de 2,36 mm se clasificó como fibra de bagazo pequeña (BFS), mientras que los residuos quemados que fueron retenidos en el tamiz 0,297 mm se clasificaron como arena de bagazo (BS) (Ribeiro y otros, 2020).

Los resultados revelaron que el mortero adicionado con 2% de fibra de bagazo de caña de azúcar obtuvo un mayor porcentaje de retención de agua en comparación con las muestras de mortero sin fibras. Aquellas fibras que pasaron por el tamiz de 4,76 mm y quedaron retenidas en el tamiz de 2 mm fueron utilizadas en la investigación, apartando el bagazo cuyo tamaño de fibra sea mayor a 4,76 mm para ser cortado y aprovechado de otra forma, por ejemplo, como agregados de hormigón para la fabricación de adoquines para aceras (Ribeiro y otros, 2020).

En este contexto, los resultados de los ensayos de resistencia a flexión para las muestras C (sin adición de bagazo), BFL1, BFL2, BFL3, BFL5, BFS2 y BS fue de 7,36, 7,58, 7,60, 7,47, 7,72 y 7,96 N/mm2 a los 28 días, respectivamente. En el caso de la muestra C y BFL1, en la que se incorporó una relación de volumen de residuo de 1% en comparación con la cantidad total de agregado en los bloques, las tasas de evaporación de agua y las temperaturas superficiales demostraron ser más altas a diferencia de los otros casos, los cuales contenían mayor cantidad de residuo (Ribeiro y otros, 2020).

En la tesis titulada Análisis de factibilidad del uso de fibra de coco en la fabricación de ladrillos de cemento para construcciones de vivienda en el Ecuador de la Universidad Internacional SEK de la Facultad de Arquitectura e Ingeniería en la Carrera de Ingeniería Mecánica tiene como objetivo determinar cómo la fibra de coco añadida a un material compuesto de cemento, agua, tierra y piedra pómez, influye en la resistencia a la compresión de dichos compuestos, al igual que el peso de las probetas a los 7, 14 y 21 días de edad (Aulestia Altamirano, 2020).

En los resultados, se indicó que la utilización de fibra de coco en 2.5%, 5% y 10% no llegaron a la resistencia promedio de 8MPA que exige la norma INEN 297 correspondiente a los requisitos de los ladrillos cerámicos. Del mismo modo, la población de probetas con 5% de fibra de coco obtuvo la mayor resistencia, con un promedio de 6.34 MPA (Aulestia Altamirano, 2020).

Según Acevedo de la Espriella y Luna Velasco (2021), en el trabajo de investigación Tratamientos químicos superficiales para el uso de fibras naturales en la construcción: concretos y morteros se abordaron los tratamientos químicos más idóneos para a los que deben someterse las fibras vegetales para mejorar el comportamiento mecánico de los morteros y evitar el deterioro de los compuestos reforzados con dichas fibras, mediante el análisis de fuentes secundarias y bibliográficas del área de los materiales de construcción, así como por medio de comparaciones entre los tratamientos químicos más utilizados, señalando que el tratamiento con hidróxido de sodio (NaOH) fue el tratamiento más económico de realizar.

Según Acevedo de la Espriella y Luna Velasco (2021) a nivel local, el estudio más destacado fue aquel realizado por Quiroz y Godoy, 2020, quienes evaluaron los efectos del aserrín de madera de amargo modificado en el concreto hidráulico mediante ensayos de resistencia a compresión y flexión. Se realizaron 3 tratamientos químicos: tratamiento con cal al 2% en peso, tratamiento alcalino con hidróxido de sodio al 4% en peso y descomposición térmica sumergiendo las fibras en agua hirviendo a 100°C por 90 min. Los investigadores concluyeron que el tratamiento con NaOH no presentó mejoras en la resistencia a compresión debido a la dosificación empleada, basándose en investigaciones de Aigbomian y Fan, 2014, quienes argumentan que concentraciones mayores al 3% de NaOH extraen el contenido soluble del aserrín, lo que causa el debilitamiento de la fibra y altera la unión entre ésta y la matriz de cemento.

2.1.4 Bloques de Hormigón

2.1.4.1 Definición.

Según el Instituto Ecuatoriano de Normalización [INEN] (2016), en la Norma Técnica Ecuatoriana NTE INEN 3066, un bloque de hormigón se define como una pieza prefabricada con la forma de paralelepípedo hecha de hormigón simple, con o sin huecos en su interior, que está constituida por cemento hidráulico, agua, áridos finos y gruesos, con o sin aditivos, de modo que el volumen del material sólido corresponda al 50% a 75% del volumen total del bloque.

2.1.4.2 Dimensiones.

Tabla 1: Medidas estándar de los bloques de hormigón

Tipo de bloque		Medidas Reales	
	Largo	Ancho	Alto
A, B	39	19,14, 09	19
C, D	39	09,14,19	19
E	39	09,14,19,24	20

Fuente: NTE INEN 638 (2014).

2.1.4.3 Clasificación de los Bloques.

Tabla 2: Tipos de bloques huecos de hormigón y sus usos

Tipo	Uso
Ā	Paredes exteriores de carga, sin
	revestimiento.
В	Paredes exteriores de carga, con
	revestimiento.
	Paredes interiores de carga, con o sin revestimiento.
С	Paredes divisorias exteriores, sin
	revestimiento.
D	Paredes divisorias exteriores, con
	revestimiento.
	Paredes divisorias interiores, con o sin
	revestimiento.
E	Losas alivianadas de hormigón armado.

Fuente: NTE INEN 638 (2014).

Tabla 3: Bloques de Hormigón de Acuerdo a Su Densidad

Taista of Eloquee de Herringer, de Headrac de Ga	20.10.000
Tipo	Densidad del hormigón (kg/m3)
Liviano	< 1 680

Fuente: NTE INEN 3066 (2016).

2.1.4.4 Proceso de Elaboración del Bloque de Hormigón.

En Ecuador no existe un método de dosificación cuyos procesos de manufactura cumplan con la normativa INEN 3066 para bloques de hormigón. Por lo general, se utilizan agregados de peso ligero como piedra pómez pura o pómez con arena, conocidas como chasqui, las cuales se combinan con arena fina de baja densidad; dichos materiales poseen propiedades diferentes a las que exige la normativa para bloques, lo cual es la razón por la que los bloques, después del tiempo de fraguado, no alcanzan la resistencia a compresión simple mínima estándar (Villacís Troncoso y otros, 2020).

Materiales a Utilizar en la Elaboración de los Bloques

Según la NTE INEN 638 (2014), los parámetros que deben cumplir los materiales para elaborar los bloques son los siguientes:

- Cemento: Utilizar cemento Portland o Portland especial el cual debe cumplir con los requisitos que exige la Norma INEN 152 y la Norma INEN 1548.
- Agregados: Utilizar áridos finos y gruesos; arena, grava, piedra partida, granulados volcánicos, piedra pómez y otros materiales inorgánicos adecuados los cuales deben cumplir que exige la Norma INEN 872. Además, deben pasar por un tamiz con una abertura nominal de 10 mm.
- Agua: Debe utilizarse agua potable, dulce y limpia, sin cantidades apreciables de material particulado que pueda ser nocivo como ácidos, álcalis, sales y materias orgánicas.

Según Villacís y otros (2020), la descripción para cada uno de los agregados comúnmente utilizados en las bloqueras artesanales es la siguiente:

Agregado grueso:

- Chasqui grueso: se define como una roca de origen volcánico con un color blanco amarillento. Se forma cuando la lava es impulsada al aire y ésta sufre una gran descompensación, por lo tanto, deja escapar gases y hace que la roca tenga un acabado con textura rugosa con pequeñas celdas interconectadas, lo que hace que tenga una alta porosidad y, por ende, un alto grado de absorción. También se la conoce como "chasqui" por la zona de donde se la obtiene (minas localizadas en el sector El Chasqui al lado oeste del volcán Cotopaxi) y su tamaño suele ser entre 4.5 mm hasta 25 mm.
- Chasqui fino: al igual que la roca anterior, también es de origen volcánica y es extraída de la misma zona, pero su tamaño es menor a 9.5 mm.
- Piedra chispa: es una roca volcánica que se obtiene del proceso de trituración, trituración y cribado a partir de una roca sólida, tiene un color gris azulado y tiene un tamaño máximo de 9.5 mm.

Agregado fino:

 Arena: tienen una textura fina y liviana de color café claro. Es el agregado de menor tamaño nominal de los tres más usados en la elaboración de bloques.
 Su finura otorga un acabado cerrado a la unidad de mampostería y llena los vacíos.

Proceso de Elaboración

Dosificación:

Consiste en pesar la materia prima a utilizar en la elaboración de los bloques y para su análisis dicho peso se puede manejar en cantidades de volumen o por peso. La mezcla tiene que prepararse de tal forma que tenga la suficiente cohesión como para ser desmoldada sin que se deforme, con una compactación absorción mínima y un acabado superficial lo menos poroso posible.

Mezcla:

Los agregados se humedecen en una mezcladora mecánica con una parte del agua durante al menos 5 minutos con el fin de que los agregados se saturen de agua y no impidan la correcta hidratación del cemento. Luego, se añade el cemento y el agua restante, ésta última no tiene una relación a/c definida, sino que se agrega la cantidad necesaria que permita una adecuada trabajabilidad de la mezcla, permitiendo que la mezcla no se desparrame por debajo del molde y que facilite su desmolde sin fisurarlo.

Moldeo:

La siguiente fase, una vez obtenida una consistencia de mezcla adecuada, es el formado de los bloques en la máquina vibro-compactadora por unos 3 minutos aproximadamente. Primero, se coloca la mezcla en los moldes sobre la vibro-compactadora, permitiendo el llenado de los moldes. Luego, se deja caer el apisonador y se espera aproximadamente 10 segundos para desmoldar los bloques. Al desmoldarlos, se observa si ha ocurrido la segregación por exceso de agua o fisuración por la falta de agua en los mismos.

Secado:

Una vez los bloques estén desmoldados, se transportan sobre un tablero apenas salen de la vibro-compactadora a un lugar donde estén protegidos del sol y los vientos fuertes para que puedan fraguar correctamente sin perder demasiada agua. Deben permanecer inmóviles por al menos 24 horas hasta que lleguen a una resistencia que permita manipularlos.

Curado:

El curado inicia cuando hayan transcurrido de 2 a 3 horas. Por lo general, con una manguera se humedece cuidadosamente la superficie de los bloques, procurando que la presión del agua no los fisure. Cabe recalcar que en esta etapa se les debe brindar protección ante los rayos solares y el viento fuerte.

2.1.5 Diseño de Mezclas de Hormigón

El diseño de mezclas se basa en la selección de la materia prima y sus respectivas proporciones para la producción del concreto considerando los aspectos de costos, peso, durabilidad, resistencia y apariencia del acabado. En la mezcla del concreto, el cemento ocupa un 7% al 15% del volumen de la mezcla brindándole a dicha mezcla propiedades de adherencia y cohesión, por otra parte, los agregados compuestos de grava y arena ocupan la mayor parte del volumen, entre un 56% a 76% del volumen total de la mezcla, mientras que el agua, fundamental para la hidratación del cemento, corresponde al 14% y 18% del volumen. Finalmente, el aire contenido en la mezcla representa entre el 1% y el 3% (Cordero Estévez y otros, 2022).

2.1.5.1 Requisitos de las Mezclas de Concreto.

Según Cordero Estévez y otros (2022), los requisitos para las mezclas de concreto son los siguientes:

- Manejabilidad: Es la capacidad del concreto para ser colocado y consolidado sin presentar signos de segregación superficial, asegurando su adecuado moldeo, cohesión y compactación.
- Consistencia: Es la movilidad relativa de la mezcla del concreto, es decir, la capacidad con la que la mezcla fluye durante los procesos de preparación, transporte, vertido y compactación, lo que incide en su trabajabilidad. Un asentamiento dado está relacionado con el requerimiento de agua en la mezcla. La cantidad de agua aumenta dependiendo si los agregados tienen características rugosas y superficies angulares, por otra parte, se puede disminuir su cantidad si se incorpora el máximo tamaño de agregados bien graduados.
- Resistencia: es la capacidad del concreto para soportar cargas y fuerzas externas sin que el concreto falle o se deforme significativamente o permanentemente. La resistencia del concreto a los 28 días de su

- compactación, se toma en cuenta como un parámetro en el diseño estructural, dosificación y evaluación del hormigón.
- Relación agua/cemento: la cantidad de agua neta en la mezcla del concreto incide en la resistencia del concreto dependiendo de la cantidad del cemento, sin tomar en cuenta la absorción de los agregados.
- **Durabilidad:** es un parámetro que permite al concreto soportar las condiciones adversas externas según las condiciones del ambiente al cual esté sometido.
- **Densidad:** el concreto puede tener diversos usos y aplicaciones según sus características de peso.

2.1.5.2 Metodología para el Diseño de Mezclas.

Según la información obtenida de las experiencias con los materiales que componen las mezclas de concreto, se procede a seleccionar las proporciones de concreto. Sin embargo, cuando la información sea escasa sobre estos materiales, se puede utilizar la norma ACI 211.1 como guía (Cordero Estévez y otros, 2022). Los datos necesarios sobre los materiales son los siguientes:

- Granulometría de los agregados.
- Peso unitario del agregado grueso y fino.
- Requerimientos agua/mezcla en base a los agregados.
- Relación agua/cemento.
- Densidad del cemento.
- Combinaciones óptimas de los agregados para obtener la densidad adecuada del concreto.

2.1.6 Hormigón con Fibras Vegetales

En la actualidad, las fibras vegetales reemplazan a las fibras convencionales como refuerzo en composiciones de concreto por cuestiones medioambientales y ecológicas, entre las cuales están los materiales como el yute, sisal, bagazo de caña de azúcar, cáscara de arroz, lino, entre otros (Shadheer Ahamed y otros, 2021).

Según resultados de estudios, se demostró que la fibra natural reduce la tasa de agrietamiento del hormigón, lo cual, aumenta la resistencia a tracción del hormigón. Además, las fibras mejoran la distribución de las fuerzas de tensión dentro del hormigón, pero se reduce la resistencia a compresión del mismo. Por otro lado, el 28,6% y el 43% de los estudios indicaron que estos hormigones con fibras naturales tienen una sostenibilidad económica y social efectiva, respectivamente. Otro hallazgo es que el uso potencial de los mismos corresponde a un 60% en pavimentos y carreteras y 30% en edificios residenciales (Lin Chen y otros, 2023).

El uso de fibras vegetales como aditivo en el hormigón limita el consumo de recursos naturales mediante el aprovechamiento de residuos agrícolas, reduciendo indirectamente la cantidad de gases de efecto invernadero (Lin Chen y otros, 2023).

2.1.7 Fibras Vegetales

Las fibras vegetales están conformadas por una matriz de lignina, microfibrillas de celulosa y hemicelulosa, estas fibras provienen de la fotosíntesis de las plantas y sirven para dar sostén a las mismas. En este sentido, las fibras vegetales pueden ser divididas en seis grupos de acuerdo a su origen en la planta: tallo (lino, yute, cáñamo, etc.), hoja (sisal, palma, piña), semilla (algodón), fruta (plátano), caña (bambú) y madera. Este tipo de fibras son las más utilizadas en la elaboración de materiales compuestos (Pozo Morales, 2019).

2.1.7.1 El Coco y su Fibra.

En la costa de Ecuador, específicamente en Guayas, Esmeraldas y Manabí, se puede obtener coco, el cual sirve como alimento y se encuentra en gran cantidad. El coco maduro tiene aproximadamente un diámetro de 20-30 cm, el cual puede tener un peso de 2-4 kg, tiene una cubierta fibrosa de 4.2 a 5.2 centímetros de espesor, la cual envuelve una cáscara dura de 5.2 milímetros y dentro ésta una pulpa blanca contiene su cavidad central un líquido. El coco es una fruta tropical cuya versatilidad permite utilizarla en la cocina, medicina y diversas industrias, por esa razón, su cultivo es una fuente importante de ingresos para muchos países (Brios-Avendaño y otros, 2023).

Partes del Coco

La capa externa del coco es la que protege al coco del exterior llamada exocarpio, más adentro está la capa fibrosa llamada mesocarpio (35%) que recubre la pulpa del coco, luego de la capa fibrosa está la concha o endocarpio (12%), la cual contiene el endospermo (28%) también conocido como carne o pulpa que corresponde a la parte blanca comestible y a su vez contiene el agua de coco (25%) (San Andrés Zevallos y otros, 2023).

Exocarp

Mesocarp

Microfibril bundles

Endocarp

Cellulose microfibril

Hemicellulose

Figura 2: Partes del coco

Fuente: San Andrés Zevallos y otros (2023).

Tabla 4: Características Físicas de La Fibra de Coco

Características físicas de la fibra de coco (fibra única)				
Longitud máxima 15-25 cm				
Diámetro Diámetro máximo	0,1-0,25 mm 0,31 mm			

Elaborado por: Errazuriz y Romero (2024).

Tabla 5: Características Físico Mecánicas de La Fibra de Coco

Parámetro	Unidad	Valor
Absorción de humedad	%	94.0
Densidad	g/cc	1.42
Diámetro de la fibra	mm	0.1-1.6

Longitud del bonote	cm	14-22
Masa específica real	Kg/m3	1.2
Módulo de elasticidad	GPA	3.0
Resistencia a la tracción	MPA	94-117
Ruptura por elongamiento	%	24-52

Fuente: Brios-Avendaño y otros (2023).

Composición Química de la Fibra de Coco

Lignina:

- Brinda propiedades viscosas y elásticas a la fibra de coco, aumentando la resistencia a compresión.
- La lignina proporciona rigidez a la pared celular, es decir, funciona como medio de unión entre las células vegetales, incrementando la resistencia mecánica de la planta.
- Hace que la fibra trabaje como amortiguador cuando se encuentra bajo carga.
- Es el componente con mayor porción en la fibra.

Celulosa:

- Brinda rigidez y resistencia a la fibra.
- Es rico en polisacáridos (pequeñas moléculas de azúcar).
- Es insoluble al agua.

Hemicelulosa:

- Ayuda en la retención de agua.
- Forma parte de la pared celular, donde brinda soporte y rigidez.

Tabla 6: Componentes Principales del Coco

Tabla 6. Componentes Principales del Coco	
Lignina	42.5%
Celulosa	32.3%
Pentanosa	14.7%

Grasas saponificables	5.1%
Grasas insaponificables	0.7%
Cenizas	3.5%
Proteínas	1.2%
Composición total de la fibra	100.00%

Elaborado por: Errazuriz y Romero (2024).

Ventajas de la Fibra de Coco

La fibra de coco está conformada por celulosa y una parte leñosa, lo que hace que tenga una baja conductividad térmica y tenga resistencia a la humedad y las bacterias. Debido a su alta resistencia y tiempo de vida, se puede usar en el área de la construcción, ya que es un buen aislante acústico y térmico. Tiene diversas propiedades que la convierten en un componente eficiente en varios diseños de materiales, específicamente, en materiales compuestos. Específicamente, se ha observado una aplicación relevante en la construcción de un material compuesto derivado de la fibra de coco y escoria de cobre en placas para techos (San Andrés Zevallos y otros, 2023).

Problemática de la Fibra de Coco

Según Buelvas Arrieta y Díaz Reyes (2023), el coco (cocos nucifera) es un producto muy abundante en el Ecuador y de igual manera, es muy utilizado en la industria alimentaria, pero sus residuos en gran escala son peligrosos para el ambiente y la salud humana, ya que estos al degenerarse atraen mosquillas y microorganismos que descomponen rápidamente la hemicelulosa. Por otra parte, su gran cantidad de celulosa, al ser un polisacárido lineal bien estructurado, tiene una estructura cristalina que hace difícil su degradación en las etapas finales, por ello, simplemente se suelen desechar dichos residuos.

Varias investigaciones indican que en la provincia de Manabí los desechos del coco en muchas ocasiones suelen ser incinerados a cielo abierto (Trujillo Sánchez y Arias Maya, 2013, como se citó en San Andrés y otros, 2023). De igual manera, en las ciudades de Manta y Portoviejo dichos desechos son depositados en rellenos

sanitarios sin antes haber realizado una previa clasificación de residuos (San Andrés Zevallos y Aguilar Sierra, 2022, como se citó en San Andrés Zevallos y otros, 2023).

La información inicial del Ministerio de Agricultura y Ganadería expuesta en 2019, indicó que la producción anual de coco de Ecuador fue de 6,2 toneladas, de las cuales, 1.8 toneladas se generaron en Manabí. No obstante, los resultados de estas estadísticas parecen ser subestimados significativamente al comparase con la información obtenida de las entrevistas realizadas a las empresas, donde una de ellas informó producir 90 toneladas por semana (San Andrés Zevallos y otros, 2023)

Localización en Mapa del Coco en Ecuador

Se puede encontrar el coco en zonas tropicales, en Ecuador las provincias con abundante coco son: Manabí, Esmeraldas, Guayas, El Oro.



Figura 3: Localización en Mapa del Coco en Ecuador

Elaborado por: Errazuriz y Romero (2024).

2.1.7.2 Caña de Azúcar y el Bagazo de Caña de Azúcar.

La caña de azúcar (Saccharum officinarum) es una planta proveniente del sudeste asiático que en la actualidad es cultivada alrededor del mundo. Posee un tallo macizo de 2 a 5 metros de altura y con un diámetro de 5 a 6 centímetros. Su periodo de crecimiento puede variar entre los 11 y 17 meses, dependiendo de factores climáticos y ambientales de la zona, calidad de la tierra, entre otros. De igual manera, debe ser cultivada en zonas donde reciban la luz solar con el fin de que la fotosíntesis se enfoque en la producción de carbohidratos tales como la celulosa (Siap, 2023, como se citó en Vallejo Naranjo y Guerrero Luzuriaga, 2024). Según Montoya Murillo (2024), el bagazo de caña de azúcar contiene en su composición química los siguientes componentes:

Tabla 7: Componentes principales del bagazo de caña de azúcar

Componentes principales del bagazo de caña de azúcar	Porcentajes
Celulosa	34.5%
Hemicelulosa	22.4%
Lignina	18.9.%
Xilano	20.7%

Elaborado por: Errazuriz y Romero (2024).

Según Vallejo Naranjo y Guerrero Luzuriaga (2024), el bagazo de caña de azúcar es un residuo orgánico que nace del proceso en que se produce el alcohol y azúcar. Proviene de la fibra residual luego de extraer el jugo de la caña de azúcar. Este residuo contiene grandes cantidades de fibra en forma de filamentos por los que están compuestos los tejidos orgánicos vegetales y son aptos para hacer hilado debido a su finura y flexibilidad. Se puede obtener el bagazo de forma industrial o artesanal. Para diferenciar ambas formas se debe observar su morfología. Esto quiere decir que, al obtener un bagazo artesanal, este será de una longitud más grande que la industrial que tiene una forma más heterogénea (Guillen Herrera, 2022).

Ventajas de Bagazo de Caña de Azúcar

El bagazo de caña se obtiene de los restos del material fibroso producto del proceso de extracción del jugo de la caña de azúcar, este residuo tiene una gran cantidad de fibra, por tanto, el bagazo se considera un residuo de tejido vegetal orgánico con varias propiedades, una de ellas es la flexibilidad, aislamiento térmico y baja densidad.

Anteriormente solía ser visto como desperdicio, pero gracias a que se ha conocido su potencial como una fuente de materia prima para la agroindustria, ha podido ser aprovechado en la producción de biocombustibles. Respecto a las cenizas del bagazo de caña de azúcar, se pueden con ellas producir butanol, un biocombustible que puede ser utilizado en motores de gasolina sin tener que modificar la infraestructura existente (Jácome-Pilco y otros, 2023).

Problemática de Bagazo de Caña de Azúcar

Según Vallejo Naranjo y Guerrero Luzuriaga (2024), la población que se encuentra cerca de las zonas de producción industrial se queja debido al olor de la descomposición de los residuos que las industrias después de utilizar esta materia prima dejan expuesto a la intemperie dicho subproducto donde se descompone lentamente, produciendo mal olor, además, la quema de este residuo que genera partículas que afectan a personas con problemas respiratorios.

Localización en Mapa de caña de Azúcar en Ecuador

En Ecuador las provincias ricas en caña de azúcar los las que tienen un clima cálido y húmedo como: Manabí, Esmeraldas, Guayas, Los ríos, Imbabura y Cañar.

Pasto

Esmeraldas

Santo Domingo Ocurto

Magta

Portoviejo

Ecur

arca de posición sin título

n sin título Marca de pasición sin título

Guayaquil

Coenca

Machala

Data SIO, NOAA, U.S. Navy, NGA, GEBCO

Imáge Landsat / Copernicus / Inclovis

Data LDEO Columbia, NSF, NOAA

Figura 4: Localización en mapa de la caña de azúcar en Ecuador

Elaborado por: Errazuriz y Romero (2024).

2.1.8 Tratamiento Químico para las Fibras Vegetales

2.1.8.1 Tratamiento con Hidróxido de Sodio.

También se le conoce como Mercerización que consiste en sumergir las fibras vegetales en un álcali, comúnmente con hidróxido de sodio (NaOH), bajo condiciones específicas de temperatura, tiempo y concentración de NaOH. Este tratamiento modifica las propiedades de la celulosa de las fibras vegetales; se aumenta la resistencia a la absorción de humedad al reducir los grupos hidrófilos, aumenta la capacidad de transferencia de cargas debido a que, a la mejora de uniformidad de la superficie de la fibra, incrementa el cociente de la relación longitud/diámetro, es decir, se alarga más y se obtiene una mayor superficie efectiva que mejora la adhesión con la matriz en los materiales compuestos. Por lo tanto, la extracción química de la

celulosa de las fibras con NaOH disuelve la lignina de las mismas y mejora su tenacidad y a su vez, su resistencia a la ruptura (Pozo Morales, 2019).

Según Zheng y otros (2002) y Gierer (1986) el tratamiento con NaOH y blanqueo con clorito de sodio (NaClO2) son útiles para eliminar los carbohidratos no estructurales y la lignina, por lo tanto, mejora las propiedades mecánicas de las fibras. Sin embargo, una alta concentración de álcali causa que la celulosa se expanda y dificulte la separación de la hemicelulosa de la fibra. En este sentido, la optimización de NaOH y NaClO2 es importante para producir fibras de celulosa (Rambabu y otros, 2016).

2.1.9 Aislamiento Térmico en Edificaciones

2.1.9.1 Definición de Aislamiento Térmico.

El aislamiento térmico en el área de la ingeniería civil y arquitectura, se refiere a la técnica de proteger un edificio de fluctuaciones térmicas externas de tal manera que los espacios interiores del mismo tengan una temperatura confortable para los usuarios. Esta técnica consiste en recubrir las paredes, techos y suelos de la edificación con materiales de baja conductividad térmica para disminuir la transferencia de calor producida por la temperatura exterior, mejorando la eficiencia energética de un edificio (Cortes, 2008, como se citó en Ripoll Puentes y Yepes Ayola, 2023).

2.1.9.2 Tipos de Aislamientos Térmicos.

Aislamiento térmico estructural: según Ripoll Puentes y Yepes Ayola (2023), están constituidos por materiales aislantes que son incorporados en la estructura del edificio, es decir, pasan a formar parte integral de dicha estructura. Entre estos materiales se tienen las espumas de poliestireno, lana mineral, vidrio celular, entre otros.

Aislamiento térmico no estructural: según Ripoll Puentes y Yepes Ayola (2023) son aquellos que se utilizan para recubrir la fachada o la superficie de un

edificio, por ejemplo, paredes exteriores, techos y pisos. Entre los más comunes se destacan los paneles de yeso, espumas de poliuretano, lana de vidrio, entre otros.

2.1.9.3 Mecanismos de Transferencia de Calor.

Uno de los términos que engloba tanto el mecanismo de transferencia de calor como el aislamiento térmico es la conductividad térmica, que se trata de una teoría de cómo se transmite el calor a través de los objetos dependiendo del material del que estén hechos y cómo los materiales aislantes logran disminuir la transferencia del calor. A continuación, se muestran las teorías de transmisión de calor más relevantes:

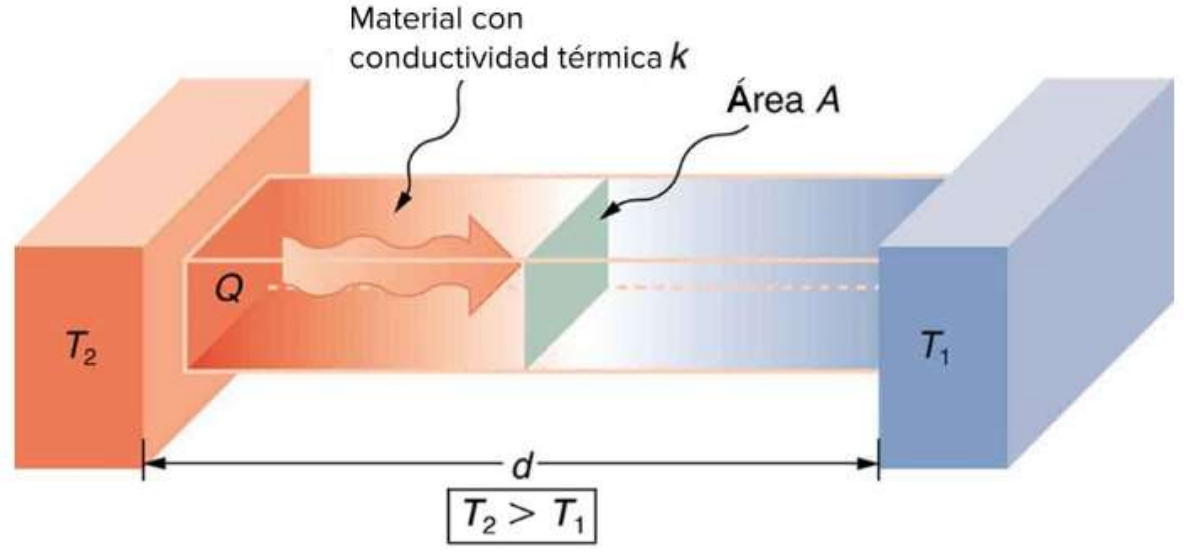
Conducción:

Es el mecanismo de transferencia de calor en escala atómica a través de la materia que implica la transferencia de energía cinética de una molécula a otra adyacente. Ésta sólo se lleva a cabo si hay diferencia de temperatura entre dos partes del medio conductor, es decir, para un volumen de material Δx que tiene un área transversal A y cuyas caras opuestas tienen diferentes temperaturas T1 y T2, siendo T2 > T, entonces, el calor ΔQ se transfiere en un intervalo de tiempo Δt de la cara más caliente a la cara más fría. Por lo tanto, la rapidez de transmisión de calor "H" por unidad de tiempo estará dada por la ley de conducción de calor que se expresa por medio de la siguiente ecuación:

$$H = \frac{\Delta Q}{\Delta t} = -kA * \frac{\Delta T}{\Delta x}$$

Donde "k" es la conductividad térmica del material, que se define como la magnitud que representa la capacidad de dicho material para conducir el calor, produciendo una variación de la temperatura entre dos puntos extremos del material, donde $\frac{\Delta T}{\Delta x}$ es el gradiente de temperatura (la tasa de cambio de temperatura con respecto a la distancia entre dichos extremos del material). El signo menos indica que la dirección de la conducción de calor es decreciente de la temperatura, es decir, que ésta disminuye de una cara transversal a la otra, como se muestra en la figura 5.

Figura 5: Conducción de calor a través de cualquier material



Nota: La "d" representa el Δx , el espesor del material.

Fuente: Openstax College Physics (s.f.).

Convección:

Es la transferencia de calor que se lleva a cabo en fluidos, como líquidos y gases, por el movimiento de los mismos. Este movimiento de los fluidos se puede deber a la diferencia de densidades de los mismos por diferencias de temperatura. La convección se puede dar de manera natural (cuando el movimiento de un fluido es causado por las diferencias de temperatura) o forzada, por ejemplo, cuando el movimiento de un fluido es causado por un dispositivo externo, como una bomba o ventilador, por ejemplo, la circulación de agua en un sistema de calefacción (Torres, 2018, como se citó en Ripoll Puentes y Yepes Ayola, 2023).

Radiación:

Es la transferencia de calor por medio de ondas electromagnéticas. Cuando un objeto emite estas ondas en todas las direcciones éstas viajan a través del espacio y cuando alcanzan otro cuerpo, parte de ella puede reflejarse y la energía radiante restante es absorbida en calor, lo que resulta en el aumento de la temperatura del otro cuerpo. Un ejemplo clásico es el sol, cuya energía que emite se transmite a través

del espacio y calienta la Tierra (Torres, 2018, como se citó en Ripoll Puentes y Yepes Ayola, 2023).

2.2 Marco Legal:

2.2.1 Constitución de la República del Ecuador

Art. 14.- Se reconoce el derecho de la población a vivir en un ambiente sano y ecológicamente equilibrado, que garantice la sostenibilidad y el Buen Vivir, Sumak Kawsay.

Se declara de interés público la preservación del ambiente, la conservación de los ecosistemas, la biodiversidad y la integridad del patrimonio genético del país, la prevención del daño ambiental y la recuperación de los espacios naturales degradados.

Art. 30.- Las personas tienen derecho a un hábitat seguro y saludable, y a una vivienda adecuada y digna, con independencia de su situación social y económica.

Art. 70.- La naturaleza o Pacha Mama, donde se reproduce y realiza la vida, tiene derecho a que se respete integralmente su existencia y el mantenimiento y regeneración de sus ciclos vitales, estructura, funciones y procesos evolutivos.

Toda persona, comunidad, pueblo o nacionalidad podrá exigir a la autoridad pública el cumplimiento de los derechos de la naturaleza. Para aplicar e interpretar estos derechos se observarán los principios establecidos en la Constitución, en lo que proceda.

El Estado incentivará a las personas naturales y jurídicas, y a los colectivos, para que protejan la naturaleza y promoverá el respeto a todos los elementos que forman un ecosistema." (Asamblea Nacional Constituyente de Ecuador, 2008, s.p.)

2.2.2 Código Orgánico del Ambiente

Art. 224.- Objeto. La gestión integral de los residuos y desechos está sometida a la tutela estatal cuya finalidad es contribuir al desarrollo sostenible, a través de un conjunto de políticas intersectoriales y nacionales en todos los ámbitos de gestión, de conformidad con los principios y disposiciones del Sistema Único de Manejo Ambiental.

Art. 225.- Políticas generales de la gestión integral de los residuos y desechos. Serán de obligatorio cumplimiento, tanto para las instituciones del Estado, en sus distintos niveles y formas de gobierno, regímenes especiales, así como para las personas naturales o jurídicas, las siguientes políticas generales:

El manejo integral de residuos y desechos, considerando prioritariamente la eliminación o disposición final más próxima a la fuente:

La responsabilidad extendida del productor o importador;

La minimización de riesgos sanitarios y ambientales, así como fitosanitarios y zoosanitarios;

El fortalecimiento de la educación y cultura ambiental, la participación ciudadana y una mayor conciencia en relación al manejo de los residuos y desechos;

El fomento al desarrollo del aprovechamiento y valorización de los residuos y desechos, considerándolos un bien económico con finalidad social, mediante el establecimiento de herramientas y mecanismos de aplicación;

El fomento de la investigación, desarrollo y uso de las mejores tecnologías disponibles que minimicen los impactos al ambiente y la salud humana:

El estímulo a la aplicación de buenas prácticas ambientales, de acuerdo con los avances de la ciencia y la tecnología, en todas las fases de la gestión integral de los residuos o desechos; 8. La aplicación del principio de responsabilidad compartida, que incluye la internalización de costos,

derecho a la información e inclusión económica y social, con reconocimientos a través de incentivos, en los casos que aplique;

El fomento al establecimiento de estándares para el manejo de residuos y desechos en la generación, almacenamiento temporal, recolección, transporte, aprovechamiento, tratamiento y disposición final;

La sistematización y difusión del conocimiento e información, relacionados con los residuos y desechos entre todos los sectores;

La jerarquización en la gestión de residuos y desechos; y,

Otras que determine la Autoridad Ambiental Nacional.

Art. 226.- Principio de jerarquización. La gestión de residuos y desechos deberá cumplir con la siguiente jerarquización en orden de prioridad:

Prevención;

Minimización de la generación en la fuente;

Aprovechamiento o valorización;

Eliminación; y,

Disposición final.

La disposición final se limitará a aquellos desechos que no se puedan aprovechar, tratar, valorizar o eliminar en condiciones ambientalmente adecuadas y tecnológicamente factibles.

La Autoridad Ambiental Nacional, así como los Gobiernos Autónomos Descentralizados Municipales o Metropolitanos, promoverán y fomentarán en la ciudadanía, en el marco de sus competencias, la clasificación, reciclaje, y en general la gestión de residuos y desechos bajo este principio.

Art. 243.- Objeto. La Autoridad Ambiental Nacional impulsará y fomentará nuevos patrones de producción y consumo de bienes y servicios con responsabilidad ambiental y social, para garantizar el buen vivir y reducir la huella ecológica. El cumplimiento de la norma ambiental y la producción más limpia serán reconocidos por la Autoridad Ambiental Nacional mediante la emisión y entrega de certificaciones o sellos verdes, los mismos que se guiarán por un proceso de evaluación, seguimiento y monitoreo.

Art. 244.- Medidas preventivas. Las instituciones del Estado adoptarán las medidas y acciones preventivas necesarias fundamentadas en el uso de tecnologías limpias, considerando el ciclo de vida del producto y el fomento de hábitos de producción y consumo sustentable de la población. Se generarán buenas prácticas ambientales en las instalaciones.

Art. 245.- Obligaciones generales para la producción más limpia y el consumo sustentable. Todas las instituciones del Estado y las personas naturales o jurídicas, están obligadas según corresponda, a:

Incorporar en sus propias estructuras y planes, programas, proyectos y actividades, la normativa y principios generales relacionados con la prevención de la contaminación, establecidas en este Código;

Optimizar el aprovechamiento sustentable de materias primas;

Fomentar y propender la optimización y eficiencia energética, así como el aprovechamiento de energías renovables;

Prevenir y minimizar la generación de cargas contaminantes al ambiente, considerando el ciclo de vida del producto;

Fomentar procesos de mejoramiento continuo que disminuyan emisiones;

Promover con las entidades competentes el acceso a la educación para el consumo sustentable;

Promover el acceso a la información sobre productos y servicios en base a criterios sociales, ambientales y económicos para la producción más limpia y consumo sustentable;

Coordinar mecanismos que faciliten la transferencia de tecnología para la producción más limpia;

Minimizar y aprovechar los desechos; y,

Otros que la Autoridad Ambiental Nacional dicte para el efecto. (Código Orgánico del Ambiente [COA], 2017, s.p.)

2.2.3 Normas Técnicas para la Fabricación de los Bloques de Hormigón

ACI 211: Diseño de mezclas de concreto.

ISO 8302: Aislamiento térmico. Determinación de la resistencia térmica en estado estacionario y propiedades relacionadas – Aparato con placa calefactora protegida.

NTE INEN 872: Áridos para hormigón. Requisitos.

ASTM C 127-01: Método de ensayo para determinar la densidad, densidad relativa (gravedad específica) y absorción de agregados gruesos.

ASTM C 128-01: Método de ensayo para determinar la densidad, densidad relativa (gravedad específica) y absorción de agregados finos.

ASTM C 29/ C 29M-97: Método de ensayo para el peso unitario y vacío en los agregados.

NTE INEN 152: Cemento Portland. Requisitos.

NTE INEN 638: Bloques huecos de hormigón. Definiciones, clasificación y condiciones generales.

NTE INEN 3066: Bloques de Hormigón. Requisitos y Métodos de ensayo.

CAPÍTULO III

MARCO METODOLÓGICO

3.1 Enfoque de la Investigación: Cuantitativo

Se usa un enfoque cuantitativo debido a que se realiza principalmente los ensayos de granulometría de los agregados, ensayos de resistencia mecánica y conductividad térmica a los bloques de mampostería no estructural con fibra de coco y bagazo de caña de azúcar, mediante los cuales se obtendrán datos numéricos para comprobar objetivamente si se cumple la hipótesis.

3.2 Alcance de la Investigación: Correlacional y Descriptivo

Correlacional

El alcance de la investigación es exploratorio porque se realizarán prototipos con diferentes porcentajes de fibra de coco y bagazo de caña para determinar el desempeño mecánico y termoaislante de la muestra de cada dosificación de los bloques de mampostería no estructural con fibra de coco y bagazo de caña de azúcar para viviendas de interés social.

Descriptivo

Se describen las características tanto de la materia prima convencional para el diseño del bloque patrón (sin adición de fibra de coco y bagazo de caña de azúcar) como para la materia prima alternativa que corresponde a la fibra de coco y bagazo de caña de azúcar para el diseño del bloque termoaislante de mampostería no estructural, así como el tratamiento químico a las fibras vegetales que son la fibra de coco y bagazo de caña. Además, se explica el procedimiento para su diseño y elaboración de los bloques patrón y los bloques de mampostería no estructural con fibra de coco y bagazo de caña de azúcar. En cuanto a los resultados de los ensayos,

éstos se analizarán para describir las propiedades físicas, mecánicas y termoaislantes de los bloques, al igual que su factibilidad económica.

3.3 Técnica e Instrumentos para Obtener los Datos

Técnicas

Observación: constituye la primera una de las primeras etapas de cualquier investigación. Es una técnica que se trata de observar detenidamente un fenómeno, hecho o caso, para obtener información del mismo de manera objetiva y registrarla para su posterior análisis, en otras palabras, se realiza una recopilación directa de los datos mediante trabajos de laboratorio o en el campo. En la investigación cuantitativa, generalmente la información es expresada en cifras y relaciones lógico-formales empleando ya sea métodos de análisis numéricos y estadísticos, o métodos de medición sistemáticos.

Observación directa: se implementa cuando el investigador está en contacto con el fenómeno que observa sin intermediarios, por ejemplo, cuando sus instrumentos de medición o sus sentidos pueden registrar el comportamiento del objeto de estudio.

Observación pasiva: se implementa cuando la presencia del investigador no necesita ser tomada en cuenta en el análisis de los valores obtenidos y no interviene en el objeto de estudio observado.

Observación sistemática: se implementa cuando el investigador organiza y procesa la información en base a métodos y protocolos específicos o cuidadosamente estipulados mediante criterios y parámetros prioritarios con una dirección en cuanto a los resultados esperados.

Entre los tipos de observación para el presente estudio, se utilizan los tipos observación mencionados para verificar el control de calidad del proceso experimental y documentar información cuantitativa y aspectos cualitativos de los resultados para

posteriormente ser procesados y analizados. Esta técnica se puede emplear en los siguientes casos:

- Medir el peso de los agregados de los bloques durante el procedimiento de los ensayos de granulometría, peso volumétrico, gravedad específica y absorción de humedad con el fin de procesar los datos y evaluar mediante las fórmulas y gráficas si las características de los agregados son apropiadas para la elaboración de los bloques y si no hubo error durante el procedimiento de los ensayos.
- Medir el peso de los materiales de acuerdo con las dosificaciones establecidas y controlar la homogeneidad de la mezcla, así como describir el acabado final de los bloques una vez terminado el proceso de la máquina vibro compactadora en los moldes con las medidas establecidas para ajustar las proporciones de los materiales.
- Medir la cantidad de agua destilada o solución de hidróxido de sodio para realizar el tratamiento hidrotérmico o alcalino, respectivamente, así como la medición y control de la temperatura del agua destilada o NaOH y la medición del pH de la solución filtrada de NaOH para determinar si llegó a un pH neutro.
- Registrar y describir cambios en la textura superficial de la fibra de coco y bagazo de caña durante y después de los tratamientos químicos para verificar y validar la efectividad de dichos tratamientos.
- Registrar la respuesta de los bloques sometidos a las pruebas experimentales para evaluar sus propiedades físicas y térmicas, ya sea en forma de datos numéricos o datos cualitativos que puedan surgir durante el ensayo como la documentación de fracturas y deformaciones visibles en los bloques.

En este sentido, otras técnicas o métodos que ayudan a obtener resultados cuantitativos sobre las propiedades físicas, mecánicas y termoaislantes de los bloques son los ensayos.

Ensayos. Es una técnica experimental que permite al investigador obtener resultados de las propiedades físicas, mecánicas, químicas y térmicas de un material mediante pruebas controladas y reguladas con el fin de que estos resultados sean

evaluados en base a si el comportamiento de dichos materiales es considerado apto con respecto a normativas técnicas y estándares de calidad para ser utilizado en un proyecto.

Instrumentos

Ensayos para la caracterización de agregados finos y gruesos:

- Conjunto de tamices con diferentes aberturas.
- Balanza con precisión mínima de 0.1 g.
- Horno de secado.
- Matraz aforado.

Ensayo de resistencia a compresión:

- Máquina de ensayo de resistencia a compresión.
- Vernier.
- Nivel.
- Computador.
- Cámara fotográfica.

Dimensiones y contenido de humedad de los bloques:

- Vernier.
- Balanza de precisión.
- Horno de secado.

Ensayo de conductividad térmica:

- Fuente de calor controlada.
- Sistemas de medición de flujo de calor.
- Balanza con precisión mínima de 0.1 g.
- Sensores de temperatura (termopares).

Tratamiento hidrotérmico y alcalino de las fibras vegetales

Balanza de precisión.

- Termómetro de mercurio.
- Horno de secado.
- Matraz aforado y matraz Erlenmeyer.
- Probeta graduada.
- Plancha de calentamiento.

Modelado computacional del acabado e implementación del bloque termoaislante con fibra de coco y bagazo de caña para viviendas interés social

- Sketch Up.
- AutoCAD.

3.4 Población y Muestra

Población: se considera como población a los 40 bloques elaborados con cada una de las dosificaciones planteadas. Cabe especificar que, para la presente investigación, cada una de las 5 dosificaciones definidas está compuesta por un total de 8 bloques, obteniendo como resultado 40 bloques.

Muestra: Las muestras para los ensayos mencionados a partir de la dosificación del bloque patrón y de la dosificación de los bloques con diferentes proporciones de fibra de coco (F.C.) y bagazo de caña (B.C.) son seleccionadas mediante un muestreo no probabilístico de acuerdo a la normativa INEN 3066. A continuación, se presenta una tabla que demuestra la cantidad de bloques tomados como muestra para realizar los ensayos en función de las variables dependientes e independientes asociadas con las proporciones de fibra de coco y bagazo de caña:

Tabla 8: Muestra de Bloques para Los Diferentes Ensayos

	S_0	S_1	\mathcal{S}_2	\mathcal{S}_3	S_4
Proporción	F.C= 0% B.C= 0%	F.C= 2% B.C=0.50%	F.C=0.30% B.C=0.50%	F.C=0.35% B.C=0.5%	F.C=0.35% B.C=0.5% (NaOH)
Resistencia a compresión	3	3	3	3	3

Densidad, absorción y	3	3	3	3	3
otros Conductividad térmica	1	1	1	1	1

Elaborado por: Errazuriz y Romero (2024).

CAPÍTULO IV

PROPUESTA O INFORME

4.1 Procedimiento para el Diseño de Bloque Termoaislante con Fibra de Coco y Bagazo de Caña para Viviendas de Interés Social

Para el presente estudio, primero se realizaron los siguientes ensayos para los agregados gruesos y finos con el objetivo de determinar la dosificación del hormigón de los bloques por el método ACI:

4.1.2 Ensayos para La Caracterización de Los Agregados Gruesos y Finos

4.1.2.1 Granulometría de Los Agregados Gruesos y Finos (NTE INEN 872).

Esta norma indica los requisitos de granulometría y calidad para áridos finos y gruesos para ser utilizados en el hormigón (Instituto Ecuatoriano de Normalización [INEN], 2011).

Objetivo del ensayo: determinar idoneidad de las partículas de los agregados gruesos y finos por medio de la representación de su distribución de tamaños en una curva granulométrica, comparándolos con los límites inferiores y superiores de la normativa INEN 872.

Materiales y equipos: tamizadora mecánica, equipos de protección personal, recipientes, espátulas y pala.

Procedimiento:

 Obtener una cantidad representativa del agregado mediante el cuarteo de los agregados, aproximadamente 1200 gramos en total por cada tipo de agregado a ensayar.

- Secar la muestra en el horno a una temperatura de 110 ± 5 °C hasta no notar rastros de humedad en el agregado y permitir que la muestra alcance una temperatura ambiente antes de realizar el ensayo.
- Pesar la cantidad total de agregado. Este peso se considera como peso inicial o "masa inicial". Sin embargo, dado que la capacidad de la tamizadora es de aproximadamente 500 gramos, entonces, se optó por dividir la cantidad de agregados en dos recipientes distintos y, por ende, tamizarlo en dos partes.
- Seleccionar el conjunto de tamices para el ensayo que cumplan con las condiciones de apertura de la normativa INEN y colocarlos en orden decreciente de apertura en la máquina tamizadora, en este caso, se usan los tamices: 3/4, 1/2, 3/8, No. 4 y No. 8 para los agregados gruesos y para los agregados finos se usan los tamices: No.4, No. 8, No. 16, No. 30, No. 50 y No. 100.
- Colocar la muestra de agregados del primer recipiente en el tamiz superior y cerrar con la tapa el tamiz superior.
- Encender la tamizadora mecánica y tamizar durante 2 minutos.
- Pesar el material retenido en cada malla de los tamices y registrarlos.
- Calcular el porcentaje retenido, el porcentaje del retenido acumulado, y porcentaje de pasante acumulado.

4.1.2.2 Ensayo para El Peso Unitario y Vacíos en los Agregados (ASTM C 29/ C 29M-97).

Este procedimiento permite medir la densidad aparente (peso unitario) de un árido, ya sea en su estado suelto o compactado. De igual forma, permite calcular el porcentaje de huecos entre las partículas sólidas en áridos finos, gruesos y o las combinaciones de ambos bajo el mismo método de análisis. Esta técnica es adecuada para áridos cuyo tamaño de partícula nominal es de máximo 5 pulgadas o 125 mm (American Society for Testing Materials [ASTM]).

Objetivo del ensayo: evaluar la cantidad de un tipo de agregado contenida en un volumen específico, siendo un parámetro esencial en el diseño de las mezclas de concreto que se utiliza para calcular las proporciones de materiales de mezclas de

concreto y optimizar el diseño de las mismas para mejorar sus propiedades como la resistencia y durabilidad.

Materiales y equipos: recipiente cilíndrico de metal de masa y volumen conocido, varilla compactadora de 5/8 pulgadas (16 mm), regla metálica o varilla para nivelar, equipos de protección personal, tamiz N.4, 2 bandejas de chapa metálica, pala grande y una pala pequeña.

Procedimiento para el peso volumétrico suelto:

- Obtener una cantidad representativa del agregado mediante el cuarteo de los agregados, aproximadamente 10 kg por cada tipo de agregado a ensayar.
- Tamizar los agregados por el tamiz No.4 y el material restante en la malla del tamiz se conserva en una charola grande de superficie plana para el ensayo y el material pasante se desecha.
- Registrar la masa y el volumen del recipiente cilíndrico de metal.
- Colocar el recipiente sobre una charola grande de superficie plana.
- Recoger el material con la pala pequeña y agregar el contenido a una altura constante (aproximadamente a la altura del puño de la mano) dentro del recipiente.
- Nivelar la superficie del agregado con la varilla o regla metálica cuando la cantidad de agregados rebose el recipiente.
- Pesar el material en la balanza y se registra el peso del recipiente más el agregado.
- Determinar la masa del agregado realizando la resta entre la masa del recipiente y la masa del agregado.
- Calcular el peso volumétrico del agregado dividiendo la masa del agregado para el volumen del recipiente.

$$P.V.S = \frac{Masa\ del\ agregado\ (kg)}{Volumen\ del\ recipiente\ (m^3)}$$

- Repetir el procedimiento con otras 2 muestras del material; determinar la masa del agregado.
- Devolver toda la cantidad de agregados a la charola grande para el siguiente ensayo del peso volumétrico varillado.





Elaborado por: Errazuriz y Romero (2024).

Procedimiento para el peso volumétrico compactado:

- Recoger el material con la pala pequeña y agregar el contenido a una altura constante (aproximadamente a la altura del puño de la mano) dentro del recipiente. Esta es la primera capa del material.
- Compactar cada capa dando 25 golpes con la varilla compactadora distribuyendo los golpes uniformemente.
- Nivelar la superficie del agregado de la última capa con la varilla o regla metálica cuando la cantidad de agregados rebose el recipiente.
- Pesar el material en la balanza y se registra el peso del recipiente más el agregado.
- Determinar la masa del agregado realizando la resta entre la masa del recipiente y la masa del agregado.
- Calcular el peso volumétrico del agregado dividiendo la masa del agregado para el volumen del recipiente.

$$P.V.V = \frac{Masa\ del\ agregado\ (kg)}{Volumen\ del\ recipiente\ (m^3)}$$

4.1.2.3 Ensayo para Determinar la Densidad, Densidad Relativa (gravedad específica) y Absorción de Agregados Finos (ASTM C 128-01).

Es un método de ensayo que determina la densidad promedio de un grupo de partículas excluyendo el volumen de los espacios vacíos entre las partículas, obteniendo la densidad relativa (peso específico) y la capacidad de absorción de los áridos finos (American Society for Testing Materials [ASTM]).

Objetivo del ensayo: obtener parámetros clave en el diseño de mezclas de hormigón como la densidad y densidad relativa (gravedad específica) de los áridos finos para determinar las proporciones adecuadas de los componentes del hormigón, así mismo, la absorción de los áridos finos indica su capacidad de retención de agua, lo que puede afectar en la relación agua/cemento de la mezcla y su trabajabilidad.

Materiales y equipos: plancha de calentamiento, recipientes, pala pequeña, espátula y equipos de protección personal.

- Obtener una cantidad representativa del agregado mediante el cuarteo de los agregados, aproximadamente 2 kg de arena.
- Secar la muestra la muestra a una temperatura de 110 ± 5 °C hasta no notar rastros de humedad en el agregado y permitir que la muestra alcance una temperatura ambiente antes de realizar el ensayo.
- Colocar la muestra en un recipiente con agua limpia durante un mínimo de 24 horas.
- Decantar el exceso de agua y dejar la muestra húmeda sobre una plancha de calentamiento y mover constantemente los agregados hasta remover el exceso de humedad. Para verificar que el agregado haya alcanzado estado de saturación con superficie seca (SSS), utilizar el método del cono de arena que consiste en llenar 3 capas de dicha arena en un cono metálico compactadas con 25 golpes en total. Si al retirar el cono metálico la arena conserva la forma

del cono sin colapsar, esto indica que se ha alcanzado el estado de saturación con superficie seca (SSS).

- Registrar el peso de la muestra de arena en el estado SSS ("S" en la ecuación
 3).
- Determinar la "masa del frasco volumétrico + agua", es decir, del matraz aforado ("B" en la ecuación 3).
- Colocar la muestra en un recipiente de 500 ml, colocar agua y esa solución colocarla en el matraz aforado.
- Remover las burbujas de aire agitando el matraz.
- Llenar el matraz con agua hasta la marca de calibración, pesarlo y registrar ese peso como "masa del frasco volumétrico +agua + muestra" ("C" en la ecuación 3).
- Colocar el contenido del matraz aforado en un recipiente y llevarlo al horno a 110 ± 5 °C por 24 horas y pesarlo para determinar la "masa de la muestra seca al horno + recipiente" y, finalmente, determinar la masa de la muestra ("A" en la ecuación 3).
- Calcular la gravedad específica y el porcentaje de absorción de humedad del agregado.

$$G.E = \frac{S}{(B+S-C)}$$

$$Absorci\'on = \frac{S - A}{A}$$

4.1.2.4 Ensayo para Determinar la Densidad, Densidad Relativa (Gravedad Específica) y Absorción de Agregados Gruesos.

Es un método de ensayo que determina la densidad promedio de un grupo de partículas excluyendo el volumen de los espacios vacíos entre las partículas, obteniendo la densidad relativa (peso específico) y la capacidad de absorción de los áridos gruesos (American Society for Testing Materials [ASTM], 2009).

Objetivo del ensayo: obtener parámetros clave en el diseño de mezclas de hormigón como la densidad y densidad relativa (gravedad específica) de los áridos gruesos para determinar las proporciones adecuadas de los componentes del hormigón, así mismo, la absorción de los áridos gruesos indica su capacidad de retención de agua, lo que puede afectar en la relación agua/cemento de la mezcla y su trabajabilidad.

Materiales y equipos: balde con alambre de aluminio, pala, espátula, recipientes y equipos de protección personal.

Procedimiento:

- Obtener una cantidad representativa del agregado mediante el cuarteo de los agregados, aproximadamente 2 kg de arena.
- Secar la muestra la muestra a una temperatura de 110 ± 5 °C hasta no notar rastros de humedad en el agregado y permitir que la muestra alcance una temperatura ambiente antes de realizar el ensayo.
- Determinar la masa del recipiente donde se pesó inicialmente la muestra del agregado.
- Colocar la muestra del agregado en el mismo recipiente, añadir suficiente agua y dejar remojando la muestra por mínimo 24 horas.
- Decantar el exceso de agua del recipiente y secar con una franela la superficie de los agregados, asegurándose de que las partículas de los agregados lleguen al estado de saturación con superficie seca (SSS).
- Pesar y registrar la masa del recipiente con la muestra en estado SSS.
- Determinar la "masa de la muestra SSS" ("B" en la ecuación 4).
- Colocar los agregados en un balde y unir la agarradera de éste a un alambre de metal que cuelgue de la parte inferior de la balanza para medir la "masa de la muestra sumergida en el agua" ("C" en la ecuación 4).
- Colocar la muestra del agregado en un recipiente y llevarlo al horno a 110 ± 5
 °C hasta que su masa sea constante. Finalmente, determinar la "masa de la muestra seca" ("A" en la ecuación).
- Calcular la gravedad específica y el porcentaje de absorción de humedad del agregado.

$$G.E = \frac{B}{(B - C)}$$

$$(B - A)$$

$$Absorci\'on = \frac{(B-A)}{A}$$

4.1.3 Dosificación del Bloque Patrón con La Normativa ACI 211.1

Datos iniciales:

F'c= 140 kg/cm2

Tamaño máximo del agregado: 9.5 mm (3/8").

Tabla 9: Resultados de los Ensavos del Agregado Grueso y Fino

Material	M.V.S.S.	M.V.S.V.	Densidad	Módulo de	%
	(kg/m3)	(kg/m3)	(kg/m3)	finura	Absorción
Grava	1428,41	1566,95			2,65
Arena	1175,97	1299,16	2560	2,5	1,08

Elaborado por: Errazuriz y Romero (2024).

Paso 1: Selección del revenimiento y tamaño máximo del agregado.

Tabla 10: Revenimientos Recomendados para Diversos Tipos de Construcción

Tipos de	R	tos	
construcción	Máximo	Mínimo	Tolerancias
Vigas y muros	10	2,5	± 3,5
reforzados			
Columnas para	10	2,5	± 3,5
edificios			
Pavimentos y losas	8	2,5	± 2,5
Muros de cimentación	7,5	2,5	± 2,5
y zapatas			
Concreto masivo	7,5	2,5	± 2,5

Fuente: Cordero Estévez y otros (2022).

Paso 2: Cálculo de la cantidad de agua de mezclado y contenido de aire.

Tabla 11: Requisitos Aproximados de Agua de Mezclado y Contenido de Aire

Tabla 11: Requisito	os Aproxim		gua de Me jua, kg/m:			de Aire		
Revenimiento	3/8"	1/2"	3/4"	1"	1 ½"	2"	3"	6"
(cm)	10	12,5	20	25	40	50	70	150
		Со	ncreto sir	n aire incl	uido			
2,5 a 5	207	199	190	179	166	154	130	113
7,5 a 10	228	216	205	193	181	169	145	124
15 a 18	243	228	216	202	190	178	160	
% aire incluido	3	2,5	2	1,5	1	0,5	0,3	0,2
		Co	ncreto co	n aire incl	uido			
2,5 a 5	181	175	168	160	150	142	122	107
7,5 a 10	202	193	184	175	165	157	133	119
15 a 18	216	205	197	184	174	166	154	
Promedio recor	mendado	del conter	nido total	de aire, p	orcentaje (de acuerd	lo con el n	ivel de
			expo	sición				
Exposición	4,5	4	3,5	3	2,5	2	1,5	1
ligera								
Exposición	6	5,5	5	4,5	4,5	4	3,5	3
moderada								
Exposición	7,5	7	6	6	5,5	5	4,5	4
severa								

Fuente: Cordero Estévez y otros (2022).

Dado que se tiene con un revenimiento de 2,5 cm y se trabaja con un concreto sin aire incluido, la cantidad de agua y porcentaje de aire en el concreto es:

Cantidad de agua: 207 kg/m3.

Contenido de aire: 3%.

Paso 3: Resistencia a la compresión requerida.

Tabla 12: Desviación Estándar de La Resistencia del Concreto en kg/cm2

Procedimiento de	F'c ≤ 200 kg/cm2	200 kg/cm2 ≤ F'c ≤ 300
fabricación		kg/cm2
Mezclado mecánico,		
proporcionamiento, corrección		
por humedad y absorción de	30	35
los agregados de una misma		
fuente y de calidad controlada.		
Mezclado mecánico,	35	45
proporcionamiento por peso.	33	45
Mezclado mecánico,		
proporcionamiento por	50	60
volumen; volúmenes	50	80
cuidadosamente controlados.		

Fuente: Cordero Estévez y otros (2022).

La desviación estándar (C) seleccionada para el procedimiento de fabricación de mezclado mecánico, proporcionamiento por peso, para una resistencia de 200 kg/cm2 es 35.

$$C = 35$$

$$F'cr= F'c + 1,28C= 140 \text{ kg/cm2} + 1,28 (35) = 184,8$$

$$F'cr = F'c + (2,52C) - C = 140 + (2,52 \times 35) - 35 = 193, 2$$

El mayor valor es 193,2. Por lo tanto, este será la nueva resistencia a compresión requerida.

Paso 4: Cálculo de la relación agua/cemento.

Tabla 13: Relación Agua/Cemento por Peso

Resistencia a la compresión	Sin aire incluido	Con aire incluido
a los 28 días (kg/cm2)		
420	0,41	
350	0,48	0,4
280	0,57	0,48
210	0,68	0,59
140	0,82	0,74

Fuente: Cordero Estévez y otros (2022).

La relación agua/cemento para una resistencia a compresión a los 28 días de 193, 20 kg/cm2 y sin aire incluido, por interpolación, es:

Relación agua/cemento= 0,716.

Paso 5: Cálculo de la cantidad de cemento.

$$Vc = \frac{a}{a/c} = \frac{207 \, kg/cm^2}{0.7136} = 290,078 \, kg$$

Paso 6: Cálculo del volumen del agregado grueso.

Tabla 14: Volumen de Agregado Grueso por Volumen Unitario de Concreto

Tamaño	Volumer	n de agregad	o g rueso* va	rillado en se	co, por volui	men unitario de
máximo	concreto	para diferent	es módulos d	e figura de la	arena indicad	los
del	2,4	2,6	2,8	3	3,2	3,4
agregado						
(mm)						
9,5 (3/8")	0,5	0,5	0,46	0,44	0,42	0,4
12,5 (1/2")	0,59	0,60	0,55	0,53	0,51	0,49
19 (3/4")	0,66	0,60	0,62	0,60	0,58	0,56
25 (1")	0,71	0,70	0,67	0,65	0,63	0,61
37,5 (1 ½)	0,75	0,70	0,71	0,69	0,67	0,65
50 (2")	0,78	0,80	0,74	0,72	0,70	0,68
75 (3")	0,82	0,80	0,78	0,76	0,74	0,72
150 (6")	0,87	0,90	0,83	0,81	0,79	0,77

Fuente: Cordero Estévez y otros (2022).

De acuerdo con el tamaño máximo del agregado grueso, 3/8" y el módulo de finura de la arena adoptado de 2,4, la cantidad de grava es:

Cantidad de grava: 0,5 (50% del volumen de 1m3 de concreto).

Paso 7: Cálculo del volumen de agua.

$$Va = \frac{a}{densidad\ del\ agua} = \frac{207\ kg/cm^2}{1000\ kg/m^3} = 0,207\ m^3$$

Paso 8: Cálculo del volumen de cemento.

$$Vc = \frac{cantidad\ de\ cemento}{densidad\ del\ cemento} = \frac{290,078\ kg}{3150\ kg/m^3} = 0,092\ m^3$$

Paso 9: Cálculo del volumen de agregado grueso.

$$V_{AG} = \frac{M.V.S.V.de\ la\ grava}{densidad\ de\ la\ grava} = \frac{1566,95\ kg*0,5}{2910\ kg/m^3} = 0,269\ m^3$$

Paso 10: Volumen de aire (teórico).

$$V \ aire = 0.03 * 1 \ m^3 = 0.03 \ m^3$$

Paso 11: Estimación de la cantidad de agregado fino.

$$V_{AF} = 1 m^3 - 0.092 m^3 - 0.207 m^3 - 0.269 m^3 - 0.03 m^3 = V_{AF} = 0.402 m^3$$

Paso 12: Primera estimación de cantidad de materiales en peso para 1 m3.

Tabla 15: Estimación del Peso de Los Materiales

Material	Densidad (kg/m^3)	Volumen (m³)	Peso (kg)
Grava	2910	0,269	782,79
Arena	2560	0,402	1029,12
Cemento	3150	0,092	289,8
Agua	1000	0,207	207
Aire		0,03	

Elaborado por: Errazuriz y Romero (2024).

Tabla 16: Aiustes por Humedad

Material	% Absorción	%Humedad Actual
Agregado grueso	1,08	0
Agregado fino	2,65	0

Elaborado por: Errazuriz y Romero (2024).

Agregado grueso: % Absorción - % Humedad Actual= 1,08% - 0%= 1,08%

Agregado fino: % Absorción - % Humedad Actual= 2,65% - 0%= 2,65%

Tabla 17: Ajustes por Humedad

Material	Peso (m3)	% Absorción - % Humedad	Agua en exceso o
		Actual	adición (kg)
Agregado grueso	782,79	1,08	8,45
Agregado fino	1029,12	2,65	27,27

Elaborado por: Errazuriz y Romero (2024).

Sumando la cantidad de agua por adición a la cantidad de agua ya calculada en el paso 2, el agua de mezclado sería 242,72 kg.

Paso 13: Segunda estimación de cantidad de materiales en peso para 1 m3.

Tabla 18: Cantidad de materiales en peso para 1 m3 corregidas por humedad

Material	Peso (kg)
Grava	782,79
Arena	1029,12
Cemento	289,80
Agua	242,72
Aire	

Elaborado por: Errazuriz y Romero (2024).

Paso 13: Cálculo de cantidad de materiales para 1 bloque y 8 bloques.

Dimensiones del bloque:

Largo= 39 cm

Ancho= 9cm

Altura= 19 cm

Volumen= 6669 cm³

Dimensiones de las cavidades del bloque:

Largo= 10 cm

Ancho= 5 cm

Altura 15,5 cm

Volumen de 1 cavidad= 775 cm³

Volumen de 3 cavidades= 2325 cm³

Volumen de concreto en el bloque= 6669 cm^3 - 2325 cm^3 = 4344 cm^3

En metros, el volumen neto del bloque es de 0,004344 m^3 . Por consiguiente, el volumen total para 8 bloques es de 0,0348 m^3 .

Tabla 19: Resultados para La Cantidad de Materiales de 8 Bloques

Material	Peso (kg)	Volumen para	8 Peso total (kg)
		bloques (m3)	
Grava	782,79	0,0348	27,24
Arena	1029,12	0,0348	35,81
Cemento	289,80	0,0348	10,085
Agua	242,72	0,0348	8,44
Aire			

Elaborado por: Errazuriz y Romero (2024).

Luego de dosificar el bloque patrón (dosificación 0) con los resultados de los ensayos para la caracterización de los agregados, se procedió a determinar las 4 dosificaciones:

Dosificación 0: 8 bloques

Tabla 20: Bagazo de caña=0% y fibra de coco 0%

Material	Peso (kg)	Peso (g)
PIEDRA CHISPA	26.00	
ARENA	30.00	
CHASQUI	18.00	
CEMENTO	9.60	
AGUA	6	
FIBRA DE COCO	0.00	
BAGAZO DE CAÑA	0.00	

Elaborado por: Errazuriz y Romero (2024).

Dosificación 1: 8 bloques

Tabla 21: Bagazo de caña=0,5% y fibra de coco 2%

eso (kg) Peso (g)	
26.00	
30.00	
17.90	
9.40	
6	
0.192	
0.09 90	
	26.00 30.00 17.90 9.40 6 0.192 192

Elaborado por: Errazuriz y Romero (2024).

Dosificación 2: 8 bloques

Tabla 22: Bagazo de caña=0,5% y fibra de coco 3%

Material	Peso (kg)	Peso (g)
PIEDRA CHISPA	26.00	
ARENA	30.00	
CHASQUI	17.90	
CEMENTO	9.31	
AGUA	6.5	
FIBRA DE COCO	0.288	288
BAGAZO DE CAÑA	0.09	90

Elaborado por: Errazuriz y Romero (2024).

Dosificación 3: 8 bloques

Tabla 23: Bagazo de caña=0,5% y fibra de coco 3,5%

Material	Peso (kg)	Peso (g)
PIEDRA CHISPA	26.00	
ARENA	30.00	
CHASQUI	17.90	
CEMENTO	9.26	
AGUA	6.00	
FIBRA DE COCO	0.336	336
BAGAZO DE CAÑA	0.09	90

Elaborado por: Errazuriz y Romero (2024).

Dosificación 4: 8 bloques

Tabla 24: Bagazo de caña=0,5% (tratamiento con hidróxido de sodio al 2%) y fibra de coco 3,5%

Material	Peso (kg)	Peso (g)
PIEDRA CHISPA	26.00	
ARENA	30.00	
CHASQUI	17.90	
CEMENTO	9.26	
AGUA	6.50	
FIBRA DE COCO	0.336	336
BAGAZO DE CAÑA	0.09	90

Elaborado por: Errazuriz y Romero (2024).

4.1.4 Tratamiento Químico de Las Fibras de Coco y El Bagazo de Caña de Azúcar

4.1.4.1 Tratamiento Hidrotérmico.

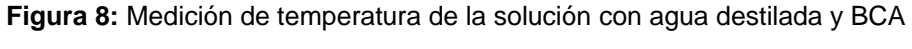
El tratamiento hidrotérmico ayuda a la eliminación de impurezas y la hemicelulosa de las fibras vegetales (bagazo de caña y fibra de coco).

1. Pesar la fibra de coco o bagazo de caña.

Figura 7: Pesaje de la Cantidad de BCA para el Tratamiento Hidrotérmico



- 2. Añadir 30 ml de agua por cada gramo de fibra de coco/bagazo de caña.
- 3. Calentar la fibra de coco con el agua hasta llegar a una temperatura de 90 °C





- 4. Una vez que se ha comprobado que la temperatura del agua destilada llegó a los 90 °C, se tiene que controlar ésta por 2 horas e ir moviendo la fibra. La temperatura no puede subir de 90 °C, porque se podría quemar la fibra.
- 5. Al transcurrir las 2h se decanta la mayor cantidad de agua posible, dejando sólo la fibra de coco.
- 6. Esparcir la fibra en una base de plástico o de cartón donde pueda secarse completamente.

4.1.4.3 Tratamiento Alcalino del Bagazo de Caña.

El tratamiento alcalino ayuda a la eliminación de la lignina obteniendo como resultado una celulosa refinada.

- 1. En 1000 ml de agua destilada se colocan 20g de hidróxido de sodio (2%).
- 2. Pesar los pelletes de hidróxido de sodio y después se mezclan continuamente en el agua destilada hasta que se disuelvan por completo los pelletes.
- 3. Por cada gramo de fibra se ponen 15.71 ml de agua destilada.
- 4. Calentar el bagazo con la solución hasta llegar a una temperatura de 70 °C.
- 5. Una vez que se ha comprobado la temperatura se tiene que controlar por 4 horas e ir moviendo el bagazo, la temperatura no puede subir de 70 °C, porque se podría quemar el bagazo.
- 6. Al pasar las 4h se coloca en el mesón o en una superficie despejada el recipiente con el bagazo y la solución.
- 7. Se prepara un recipiente en donde se pueda hacer el lavado de la fibra con la solución, esto se realiza con agua destilada.
- 8. Se coloca un recipiente hondo y sobre el recipiente se coloca una tela, la cual servirá para colar la solución, el bagazo y el agua destilada.
- 9. Una vez estén listos el paso 7 y 8 se realiza el lavado de la fibra, donde una vez que se pone el recipiente con la tela y se vierte el bagazo la solución y el agua destilada, se exprime lo más que se pueda, se puede tomar como referencia cuando se lava una prenda, al final la exprime para que se decante toda el agua que contiene.
- 10. La solución y el agua destilada que pasa la tela se la coloca en un recipiente seguro, ya que este se tiene que tratar más adelante.
- 11. Se tiene que repetir el paso 9 y 10 hasta que el agua sobrante alcance un pH neutro.
- 12. Una vez comprobado que el pH tiene un valor cercano al pH del agua destilada, se coloca el bagazo en un recipiente y se deja secar en el horno a 60 °C por 3 días.

Neutralización de una solución de 1 litro de NaOH al 2%= 2g/100ml

$$20 g NaOH = \frac{1}{40} * \frac{mol \ HCl}{1 \ mol \ NaOH} * \frac{36,46 \ g \ HCl}{1 \ mol \ HCl} = 18,23 \ gHCl$$

$$18,23 \ g \ HCl * \frac{1 \ ml \ sol \ HCl}{1,19 \ g \ HCl} = 15,32 \ ml \ sol \ HCl$$

4.1.5 Proceso de Elaboración de los Bloques

Tras determinar la dosificación del bloque patrón, así mismo, se determinaron las 4 dosificaciones con diferentes proporciones con fibra de coco y bagazo de caña. A continuación, se presenta el procedimiento para elaborar todas las dosificaciones de los bloques.

1. Primero se pesan la cantidad correspondiente de materiales según las dosificaciones establecidas; cemento, arena chasqui, piedra chispa y agua.





Figura 10: Pesaje del agregado grueso



 Se vierte la arena junto al cemento, haciendo una circunferencia, donde se añade el chasqui. Luego de mezclarlo se añade el agua y se mezclan todos los materiales constantemente.

Al ser poca cantidad de bloques a elaborar, el mezclado de la materia prima se realizó de manera manual. Mientras se mezclaban de manera uniforme todos los agregados gruesos y finos con el cemento, se añadía poco a poco un litro de agua a la mezcla.

Figura 11: Mezclado de los materiales



 Una vez mezclados todos los materiales estén uniformemente mezclados, se coloca la mezcla en la máquina vibro-compactadora durante 1 min 30 segundos.

Figura 12: Textura y Acabado de la Mezcla durante el Mezclado



4. Retirar los bloques formados de la máquina y colocarlos en una zona segura.

Figura 13: Carga de la mezcla en la máquina vibro compactadora



Elaborado por: Errazuriz y Romero (2024).

Figura 14: Acabado final de los bloques con fibra de coco y BCA



4.1.6 Ensayo de Resistencia a Compresión (INEN 3066)

Materiales y equipos: placas de apoyo superior e inferior, recipiente para los desechos y equipos de protección personal.

Procedimiento:

- Registrar en la máquina las medidas del largo y ancho del bloque a ensayar.
- Calibrar la máquina del ensayo.
- Colocar la placa inferior de apoyo y encima colocar el bloque centrado en la máquina de compresión, seguido de la placa superior.
- Asegurarse de que las superficies de carga superior e inferior estén alineadas en relación con las placas y el pistón que aplica la carga.
- Aplicar la carga a una velocidad constante de 3700 N/segundo.
- Continuar la aplicación de la carga sin interrupciones hasta que el espécimen falle o colapse.
- Registrar la carga máxima en el momento de la falla y realizar el cálculo de la resistencia a compresión:

$$f'c = \frac{P}{A}$$

4.1.7 Cálculo del Contenido de Humedad en los Bloques

Materiales y equipos: balanza de precisión de 0.1 g, franela y recipiente con agua.

Para calcular la tasa de absorción de las tres muestras, primero se determinó el peso inicial de cada bloque, se sumergieron los 3 bloques en agua por 24 horas, transcurrido ese tiempo se los retiró del agua y se los colocó en una franela para que se escurran por un minuto aproximadamente, se secó el agua visible en el bloque y determinó el peso saturado. Finalmente, se aplicó la siguiente fórmula para calcular la tasa de absorción:

 $\%Humedad = \frac{W_2 - W_1}{W_1} \times 100$

Donde:

W1: peso inicial de la muestra.

W2: peso saturado de la muestra.

4.1.8 Ensayo de Conductividad Térmica

De los materiales de construcción, este ensayo determina el coeficiente de

conductividad térmica. Según la ISO 8302 el ensayo de conductividad térmica,

mediante el método de placa caliente, determina la conducción y resistencia térmica

de los materiales (Núñez Naranjo y otros, 2023).

Características del método de ensayo

• Método de placa caliente resguardada

• ISO 8302, ASTOM C177, EN 12664, EN 12667

Temperatura medes de 10 °C hasta 40°C

• Rango de conductividad medible desde 0.002 W/m-k hasta 3 W/m-k.

Materiales y equipos:

Procedimiento

Seleccionar un bloque con dimensiones y características especificadas para

cumplir con los requisitos de las normas (15 cm x 15 cm x 7 cm).

• Medir el espesor y las dimensiones laterales del bloque con una precisión de

± 0.1 mm cumpliendo con los parámetros de tolerancias, tales como

paralelismo entre sus caras (tolerancia máxima 2%), planicidad (tolerancia

máxima 2%) y bordes redondeados para asegurar la precisión en el cálculo

de la conductividad térmica.

65

- Calibrar del equipo utilizando materiales de referencia con conductividad térmica conocida.
- Colocar el bloque entre la placa caliente (fuente de calor) y la placa fría (disipador).
- Mantener una diferencia de temperatura constante entre las placas para asegurar un estado de equilibrio térmico. Las temperaturas se fijaron según las recomendaciones de las normativas.
- Registrar el flujo de calor que pasa a través del bloque cuando el sistema alcance el equilibrio térmico y medir las temperaturas de las superficies del bloque en contacto con la placa caliente y la placa fría.
- Calcular la conductividad térmica con la siguiente fórmula:

$$K = \frac{Q \times d}{A \times \Delta t}$$

Donde:

Q: cantidad de calor transferido a través del bloque (W)

d: espesor del bloque o distancia entre sus caras (m)

A: área de la superficie del bloque (m2)

 Δt : Diferencia de temperatura entre las dos caras del bloque (Temperatura Caliente – Temperatura Fría)

4.2 Presentación de Resultados

4.2.1 Resultados de la Caracterización de los Agregados Gruesos y Finos

4.2.1.2 Resultados de Granulometría del Agrado Grueso (Chasqui).

4.2.1.2 Resultados de Granulometría del Agrado Grueso (Chasqui).

Tabla 25: Granulometría del Chasqui

Ensayo: GRANULOMETRÍA								
Proyecto:	Diseño de bloque termo	aislante con fibra o	de coco y bagazo de o	caña para viviendas d	e interés social	Ī		
Ubicación:	Guayaquil, provincia del	Guayas						
Entidad:	Escuela Superior Politéc	nica del Litoral				Ī		
Nombre del es	tudiante responsable:	Errazuriz Carrillo I	Norma María y Rome	ro Gómez Nathaly Vir	ginia	1		
Docente super	visor:	Falquez Torres Da	niel Andres			1		
Fecha de ejecu	ción	6 de septiembre d	del 2024			1		
Fecha de finaliz	zación	6 de septiembre d	del 2024			Ī		
Descripción		Chasqui						
		Análisis Granulom	étrico por tamizado	ASTM C-136		Ī		
Tamiz	Abertura (mm)	Masa ret (g)	% Ret	% Ret Acum.	%Pasa. Acumulado			
		 						

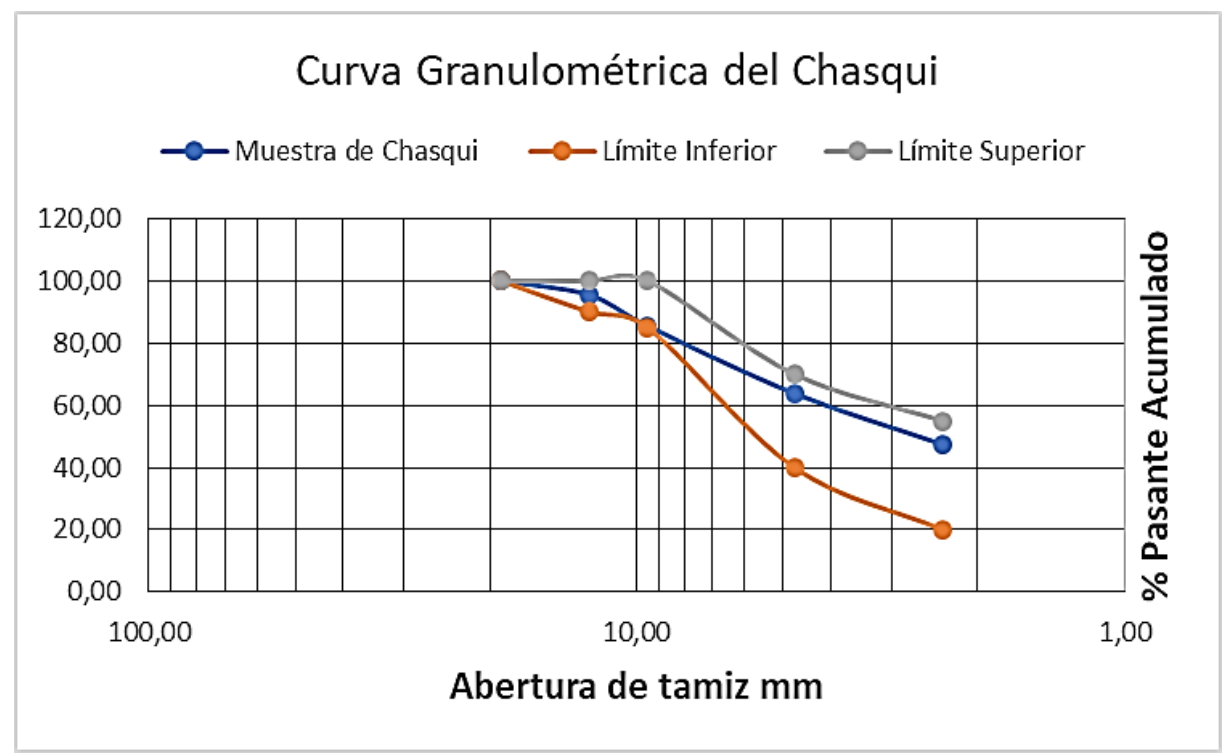
	Tamiz	Abertura (mm)	Masa ret (g)	% Ret	% Ret Acum. %Pasa. Acumulado		Tamiz		EN 872 cumulado
	3/4	19,00	0,00	0,00	0,00	100,00	19,00	100,00	100,00
I	1/2	12,50	46,30	4,53	4,53	95,47	12,50	90,00	100,00
	3/8	9,50	102,10	9,99	14,52	85,48	9,50	85,00	100,00
	No. 4	4,75	221,50	21,67	36,20	63,80	4,75	40,00	70,00
	No. 8	2,36	167,40	16,37	52,60	47,40	2,36	20,00	55,00
	Fondo		485,00	47,44	100,20	0,00			•
ſ	Total		1022,30				-		

Elaborado por: Errazuriz y Romero (2024).

Tabla 26: Cálculo del porcentaje de error del ensayo de granulometría del chasqui

Masa inicial:	1025,20 gr
Masa final:	1022,30 gr
%Error	0,28

Figura 15: Curva granulométrica del chasqui



4.2.1.3 Resultados del Ensayo para Peso Unitario y Vacíos en los Agregados (Chasqui).

Tabla 27: Resultados del ensayo para el peso volumétrico del chasqui

,											
Ensayo: PESO VOLUMÉTRICO											
Proyecto:	Diseño de bl	eño de bloque termoaislante con fibra de coco y bagazo de caña para viviendas de interés social									
Ubicación:	Guayaquil, p	ayaquil, provincia del Guayas									
Entidad:	Escuela Supe	uela Superior Politécnica del Litoral-Facultad de Ingeniería en Ciencias de la Tierra (FICT) Laboratorio de Geotecnia y Construcción									
Nombre del estudiante responsable:	Errazuriz Can	azuriz Carrillo Norma María y Romero Gómez Nathally Virginia									
Docente supervisor:	Falquez Torre	quez Torres Daniel Andres									
Fecha de ejecución:	6 de septiem	bre del 2024									
Fecha de finalización	6 de septiem	bre del 2024									
Datos del recipiente de medida											
		Volumen	0,002868		Masa	1,580					
								,			
			Determ	inación de la	masa suelta v	/arillada					
	Prueba	Masa del r	ecipiente má	s agregado	Masa del agregado						
		Suelto	Varillado		Suelto	Varillado					
	1	2,53	2,64	Kg	0,95	1,06	Kg				
	2	2,54	2,64	Kg	0,96	1,06	Kg				
	3	2,55	2,61	Kg	0,97	1,03	Kg				
	Promedio			Kg			Kg				
			Dete	minación de	l peso volum	étrico					
			Prueba	Pe	so volumétri	ico					
				Suelto	Varillado						
			1	332,64	368,90	Kg/m3					
			2	333,33	369,60	Kg/m3					
		3	339,61	359,14	Kg/m3						
			Promedio	335,19	365,88	Kg/m3					

4.2.1.4 Resultados del Ensayo para Determinar la Densidad, Densidad Relativa (Gravedad Específica) y Absorción de Agregados Gruesos (Chasqui).

Tabla 28: Ensayo de gravedad específica y absorción del chasqui

	Ensayo: GRAVEDAD ESPECÍFICA Y ABSORCIÓN DEL AGREGADO GRUESO									
Proyecto:	Diseño de bloque termoaislante con fibra de coco y bagazo de ca	seño de bloque termoaislante con fibra de coco y bagazo de caña para viviendas de interés social								
Ubicación:	uayaquil, provincia del Guayas									
Entidad:	scuela Superior Politécnica del Litoral-Facultad de Ingeniería en Ciencias de la Tierra (FICT) Laboratorio de Geotecnia y Construcción									
Nombre del estudiante responsable:	Errazuriz Carrillo Norma María y Romero Gómez Nathaly Virginia									
Docente supervisor:	Falquez Torres Daniel Andres									
Fecha de ejecución:	10 de septiembre del 2024									
Fecha de finalización	11 de septiembre del 2024									
Descripción:	Chasqui									
	Determinación de masas									
	ID recipiente	C12								
	Masa del recipiente	152,82	g							
	Masa del recipiente más muestra SSS	1731,51	g							
	Masa de la muestra SSS (B)	1578,69	g							
	Masa de la muestra sumergida en agua (C)	227,23	g							
	Masa del recipiente más muestra seca	1096,93	g							
	Masa de la muestra seca (A) 944,11 g									
	Determinación de la gravedad específica y absorción									
	Gravedad específica SSS (B/(B-C))	1,17		•						
	Absorción ((B-A)/A)*100	67,21	%							

4.2.1.5 Resultados del Ensayo de Granulometría de la Piedra Chispa

Tabla 29: Ensayo de granulometría de la piedra chispa

	Ensayo: GRANULOMETRÍA							
Proyecto:	Diseño de bloque termoaislante	seño de bloque termoaislante con fibra de coco y bagazo de caña para viviendas de interés social						
Ubicación:	Guayaquil, provincia del Guayas	uayaquil, provincia del Guayas						
Entidad:	Escuela Superior Politécnica del Litoral							
Nombre del e	studiante responsable:	Errazuriz Carrillo Norma María y Romero Gómez Nathaly Virginia						
Docente supe	rvisor:	Falquez Torres Daniel Andres						
Fecha de ejec	ución:	4 de septiembre del 2024						
Fecha de final	ización:	4 de septiembre del 2024						
Descripción	Piedra Chispa 2							

Análisis Granulométrico por tamizado ASTM C-136

Tamiz	Abertura (mm)	Masa ret (g)	% Ret	% Ret Acum.	%Pasa. Acumulado	Tamiz	NTE INEN %Pasa. Acui	
3/4	19,00	0,00	0,00	0,00	100,00	19,00	100,00	100,00
1/2	12,50	0,00	0,00	0,00	100,00	12,50	100,00	100,00
3/8	9,50	310,50	25,27	25,27	74,73	9,50	40,00	85,00
No. 4	4,75	791,78	64,44	89,71	10,29	4,75	0,00	15,00
No. 8	2,36	116,64	9,49	99,20	0,80	2,36	0,00	5,00
Fondo		9.87	0.80	100.00	0.00			

Elaborado por: Errazuriz y Romero (2024).

Total

Tabla 30: Cálculo del porcentaje de error del ensayo de granulometría de la piedra chispa

1228,79

Masa inicial:	1229,30
Masa final:	1228,79
%Error	0,04

Curva Granulométrica Piedra Chispa 2

Piedra Chispa 2

Limite Inferior

Limite Superior

120,00

80,00

60,00

40,00

20,00

Abertura de Tamiz (mm)

Figura 16: Curva granulométrica de la piedra chispa

4.2.1.6 Resultados del Ensayo para Peso Unitario y Vacíos en los Agregados (Piedra Chispa).

Tabla 31: Resultados del ensayo para el peso volumétrico de la piedra chispa

Ensayo: PESO VOLUMÉTRICO									
Proyecto:	Diseño de bl	seño de bloque termoaislante con fibra de coco y bagazo de caña para viviendas de interés social							
Ubicación:	Guayaquil, p	ayaquil, provincia del Guayas							
Entidad:	Escuela Supe	cuela Superior Politécnica del Litoral-Facultad de Ingeniería en Ciencias de la Tierra (FICT) Laboratorio de Geotecnia y Construcción							
Nombre del estudiante responsable:	Errazuriz Car	rillo Norma N	laría y Romer	o Gómez Nat	haly Virginia				
Docente supervisor:	Falquez Torr	es Daniel And	dres						
Fecha de ejecución:	5 de septiem	bre del 2024							
Fecha de finalización:	5 de septiem	bre del 2024							
Descripción:	Piedra Chisp	a 2							
	Datos del recipiente de medida								
		Volumen	0,002868		Masa	1,580			
			Determinaci	ón de la mas	a suelta varill	ada			
	Prueba	Masa del r	ecipiente má	s agregado	agregado Masa del agrega		do		
		Suelto	Varillado		Suelto	Varillado			
	1	5,68		ŭ	4,10	4,51	Kg		
	2	5,68	6,09	Kg	4,10	4,51	Kg		
	3	5,67	6,04	Kg	4,09	4,46	Kg		
	Promedio	5,68	6,07	Kg	4,10	4,49	Kg		
			Determin	ación del pes	o volumétrio	0			
		Pru	eba	Pe	so volumétri	ico			
				Suelto	Varillado				
	1 1428,17 1573,92 Kg/m3								
		2	2	1430,96	1573,22	Kg/m3			
			3	1426,08	1553,70	Kg/m3			
		Prom	nedio	1428,41	1566,95	Kg/m3			

4.2.1.7 Resultados del Ensayo para Determinar la Densidad, Densidad Relativa (Gravedad Específica) y Absorción de Agregados Gruesos (Piedra Chispa).

Tabla 32: Gravedad específica y absorción del agregado grueso

Ensayo: GRAVEDAD ESPECÍFICA Y ABSORCIÓN DEL AGREGADO GRUESO							
Proyecto:	Diseño de blo	eño de bloque termoaislante con fibra de coco y bagazo de caña para viviendas de interés social					
Ubicación:	Guayaquil, pro	ovincia del G	Guayas				
Entidad:	Escuela Super	ior Politécni	ica del Litoral-Facultad de Ingeniería en Ciencias de la Tierra (FICT) Laboratorio de Geotecnia y Construcción				
Nombre del estudiante responsable:	Errazuriz Carri	llo Norma M	Aaría y Romero Gómez Nathaly Virginia				
Docente supervisor:	Falquez Torres	s Daniel And	dres				
Fecha de ejecución:	10 de septiem	bre del 2024	4				
Fecha de finalización	11 de septiem	bre del 202	4				
Descripción:	Piedra Chispa	2					
			Determinación de masas				
ID recipiente		C21					
Masa del recipiente		151,88	g				
Masa del recipiente más muestra SSS		1301,01	g				
Masa de la muestra SSS (B)		1149,13	g				
Masa de la muestra sumergida en agua	a (C)	754,16	g				
Masa del recipiente más muestra seca		1288,70	g				
Masa de la muestra seca (A)	Masa de la muestra seca (A) 1136,82 g						
		Det	erminación de la gravedad específica y absorción				
Gravedad específica SSS (B/(E	3-C))	2,91					
Absorción ((B-A)/A)*100		1,08	%				

4.2.1.8 Resultados del Ensayo de Granulometría de la Arena

Tabla 33: Resultados del ensayo de granulometría de la arena

	Ensayo: GRANULOMETRÍA							
Proyecto:	Diseño de bloque te	seño de bloque termoaislante con fibra de coco y bagazo de caña para viviendas de interés social						
Ubicación:	Guayaquil, provincia	uayaquil, provincia del Guayas						
Entidad:	Escuela Superior Po	scuela Superior Politécnica del Litoral						
Nombre del estudiante responsable: Errazuriz Carrillo Norma María y Romero Gómez Nathaly Virginia								
Docente supervis	sor:	Falquez Torres Daniel Andres						
Fecha de ejecuci	ón:	6 de septiembre del 2024						
Fecha de finaliza	ción:	6 de septiembre del 2024						
Descripción: Arena								

Análisis Granulométrico por tamizado ASTM C-136 NTE INEN 872 **Abertura** Masa ret %Pasa. Acumulado Tamiz % Ret % Ret Acum. Tamiz %Pasa. Acumulado (mm) (g) 4,75 5,50 99,56 9,50 100,00 No. 4 0,44 0,44 100,00 2,36 0,99 98,57 4,75 100,00 1,43 95,00 No. 8 12,40 No. 16 1,18 17,10 1,37 2,80 97,20 2,36 80,00 100,00 No. 30 0,60 36,80 2,94 5,74 1,18 50,00 85,00 94,26 12,52 60,00 No. 50 0,30 84,90 6,78 87,48 0,60 25,00 No. 100 0,15 850,20 67,89 80,41 19,59 0,30 5,00 30,00 Fondo 245,50 19,60 100,00 0,00

Elaborado por: Errazuriz y Romero (2024).

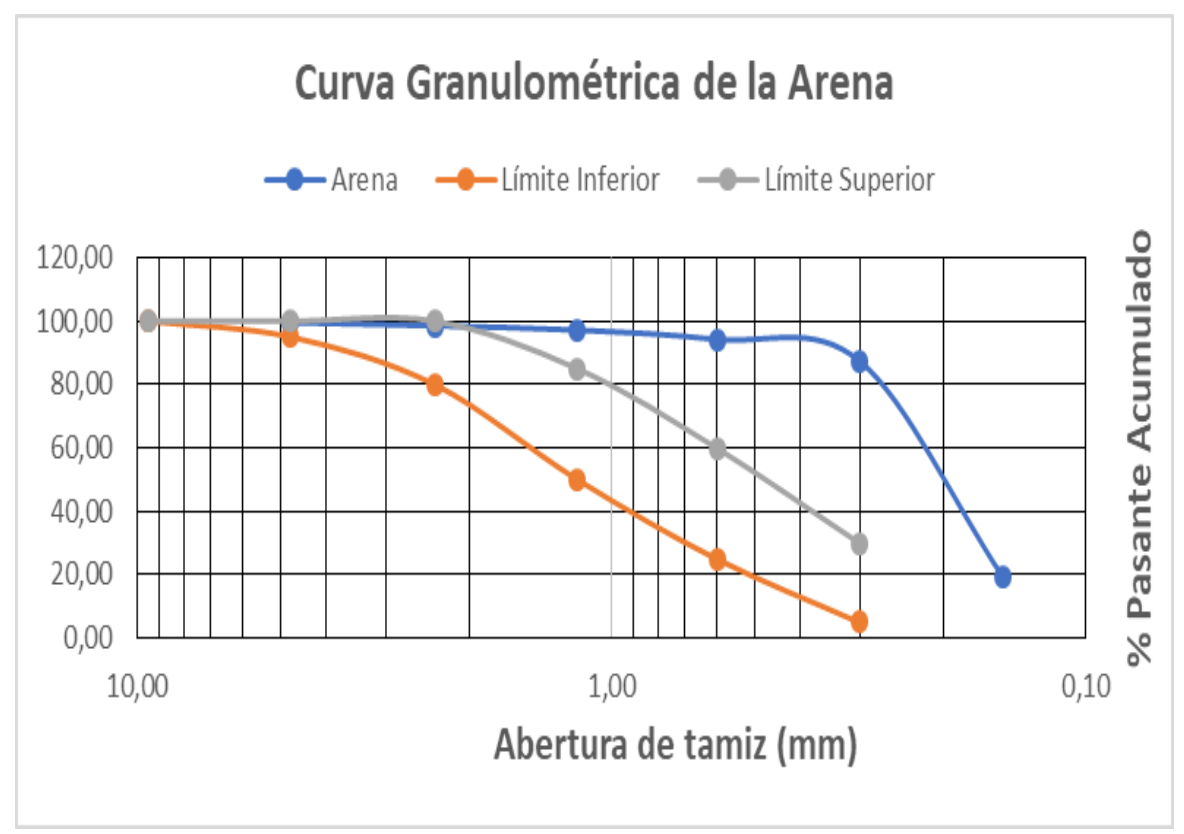
Total

Tabla 34: Cálculo del porcentaje de error del ensayo de granulometría de la arena

1252,40

Masa inicial:	1252,00
Masa final:	1252,40
%Error	0,03

Figura 17: Curva granulométrica de la arena



4.2.1.9 Resultados del Ensayo para Peso Unitario y Vacíos en los Agregados (Arena).

Tabla 35: Resultados del ensayo del peso volumétrico de la arena

	Ensayo: PESO VOLUMÉTRICO							
Proyecto:	Diseño de bl	seño de bloque termoaislante con fibra de coco y bagazo de caña para viviendas de interés social						
Ubicación:	Guayaquil, p	rovincia del 0	Guayas					
Entidad:	Escuela Supe	rior Palitéan	ica del Litoral	-Facultad de	Ingeniería en	Ciencias de l	a Tierra (FICT) Laboratorio de Geotecnia y Construcción
Nombre del estudiante responsable:	Errazuriz Car	rillo Norma N	María y Romer	o Gómez Nat	haly Virginia			
Docente supervisor:	Falquez Torr	es Daniel And	dres					
Fecha de ejecución:	6 de septiem	bre del 2024						
Fecha de finalización:	6 de septiem	bre del 2024						
Descripción:	Arena							
			Da	tos del recipi	ente de med	ida		
		Volumen	0,002868		Masa	1,580		
	,							•
			Determ	inación de la	masa suelta v	varillada .		
	Prueba	Masa del r	recipiente má	s agregado	Ma	asa del agrega	ido	
		Suelto	Varillado		Suelto	Varillado		
	1	4,95	5,30	Kg	3,37	3,72	Kg	
	2	4,95	5,32	Kg	3,37	3,74	Kg	
	3	4,95	5,30	Kg	3,37	3,72	Kg	
	Promedio			Kg			Kg	
			Dete	rminación de	l peso volum	étrico		
			Prueba	Pe	eso volumétri	ico		
				Suelto	Varillado			
				1176,43	1296,37	Kg/m3		
				1176,43	1302,65	Kg/m3		
			3	1175,04	1298,47	Kg/m3		
	Promedio 1175,97 1299,16 Kg/m3							

4.2.1.10 Resultados del Ensayo para Determinar la Densidad, Densidad Relativa (Gravedad Específica) y Absorción de Agregados Finos (Arena).

Tabla 36: Resultados del ensayo de gravedad específica y absorción del agregado fino

		Ensayo: GR	IAVEDAD ESPECÍFICA Y ABSORCIÓN DEL AGREGADO FINO	
Proyecto:	Diseño de bl		islante con fibra de coco y bagazo de caña para viviendas de interés social	
Ubicación:	Guayaquil, p	rovincia del (Guayas	
Entidad:	Escue la Supe	rior Polité cn	ica del Litoral-Facultad de Ingeniería en Ciencias de la Tierra (FICT) Laboratorio de Geotecnia y Construcción	
Nombre del estudiante responsable:	Errazuriz Can	rillo Norma N	Aaría y Romero Gómez Nathaly Virginia	
Docente supervisor:	Falquez Torn	es Daniel And	dres	
Fecha de ejecución:	10 de septier	mbre del 202	4	
Fecha de finalización	13 de septier	mbre del 202	4	
Descripción:	Arena			
			Determinación de masas	
ID recipiente		19,00		
Masa del recipiente		148,80	g	
Masa de la muestra SSS (S)		500,00	g	
Masa del frasco volumétrico + agua + m	Masa del frasco volumétrico + agua + muestra (C) 1550,70 g			
Masa del frasco volumétrico + agua (B)		1246,20	g	
Masa de la muestra seca al homo + rec	Masa de la muestra seca al horno + recipiente 635,90 g			
Masa de la muestra seca (A)	Wasa de la muestra seca (A) 487,10 g			
Determinación de la gravedad específica y absorción				
Gravedad específica SSS (S/(B+	S-C))	2,56		
Absorción ((S-A)/A)*100		2,65	%	

4.2.2 Resultados del Contenido de Humedad de los Bloques

Figura 18: Peso del bloque seco Inicial

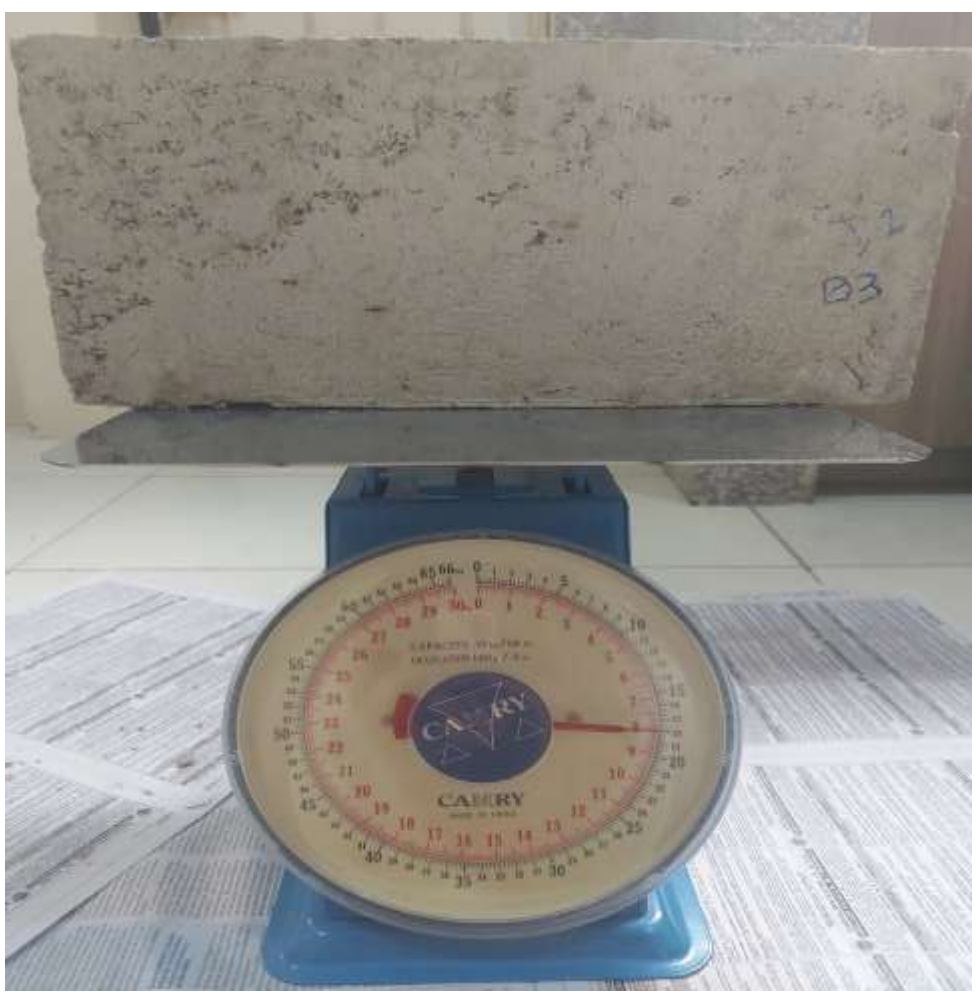


Figura 19: Bloques sumergidos en agua por 24 horas



Figura 20: Peso del bloque superficialmente saturado

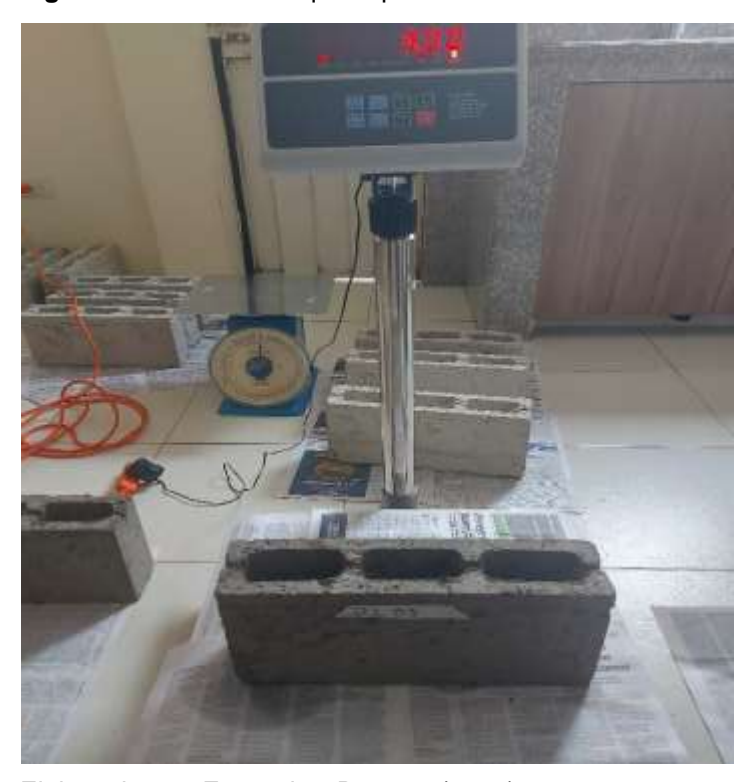


Tabla 37: Dimensiones de las muestras de la Dosificación 0:

Dosificación 0	No.1	No.2	No.3
Ancho (W): mm			
Borde superior:	90	89	90
Fondo:	93	100	90
Altura (H): mm			
Cara 1:	191	190	190
Cara 2:	190	190	190
Largo (L): mm			
Cara 1:	385	386	385
Cara 2:	385	386	385
Espesor de pared (Ep): mm			
Cara 1:	20	20	19
Cara 2:	20	19	20
Espesor de tabique (Et): mm			
Tabique 1:	20	20	20
Tabique 2:	25	20	22
Tabique 3:	25	25	20
Tabique 4:	25	22	23

Tabla 38: Unidades para determinar el contenido de humedad de la Dosificación 0

	No.1	No.2	No.3
Masa de la muestra	7,60	7,70	8,50
seca (kg) (Mi)			
Masa de la muestra	8,50	8,50	9,40
saturada (kg) (Ms)			
%Humedad	11,84	10,39	9,89

Elaborado por: Errazuriz y Romero (2024).

Figura 21: Contenido de humedad de los bloques de la Dosificación 0

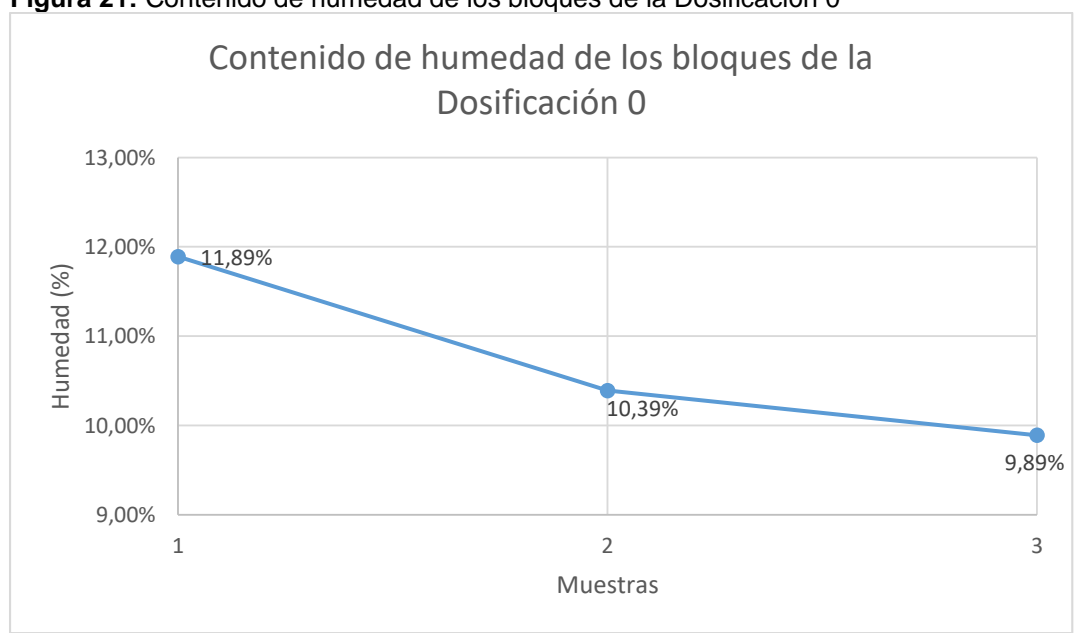


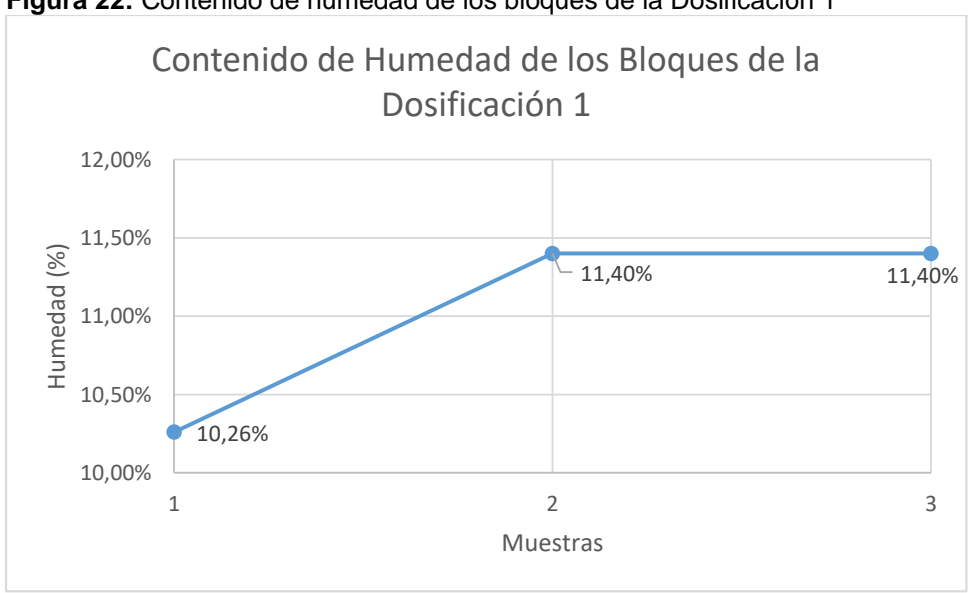
Tabla 39: Dimensiones de las muestras de la Dosificación 1

Dosificación 1	No.1	No.2	No.3
Ancho (W): mm			
Borde superior:	89	89	90
Fondo:	88	92	95
Altura (H): mm			
Cara 1:	190	185	194
Cara 2:	190	190	191
Largo (L): mm			
Cara 1:	385	385	385
Cara 2:	385	385	385
Espesor de pared (Ep): mm			
Cara 1:	19	20	20
Cara 2:	19	20	20
Espesor de tabique (Et): mm			
Tabique 1:	25	25	20
Tabique 2:	23	23	20
Tabique 3:	23	20	22
Tabique 4:	19	22	21

Tabla 40: Unidades para determinar el contenido de humedad de la Dosificación 1

	No.1	No.2	No.3
Masa de la muestra	7,80	7,90	7,90
seca (kg)			
Masa de la muestra	8,60	8,8	8,8
saturada (kg) (Ms)			
%Humedad	10,26	11,40	11,40

Figura 22: Contenido de humedad de los bloques de la Dosificación 1



Elaborado por: Errazuriz y Romero (2024).

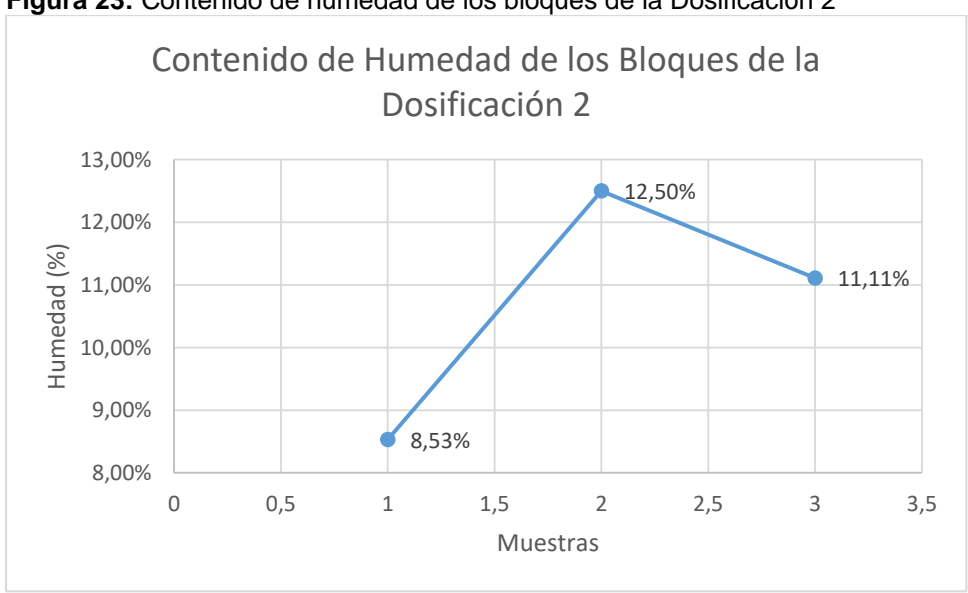
Tabla 41: Dimensiones de las muestras de la Dosificación 2

Dosificación 2	No.1	No.2	No.3
Ancho (W): mm			
Borde superior:	90	90	90
Fondo:	92	93	94
Altura (H): mm			
Cara 1:	196	195	193
Cara 2:	196	195	192
Largo (L): mm			
Cara 1:	385	385	385
Cara 2:	385	385	385
Espesor de pared (Ep): mm			
Cara 1:	18	20	20
Cara 2:	20	20	20
Espesor de tabique (Et): mm			
Tabique 1:	20	21	20
Tabique 2:	20	20	20
Tabique 3:	21	21	20
Tabique 4:	19	19	20

Tabla 42: Unidades para determinar el contenido de humedad de la Dosificación 2

	No.1	No.2	No.3
Masa de la muestra	8,2	8	8,1
seca (kg)			
Masa de la muestra	8,90	9	9
saturada (kg) (Ms)			
%Humedad	8,53	12,5	11,11

Figura 23: Contenido de humedad de los bloques de la Dosificación 2



Elaborado por: Errazuriz y Romero (2024).

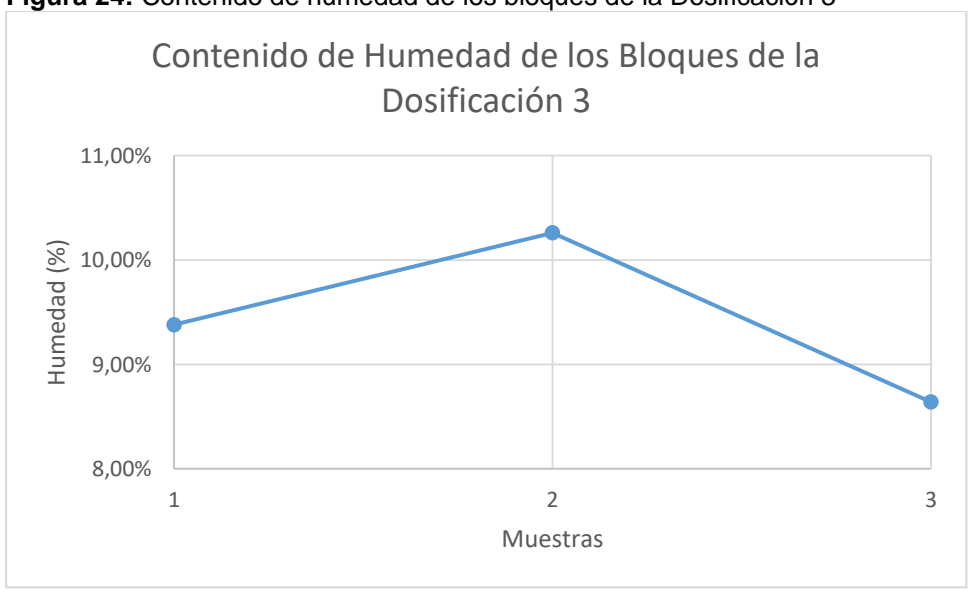
Tabla 43: Dimensiones de las muestras de la Dosificación 3

Dosificación 3	No.1	No.2	No.3
Ancho (W): mm			
Borde superior:	90	90	90
Fondo:	90	95	93
Altura (H): mm			
Cara 1:	185	188	185
Cara 2:	185	185	185
Largo (L): mm			
Cara 1:	385	384	385
Cara 2:	385	384	385
Espesor de pared (Ep): mm			
Cara 1:	20	18	20
Cara 2:	20	18	20
Espesor de tabique (Et): mm			
Tabique 1:	25	22	20
Tabique 2:	25	22	25
Tabique 3:	24	19	25
Tabique 4:	20	19	20

Tabla 44: Unidades para determinar el contenido de humedad de la Dosificación 3

	No.1	No.2	No.3
Masa de la muestra	8,00	7,8	8,1
seca (kg)			
Masa de la muestra	8,75	8,60	8,80
saturada (kg) (Ms)			
%Humedad	9,38	10,26	8,64

Figura 24: Contenido de humedad de los bloques de la Dosificación 3



Elaborado por: Errazuriz y Romero (2024).

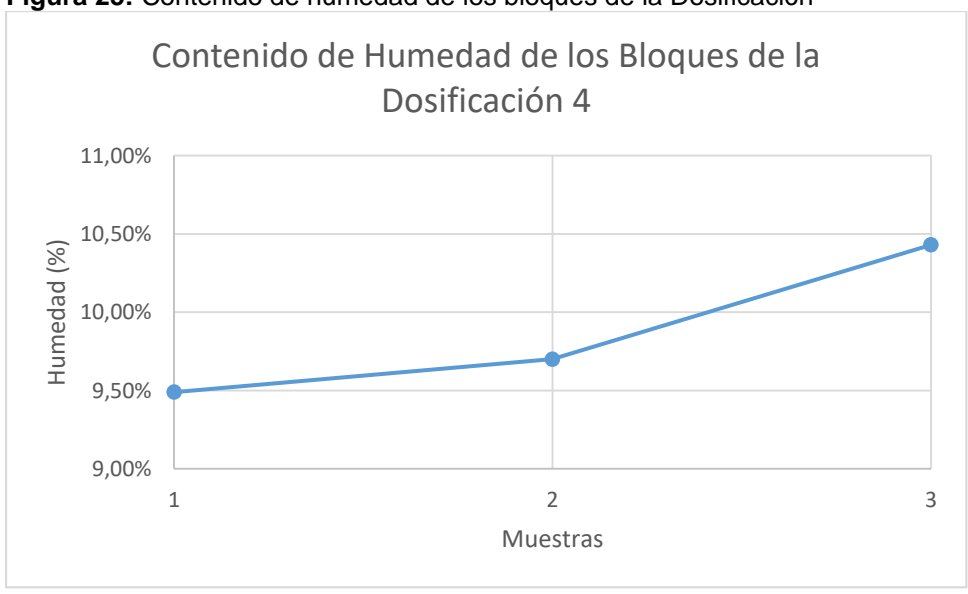
Tabla 45: Dimensiones de las Muestras para el Ensayo de Absorción de la Dosificación 4

Dosificación 4	No.1	No.2	No.3
Ancho (W): mm			
Borde superior:	90	90	90
Fondo:	100	100	92
Altura (H): mm			
Cara 1:	185	182	181
Cara 2:	185	182	181
Largo (L): mm			
Cara 1:	385	385	385
Cara 2:	385	385	385
Espesor de pared (Ep): mm			
Cara 1:	20	21	20
Cara 2:	20	20	20
Espesor de tabique (Et): mm			
Tabique 1:	20	25	20
Tabique 2:	20	22	23
Tabique 3:	25	25	25
Tabique 4:	22	20	23

Tabla 46: Unidades para el Ensayo de Absorción de la Dosificación 4

	No.1	No.2	No.3
Masa de la muestra seca (kg)	7,90	8,25	8,15
Masa de la muestra saturada (kg) (Ms)	8,65	9,05	9,00
%Humedad	9,49	9,70	10,43

Figura 25: Contenido de humedad de los bloques de la Dosificación



Elaborado por: Errazuriz y Romero (2024).

La tasa promedio de absorción de humedad de las dosificaciones 0, 1, 2, 3 y 4 fue de 10.71%, 11.02%, 10.71%, 9.42% y 9.87%, respectivamente, por lo tanto, la dosificación con la menor tasa de absorción correspondió a la dosificación 3.

4.2.3 Resultados del Ensayo de Resistencia a Compresión

Dosificación 0

Tabla 47: Resultados del ensayo de resistencia a compresión de la Dosificación 0 a los 28 días

Dosificación	Elaboración	Rotura	Peso de la	Carga	Área	Resistencia
F.C=0% y			muestra	máxima	(<i>mm</i> ²)	(MPA)
B.C=A 0%				(N)		
Bloque No.1	12 de oct del	12 de	8.75	132520	37017.6	3.58
	2024	nov del				
		2024				

Bloque No.2	12 de oct del	12 de	8,75	146407	35150.5	4.17
	2024	nov del				
		2024				
Bloque No.3	12 de oct del	12 de	8,20	132982	34804	3.82
	2024	nov del				
		2024				

Bloque 1:

Área= 37017,6 mm2; h=200 mm.

Tabla 48: Datos obtenidos del ensayo de resistencia a compresión de D0-B1

abia 40. Datos obtenidos del ensayo de resistencia a compresión de Do Br						
Tiempo	Fuerza (N)	Esfuerzo (σ)	Deformación (mm)	Deformación unitaria (ε)		
0	3,576279	9,66102E-05	0	0		
15	11,52356	0,000311299	0,23225	0,00116125		
30	27380,63	0,739665186	1,6205	0,0081025		
45	82419,23	2,226487671	2,376375	0,011881875		
55	119330,9	3,223626059	2,899375	0,014496875		
57	126533	3,418184863	3,054875	0,015274375		
59	132278,4	3,573392116	3,299375	0,016496875		
59,3	132519,6	3,579907936	3,370625	0,016853125		
60	116734	3,153472943	3,968	0,01984		
60,3	67379,23	1,820194448	4,709125	0,023545625		
60,6	58586,44	1,582664462	5,3475	0,0267375		
60,9	53372,07	1,441802548	5,977	0,029885		
61,2	42858,76	1,15779413	6,6295	0,0331475		
61,32	39930,26	1,078683113	6,887375	0,034436875		
Fuerza Máx	132520		_			
Esfuerzo Máx.	3,580					

Bloque 2: Área= 35150 mm2; h=200 mm.

Tabla 49: Datos obtenidos del ensayo de resistencia a compresión de D0-B2

Tiempo	Fuerza (N)	Esfuerzo	Deformación (mm)	Deformación unitaria
0	6,278356	0,000178616	0	0
15	36,39857	0,001035521	0,231875	0,001159375
30	41,64378	0,001184745	0,481125	0,002405625
45	41,96167	0,001193789	0,7305	0,0036525
60	17123,22	0,487147084	1,671375	0,008356875
75	72067,89	2,05029559	2,59075	0,01295375
90	127431,5	3,625362731	3,31925	0,01659625
93	138358,6	3,936233286	3,530625	0,017653125
96	146406,4	4,165189189	3,92875	0,01964375
96,2	145972,1	4,15283357	4,001875	0,020009375
96,4	143380,6	4,079106686	4,1005	0,0205025
96,6	135640,8	3,858913229	4,365375	0,021826875
96,8	107614,3	3,061573257	4,819125	0,024095625
97	89616,54	2,549545946	5,256625	0,026283125
97,2	73906,98	2,102616785	5,711751	0,028558755
97,4	61103,11	1,738353058	6,1415	0,0307075
97,68	52364,43	1,489741963	6,721251	0,033606255
Fuerza Máx	146406,4			
Esfuerzo Máx.	4,165			

Elaborado por: Errazuriz y Romero (2025).

Bloque 3: Área= 34804 mm2; h=200 mm.

Tabla 50: Datos obtenidos del ensayo de resistencia a compresión de D0-B3

		•	•	
Tiempo	Fuerza (N)	Esfuerzo	Deformación (mm)	Deformación unitaria
0	25,90815	0,000744402	0	0
5	43,94849	0,001262743	0,06550001	0,0003275
10	91,9501	0,002641941	0,14875	0,00074375
15	13686,97	0,393258534	1,26175	0,00630875
20	31979,48	0,91884496	1,895125	0,009475625
25	50303,94	1,445349385	2,313875	0,011569375
30	68745,77	1,975226123	2,665875	0,013329375
35	87235,77	2,506486898	3,00025	0,01500125
40	105649,6	3,035559131	3,3185	0,0165925
45	123769	3,556171704	3,724375	0,018621875
47	130882,5	3,760559131	3,961	0,019805
47,5	132082,5	3,795037927	4,033	0,020165
48	132761,5	3,814547178	4,141875	0,020709375
48,37	132981,7	3,820874037	4,26725	0,02133625
48,5	132552,1	3,808530629	4,3205	0,0216025
49	131218,9	3,770224687	4,653125	0,023265625
49,5	112917,7	3,244388576	5,596125	0,027980625
50,5	18375,4	0,52796805	7,896626	0,03948313
51	16412,26	0,471562464	8,942	0,04471
51,11	15329,28	0,440445926	9,1905	0,0459525
Fuerza Máx	132981,7			
Esfuerzo Máx.	3,821			

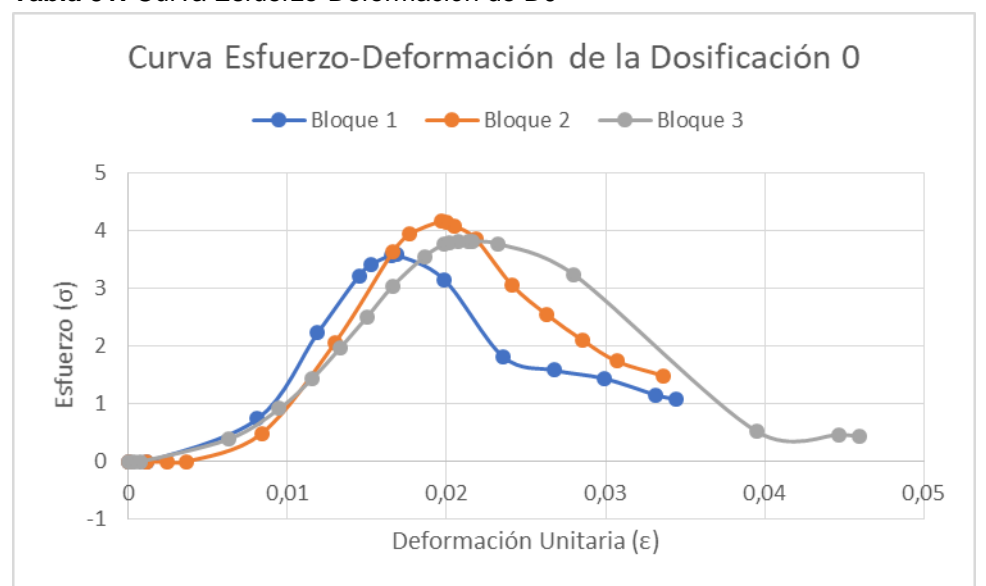


Tabla 51: Curva Esfuerzo-Deformación de D0

Dosificación 1

Tabla 52: Resultados del ensayo de resistencia a compresión de la dosificación 1 a los 28 días

Dosificación	Elaboración	Rotura	Peso de la	Carga	Área	Resistencia
F.C=0.5% y			muestra	máxima	(mm^2)	(MPA)
B.C. A= 2%				(N)		
Bloque No.1	15 de dic del	15 de	8,40	113181	36086,05	3,14
	2024	ene del				
		2024				
Bloque No.2	15 de dic del	15 de	8,40	82737.80	36349.62	2,28
	2024	ene del				
		2024				
Bloque No.3	15 de dic del	15 de	8,45	126244	35449.2	3,56
	2024	ene del				
Flah and da nami		2024				

Bloque 1: Área= 36086 mm2; h=200 mm.

Tabla 53: Datos obtenidos del ensayo de resistencia a compresión de D1-B1

	0 0.0101110101	5 di 51 i 51 i 5 di 5		
Tiempo	Fuerza (N)	Esfuerzo (σ)	Deformación (mm)	Deformación unitaria (ε)
0	-2,940496	-8,14858E-05	0	0
15	23,36502	0,000647482	0,232875	0,001164375
30	27,57708	0,000764204	0,48225	0,00241125
45	1705,249	0,04725514	0,983875	0,004919375
60	56171,42	1,556598681	2,736625	0,013683125
75	109874,2	3,044787452	3,958	0,01979
75,5	111504,6	3,089968409	4,073	0,020365
76	112994,8	3,131264202	4,22875	0,02114375
76,1	113087,9	3,13384415	4,26725	0,02133625
76,2	113145,4	3,135437566	4,30825	0,02154125
76,28	113180,6	3,136413013	4,34275	0,02171375
76,31	113147,4	3,135492989	4,356375	0,021781875
76,4	112594,8	3,120179571	4,397375	0,021986875
76,8	110074,8	3,050346395	4,765625	0,023828125
78	57149,41	1,583700327	7,25475	0,03627375
79	34012	0,942526187	9,31025	0,04655125
80	25875,89	0,717061741	11,34	0,0567
80,49	22511,8	0,623837499	12,33038	0,0616519
Fuerza Máx	113180,6	•		
Esfuerzo Máx.	3,136			

Elaborado por: Errazuriz y Romero (2025).

Bloque 2:

Área= 36349,62 mm2; h=200 mm.

Tabla 54: Datos obtenidos del ensayo de resistencia a compresión de D1-B2

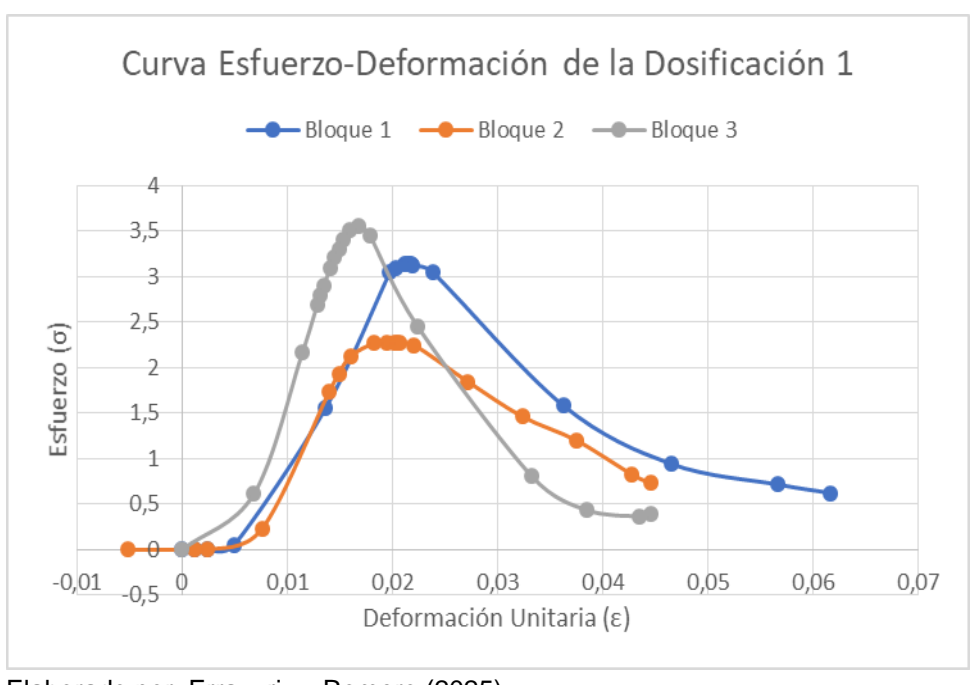
		•	•	
Tiempo	Fuerza (N)	Esfuerzo (σ)	Deformación (mm)	Deformación unitaria (ε)
0	0	0	-1,033147	-0,005165735
15	25,82868	0,000710563	0,23325	0,00116625
30	28,76917	0,000791457	0,482625	0,002413125
45	8326,451	0,229065696	1,523375	0,007616875
60	63039,54	1,734255819	2,800625	0,014003125
62	70326,97	1,93473742	2,98475	0,01492375
64	77410,54	2,129610708	3,215	0,016075
66	82477,57	2,269007764	3,656875	0,018284375
66,5	82459,21	2,268502669	3,89425	0,01947125
66,7	82679,12	2,274552526	4,04175	0,02020875
66,76	82737,77	2,276166023	4,09675	0,02048375
66,8	82705,1	2,275267252	4,1375	0,0206875
67	81710,34	2,247900803	4,41675	0,02208375
67,5	67096,63	1,845868815	5,440625	0,027203125
68	53125,46	1,46151349	6,47925	0,03239625
68,5	43538,49	1,197770156	7,5165	0,0375825
69	30016,34	0,825767642	8,563375	0,042816875
69,18	26492,91	0,728835955	8,926625	0,044633125
Fuerza Máx	82737,77			
Esfuerzo Máx.	2,276			

Bloque 3: Área= 35449,2 mm2; h=200 mm.

Tabla 55: Datos obtenidos del ensayo de resistencia a compresión de D1-B3

Tiempo	Fuerza (N)	Esfuerzo (σ)	Deformación (mm)	Deformación unitaria (ε)
0	1,986821	5,6047E-05	0	0
15	21666,45	0,61119715	1,368	0,00684
30	76725,16	2,164369295	2,292375	0,011461875
35	95190,05	2,685252418	2,5735	0,0128675
36	98889,98	2,789625154	2,632375	0,013161875
37	102570,1	2,893439062	2,69375	0,01346875
39	109880,6	3,099663744	2,827875	0,014139375
40	113610,8	3,204890378	2,90225	0,01451125
41	117254,2	3,307668438	2,984125	0,014920625
42	120846	3,408990894	3,078625	0,015393125
43	124255,9	3,505182063	3,19275	0,01596375
44	126243,5	3,56125103	3,36075	0,01680375
44,5	122529,2	3,456472925	3,569625	0,017848125
45	86869,24	2,450527515	4,487	0,022435
46	28574,39	0,806065863	6,65725	0,03328625
46,5	15470,5	0,436413234	7,6985	0,0384925
47	13018,13	0,367233393	8,709001	0,043545005
47,11	13832,17	0,390196958	8,9235	0,0446175
Fuerza Máx	126243,5			
Esfuerzo Máx.	3.561			

Figura 26: Curva Esfuerzo-Deformación de D1



Dosificación 2

Tabla 56: Resultados del Ensayo de Resistencia a Compresión de la Dosificación 2 a los 28 días

Dosificación	Elaboración	Rotura	Peso de la	Carga	Área	Resistencia
F.C 0.5% y			muestra	máxima	(mm^2)	(MPA)
BCA 3%				(N)		
Bloque No.1	16 de dic del	17 de	8,30	84035.2	40751.1	2.06
	2024	ene del				
		2025				
Bloque No.2	16 de dic del	17 de	8,30	88504.6	38545.2	2.29
	2024	ene del				
		2025				
Bloque No.3	16 de dic del	17 de	8,30	72614.8	38866.4	1.86
	2024	ene del				
		2025				

Elaborado por: Errazuriz y Romero (2024).

Bloque 1:

Área= 40751,1 mm2; h=200 mm.

Tabla 57: Datos obtenidos del ensayo de resistencia a compresión de D2-B1

Tiempo	Fuerza (N)	Esfuerzo (σ)	Deformación (mm)	Deformación unitaria (ε)
0	0,7947286	1,9502E-05	0	0
15	18,91454	0,000464148	0,23275	0,00116375
30	29,16654	0,000715724	0,482125	0,002410625
45	26,62341	0,000653318	0,731375	0,003656875
60	28,76917	0,000705973	0,98075	0,00490375
75	5495,866	0,134864237	1,649875	0,008249375
90	60272,86	1,479048664	2,9685	0,0148425
95	78171,66	1,918271163	3,447375	0,017236875
96	81226,67	1,99323871	3,59775	0,01798875
97	84012,83	2,061608889	3,834625	0,019173125
97,07	84035,16	2,06215685	3,859375	0,019296875
97,5	82633,41	2,027759005	4,054125	0,020270625
98	60709,08	1,48975316	4,876	0,02438
98,5	42724,53	1,048426423	5,921875	0,029609375
98,7	39002,58	0,957092692	6,33525	0,03167625
99	34145,52	0,837904253	6,958125	0,034790625
99,2	30676,92	0,752787532	7,375125	0,036875625
99,41	26825,75	0,658282844	7,809625	0,039048125
Fuerza Máx	84035,16	_	_	
Esfuerzo Máx.	2,062			

Bloque 2: Área= 38545,2 mm2; h=200 mm.

Tabla 58: Datos obtenidos del ensayo de resistencia a compresión de D2-B2

Tiempo	Fuerza (N)	Esfuerzo (σ)	Deformación (mm)	Deformación unitaria (ε)
0	5,960464	0,000154636	0	0
15	16,84825	0,000437104	0,232625	0,001163125
30	20,58347	0,000534009	0,482	0,00241
40	17,96087	0,000465969	0,64825	0,00324125
60	26836,08	0,696223654	1,849875	0,009249375
70	63599,98	1,650010377	2,591625	0,012958125
74	78080,89	2,025696844	2,94225	0,01471125
75	81655,03	2,118422787	3,063	0,015315
77	87734,15	2,276136847	3,405375	0,017026875
77,2	88113,07	2,285967384	3,46475	0,01732375
77,3	88326,77	2,291511524	3,49775	0,01748875
77,52	88504,63	2,296125847	3,581125	0,017905625
78	87234,26	2,263167917	3,83775	0,01918875
78,1	86302,44	2,238993182	3,94475	0,01972375
78,2	84370,85	2,188880846	4,102375	0,020511875
79	45553,84	1,181829125	5,811875	0,029059375
79,1	43428,5	1,126690223	6,019	0,030095
79,2	40978,27	1,063122516	6,226875	0,031134375
79,3	38063,61	0,987505837	6,435125	0,032175625
79,4	35532,63	0,921843187	6,643875	0,033219375
79,55	32358,09	0,839484294	6,946625	0,034733125
Fuerza Máx	88504,63			
Esfuerzo Máx.	2,296			

Elaborado por: Errazuriz y Romero (2025).

Bloque 3:

Área= 38866,41 mm2; h=200 mm.

Tabla 59: Datos obtenidos del ensayo de resistencia a compresión de D2-B3

Tiempo	Fuerza (N)	Esfuerzo (σ)	Deformación (mm)	Deformación unitaria (ε)
0	-2,145767	-5,52088E-05	0	0
15	12863,16	0,330958275	1,290625	0,006453125
30	67440,11	1,735177239	3,130875	0,015654375
30,5	69018,76	1,775794574	3,206625	0,016033125
31	70659,4	1,81800686	3,29775	0,01648875
31,2	71303,92	1,834589817	3,339375	0,016696875
31,3	71599,16	1,842186093	3,36175	0,01680875
31,4	71882,33	1,849471819	3,3855	0,0169275
31,5	72144,51	1,85621749	3,410875	0,017054375
31,6	72372,04	1,862071645	3,438375	0,017191875
31,7	72553,31	1,866735569	3,468375	0,017341875
31,79	72614,75	1,868316369	3,498375	0,017491875
31,9	72509,69	1,865613263	3,540625	0,017703125
32	71951,07	1,851240441	3,58575	0,01792875
32,2	69764,62	1,794984924	3,709	0,018545
32,6	59236,45	1,524103976	4,319625	0,021598125
33	40035,73	1,030085619	5,192625	0,025963125
34	25592,8	0,658481192	7,254251	0,036271255
35	16999,8	0,437390539	9,314	0,04657
35,14	16162,87	0,415857034	9,598875	0,047994375
Fuerza Máx	72614,75			
Esfuerzo Máx.	1,868			

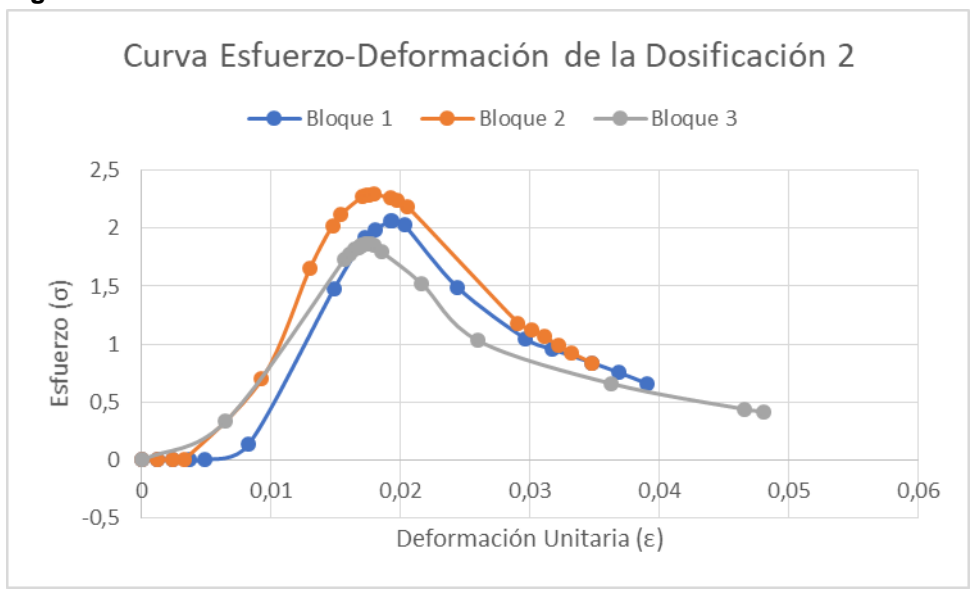


Figura 27: Curva Esfuerzo-Deformación de D2

Según la gráfica de la dosificación 1 de los tres bloques indicó que la fuerza máxima en el bloque 1 fue de 84035,16 N con un esfuerzo máximo de 2,062 Mpa, en el bloque 2 la fuerza máxima fue de 88504,63 N con un esfuerzo máximo de 2,296 Mpa y en el bloque 3 fue de 72614,75 N con un esfuerzo máximo de 1,868 Mpa.

Dosificación 3

Tabla 60: Resultados del ensayo de resistencia a compresión de la Dosificación 3 a los 28 días

Dosificación	Elaboración	Rotura	Peso de la	Carga	Área	Resistencia
F.C=0,5% y			muestra	máxima	(mm ²)	(MPA)
B.C. A=3.5%				(N)		
Bloque No.1	16 de dic del	17 de	8,30	104388	37861.5	2.76
	2024	ene del				
		2025				
Bloque No.2	16 de dic del	17 de	8,30	90908.5	38351.7	2.37
	2024	ene del				
		2025				
Bloque No.3	16 de dic del	17 de	8,30	100987	36674.7	2.66
	2024	ene del				
		2025				

Bloque 1:

Área= 37861,5 mm2; h=200 mm.

Tabla 61: Datos obtenidos del ensayo de resistencia a compresión de D3-B1

Tiempo	Fuerza (N)	Esfuerzo (σ)	Deformación (mm)	Deformación unitaria (ε)
0	349,0448	0,00921899	0,000125	0,000000625
15	44180,47	1,16689698	1,945	0,009725
16	47876,44	1,264515141	2,0205	0,0101025
17	51534,42	1,361129908	2,0925	0,0104625
20	62501,51	1,650793286	2,3055	0,0115275
20,5	64345,68	1,699501605	2,341125	0,011705625
22	69874,52	1,845529628	2,4485	0,0122425
24	77218,29	2,039493681	2,597	0,012985
26	84561,67	2,233447433	2,760375	0,013801875
28	91806,41	2,424795901	2,949625	0,014748125
30	98451,38	2,60030321	3,19775	0,01598875
31	101899,9	2,691385708	3,36225	0,01681125
31,4	103135,5	2,724020443	3,448875	0,017244375
31,7	103892,3	2,744009086	3,52875	0,01764375
32,12	104388,2	2,757106824	3,674875	0,018374375
32,4	103552,4	2,735031628	3,7985	0,0189925
32,8	97539,58	2,576220699	4,23875	0,02119375
33	81063,2	2,141045653	4,685	0,023425
33,5	47722,1	1,260438704	5,774375	0,028871875
33,73	36528,9	0,964803296	6,25375	0,03126875
Fuerza Máx	104388,2			
Esfuerzo Máx.	2,757			

Elaborado por: Errazuriz y Romero (2025).

Bloque 2:

Área= 38351,7mm2; h=200 mm.

Tabla 62: Datos obtenidos del ensayo de resistencia a compresión de D3-B2

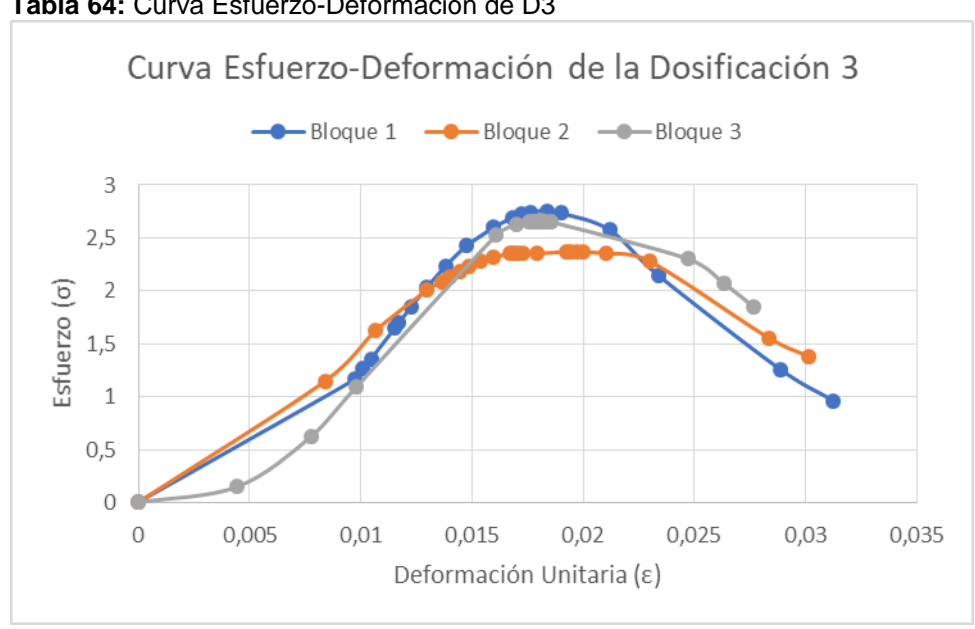
Tiempo	Fuerza (N)	Esfuerzo (σ)	Deformación (mm)	Deformación unitaria (ε)
0	324,4877	0,008460843	0	0
15	44097,9	1,149829082	1,67875	0,00839375
20	62344,47	1,625598604	2,131	0,010655
24	76885,06	2,004736687	2,593	0,012965
25	80135,98	2,089502682	2,7285	0,0136425
25,5	81969,19	2,137302649	2,80425	0,01402125
26	83795,63	2,184926092	2,887125	0,014435625
26,5	85577,64	2,231391047	2,97825	0,01489125
27	87323,67	2,276917842	3,07775	0,01538875
27,5	88962,23	2,319642415	3,192875	0,015964375
28	90201,54	2,351956758	3,33775	0,01668875
28,1	90323,61	2,355139668	3,37375	0,01686875
28,2	90421,6	2,357694705	3,412125	0,017060625
28,3	90424,62	2,357773449	3,45325	0,01726625
28,6	90310,98	2,354810347	3,5845	0,0179225
29	90891,05	2,369935361	3,844875	0,019224375
29,04	90908,52	2,370390882	3,88175	0,01940875
29,1	90810,22	2,367827763	3,943375	0,019716875
29,15	90683,86	2,364532993	4,000875	0,020004375
29,3	90288,56	2,354225758	4,211125	0,021055625
29,5	87526,48	2,282206004	4,59875	0,02299375
30	59719,25	1,557147402	5,670625	0,028353125
30,18	53023,18	1,382550969	6,0325	0,0301625
Fuerza Máx	90908,52			
Esfuerzo Máx.	2,370			

Bloque 3: Área= 37964,7 mm2; h=200 mm.

Tabla 63: Datos obtenidos del ensayo de resistencia a compresión de D3-B3

Tiempo	Fuerza (N)	Esfuerzo (σ)	Deformación (mm)	Deformación unitaria (ε)
0	210,0468	0,005532687	0	0
5	5785,227	0,152384373	0,886	0,00443
10	23720,5	0,624804094	1,549625	0,007748125
15	41723,73	1,099013821	1,963	0,009815
30	96050,42	2,529992862	3,220875	0,016104375
31	99578,62	2,622926561	3,395625	0,016978125
31,5	100747,3	2,653709894	3,52025	0,01760125
31,6	100887,8	2,6574107	3,552875	0,017764375
31,65	100899,4	2,657716247	3,5705	0,0178525
31,7	100928,3	2,65847748	3,588875	0,017944375
31,77	100987	2,660023654	3,6155	0,0180775
31,8	100969,8	2,659570601	3,627625	0,018138125
31,9	100906,9	2,657913799	3,668875	0,018344375
32	100724,7	2,653114604	3,710875	0,018554375
33	87394,32	2,301988953	4,94575	0,02472875
33,15	78605,49	2,070488902	5,267625	0,026338125
33,28	70346,59	1,852947343	5,532	0,02766
Fuerza Máx	100987			
Esfuerzo Máx.	2,660			

Tabla 64: Curva Esfuerzo-Deformación de D3



Dosificación 4

Tabla 65: Resultados del ensayo de resistencia a compresión de la Dosificación 4 a los 28 días

Dosificación	Elaboración	Rotura	Peso de la	Carga	Área	Resistencia
F.C=0,5% y			muestra	máxima	(<i>mm</i> ²)	(MPA)
B.C. A=3.5%				(N)		
(NaOH)						
Bloque No.1	16 de dic del	17 de	8,10	111630	37861.5	2.97
	2024	ene del				
		2025				
Bloque No.2	16 de dic del	17 de	8,10	127436	38351.7	3.44
	2024	ene del				
		2025				
Bloque No.3	16 de dic del	17 de	8,10	135072	36674.7	3.68
	2024	ene del				
		2025				

Elaborado por: Errazuriz y Romero (2024).

Bloque 1:

Área= 37604,79 mm2; h=200 mm.

Tabla 66: Datos obtenidos del ensayo de resistencia a compresión de D4-B1

Tiempo	Fuerza (N)	Esfuerzo (σ)	Deformación (mm)	Deformación unitaria (ε)
0	0,7152557	1,90203E-05	0,000125	0,000000625
5	22,57029	0,000600197	0,065125	0,000325625
15	118,2556	0,003144695	0,231375	0,001156875
30	53282,26	1,416900879	2,276125	0,011380625
40	89883,17	2,390205344	2,951	0,014755
45	106466,5	2,831195175	3,474125	0,017370625
45,2	107172,8	2,849977357	3,5175	0,0175875
45,4	107942,6	2,870448153	3,564375	0,017821875
45,8	109446,5	2,910440399	3,67	0,01835
46	110023,3	2,92577887	3,732375	0,018661875
46,2	110601,4	2,941151912	3,801875	0,019009375
46,4	110972,4	2,951017676	3,878875	0,019394375
46,6	111241,9	2,958184316	3,959375	0,019796875
46,8	111408,8	2,962622581	4,0485	0,0202425
46,9	111521,7	2,965624858	4,103125	0,020515625
47	111602,3	2,967768202	4,16675	0,02083375
47,03	111630	2,96850481	4,188	0,02094
47,2	111397,5	2,962322087	4,33575	0,02167875
47,4	109143,4	2,902380255	4,608625	0,023043125
47,8	98689,95	2,624398381	5,411625	0,027058125
48	91518,08	2,433681454	5,826875	0,029134375
49	45770,33	1,217140955	8,003125	0,040015625
49,2	43269,24	1,150631077	8,411876	0,04205938
Fuerza Máx	111630			
Esfuerzo Máx.	2,969			

Bloque 2:

Área= 37062,99 mm2; h=200 mm.

Tabla 67: Datos obtenidos del ensayo de resistencia a compresión de D4-B2

Tiempo	Fuerza (N)	Esfuerzo (σ)	Deformación (mm)	Deformación unitaria (ε)
0	3,258387	8,79148E-05	. ,	O
15	8,424123	0,000227292	0,232125	0,001160625
30	39,49801	0,0010657	0,481375	0,002406875
45	39121,47	1,055540041	1,79	0,00895
60	94381,8		2,628875	0,013144375
65	112796,9		2,950125	0,014750625
65,7	115313,9	3,111295122	3,00525	0,01502625
65,9	116040,6	3,130902283	3,021875	0,015109375
66,2	117132,1	3,160352146	3,0475	0,0152375
66,4	117865,7	3,180145477	3,065	0,015325
66,6	118595,8	3,199844373	3,083125	0,015415625
67	120042,8	3,238886015	3,120875	0,015604375
68	123471,2	3,331387996	3,229	0,016145
69	126047,7	3,400904784	3,367625	0,016838125
69,73	127435,5	3,438349146	3,546125	0,017730625
70	126529,5	3,413904275	3,652875	0,018264375
70,5	119523	3,224861243	4,13825	0,02069125
71	97243,63	2,623739477	5,166375	0,025831875
71,3	83888,53	2,263404275	5,793375	0,028966875
71,5	76042,97	2,051722487	6,2135	0,0310675
71,58		1,95029435	6,377125	0,031885625
Fuerza Máx	127435,5			
Esfuerzo Máx.	3,438			

Elaborado por: Errazuriz y Romero (2025).

Bloque 3:

Área= 36714,69 mm2; h=200 mm.

Tabla 68: Datos obtenidos del ensayo de resistencia a compresión de D4-B3

Tiempo	Fuerza (N)	Esfuerzo	Deformación (mm)	Deformación unitaria
0	-0,6357829	-1,73169E-05	0	0
5	11,36462	0,000309539	0,065875	0,000329375
10	25,51079	0,000694839	0,149	0,000745
15	64,1346	0,001746838	0,232125	0,001160625
20	5744,696	0,156468596	0,7566251	0,003783126
25	23914,34	0,651356174	1,30575	0,00652875
30	42138,02	1,147715533	1,626	0,00813
35	60440,38	1,646217904	1,8815	0,0094075
40	78887,06	2,148651126	2,124875	0,010624375
45	97386,76	2,652528457	2,381	0,011905
50	115812,7	3,154396782	2,679875	0,013399375
55	132735,4	3,615321279	3,179	0,015895
55,5	134199,9	3,655209945	3,28625	0,01643125
55,8	134885,6	3,673886393	3,3715	0,0168575
56,02	135072,2	3,678968827	3,45	0,01725
57	118393,1	3,224679277	4,489	0,022445
58	28996,87	0,789789319	6,751626	0,03375813
58,1	26216,11	0,714049608	6,965875	0,034829375
58,2	25454,2	0,693297424	7,178875	0,035894375
58,38	23205,52	0,632050005	7,559	0,037795
Fuerza Máx	135072,2			
Esfuerzo Máx.	3.679			

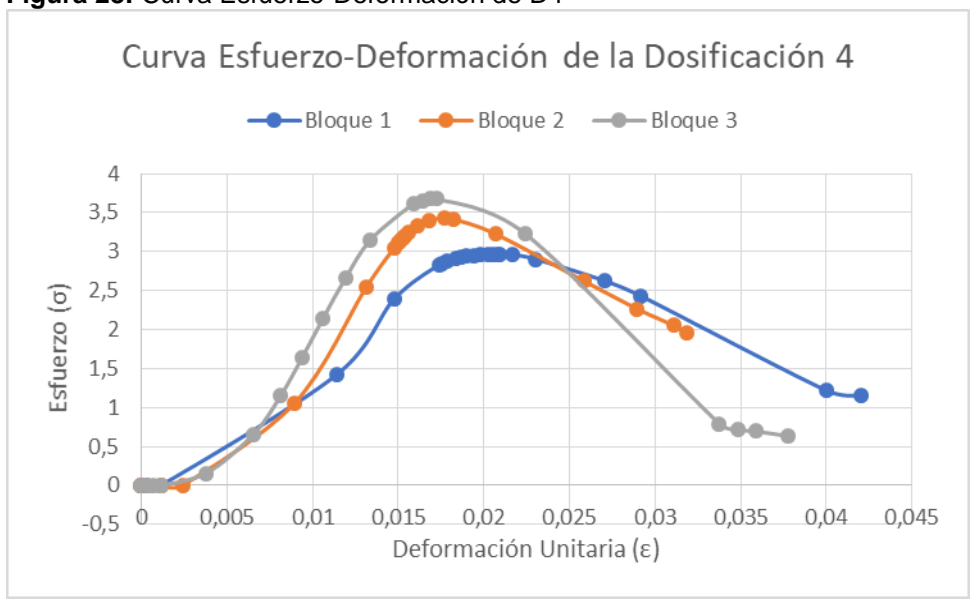


Figura 28: Curva Esfuerzo-Deformación de D4

Elaborado por: Errazuriz y Romero (2025).

Según la gráfica de la dosificación 1 de los tres bloques indicó que la fuerza máxima en el bloque 1 fue de 111630 N con un esfuerzo máximo de 2,969 Mpa, en el bloque 2 la fuerza máxima fue de 127435,5 N con un esfuerzo máximo de 3,438 Mpa y en el bloque 3 fue de 135072,2 N con un esfuerzo máximo de 3,679 Mpa. Esta fue la dosificación más óptima debido a que obtuvo la mayor resistencia a compresión promedio (3.36 MPA).

4.2.4 Resultados del Ensayo de Conductividad Térmica

Figura 29: Informe de resultados del ensayo de conductividad térmica (parte 1)

stítuto de Investigación eológico y Energético	E? FORM	SAYOS TÉRMICOS Y EFICIENCIA NERGÉTICA IATO TÉCNICO DE CONDUCTIVIDAD	LABET FT 05
Edición 3	Fecha de revisión: 2019/08/31	Fecha de aprobación: 2019/08/31	Pag 1 de 3

Guayaquil, 14 de febrero de 2025

Código de Solicitud S25-001

Atención: Nathaly Romero

Institución:

Teléfonos: +593 96 721 5576 Dirección: Guayaquil

e-mail:

Requerimiento:

Ensayo para la determinación de conductividad térmica en 1 muestra tipo hormigón ligero con mezcla de biomaterial. Las muestras tienen una geometría aproximada de 150 x 150 x 70 mm.

Métodología:

El ensayo para la determinación de conductividad térmica es fundamentado en el estándar ISO 8302 por el método de placa caliente resguardada. El procedimiento permite medir conductividad térmica desde 0,002 hasta 2,500 W/m-K. Los ensayos pueden ser ejecutados en un rango de temperatura desde 10°C hasta 40°C, con un diferencial de temperatura de 15°C (entre placas). El método muestra limitación sobre materiales heterogéneos o no isotrópicos. Las modificaciones al procedimiento estándar se listan en la hoja 2 del presente informe.

Equipamiento:

Equipo: Medidor de conductividad térmica de placa caliente

Modelo: λ-Meter EP500e, Version C.

Muestra de Verificación: Etal 210
Verificación: 2024-02-17
Accesorios: N.A.

Declaración:

- * Los Resultados del presente informe son atribuibles únicamente a la(s) muestra(s) ensayada(s).
- * El LABET no realiza procedimientos de muestreo.
- * Este informe no debe ser reproducido parcialmente sin autorización manifiesta del LABET.

Fuente: Laboratorio de Ensayos Térmicos y Eficiencia Energética LABET FT 05.

Figura 30: Informe de resultados del ensayo de conductividad térmica (parte 2)

Instituto de Investigación Geológico y Energético	EN FORM	SAYOS TÉRMICOS Y EFICIENCIA NERGÉTICA IATO TÉCNICO DE CONDUCTIVIDAD	LABET FT 05
Edición 3	Fecha de revisión: 2019/08/31	Fecha de aprobación: 2019/08/31	Pag 2 de 3

Código de Solicitud: S25-001

Condiciones y descripción de la(s) Muestra(s):

Código	Largo (mm)	Ancho (mm)	Espesor (mm)	Peso (g)	Densidad (kg/m³)	Fecha de recepción	Otros (Color, composición)
2501001	151	150	70,5	2345,0	1468,5	2025-02-11	Hormigón ligero con
3 11	(72)	3554	15 E	1776	ins (a.	mezcla de biomaterial
<u>a</u>	223	201	23	125	1227	23	ES.
81	100	223	24	- W	143	33	227
3 1		2	246	120	149	33	
	-	-	75	355	1773		-

Acondicionamiento de la(s) Muestra(s):

1 2501001	4	Equilibrio con el sitio de la prueba (24h)
2	5	55 pt (2, a)
3	6	

Modificaciones al procedimiento o a las muestras:

1 2501001	4	Aplicación de almohadillas de relleno y sensores adicionales tipo película.
2	5	Case / Appl Appl Appl Appl Appl Appl Appl Ap
3	6	

Condiciones ambientales de ensavo:

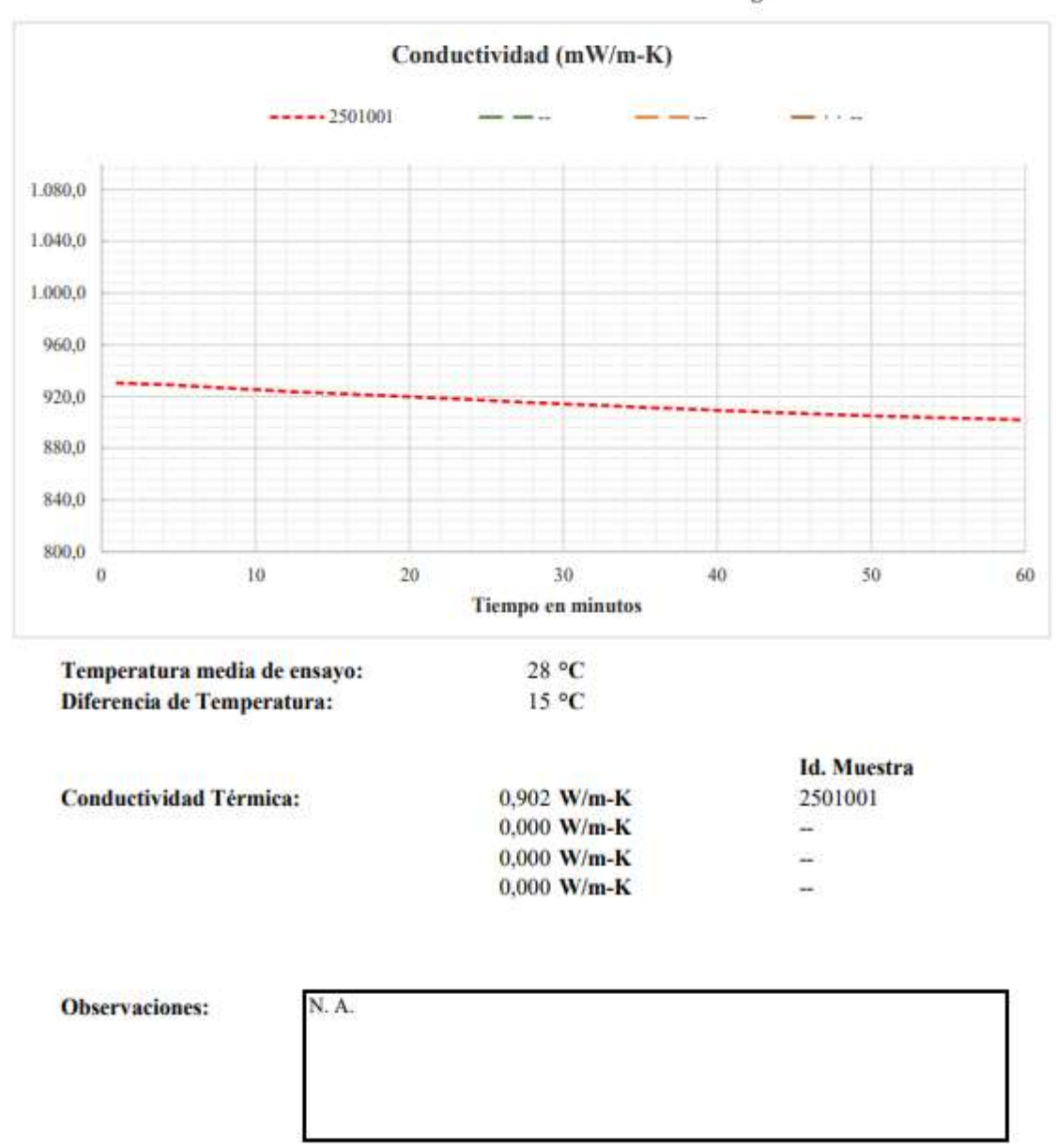
Código de Muestra:	2501001	Fecha de ensayo:	2025-02-14
Temperatura Ambiente Prom	edio: 21 °C	Humedad Relativa:	67%
Código de Muestra:	**	Fecha de ensayo:	
Temperatura Ambiente Promedio:	-	Humedad Relativa:	-
Código de Muestra:	(1 11)	Fecha de ensayo:	
Temperatura Ambiente Promedio:		Humedad Relativa:	**
Código de Muestra:		Fecha de ensayo:	4
Temperatura Ambiente Promedio:	-	Humedad Relativa:	-
Código de Muestra:	-	Fecha de ensayo:	200
Temperatura Ambiente Promedio:	-	Humedad Relativa:	+0
Código de Muestra:	(#)	Fecha de ensayo:	#0
Temperatura Ambiente Promedio:		Humedad Relativa:	-

Fuente: Laboratorio de Ensayos Térmicos y Eficiencia Energética LABET FT 05 (2025).

Figura 31: Informe de resultados del ensayo de conductividad térmica (parte 3)

Resultado

Código de Solicitud: S25-001



Fuente: Laboratorio de Ensayos Térmicos y Eficiencia Energética LABET FT 05 (2025).

Análisis

Figura 32: Guía de los valores de conductividad térmica

Imagen Referencial	Clasificación	Tipo	(W/m*K)	Densidad (kg/m3)	Se puede ensayar	e _{min} (mm)	LXL
	Piedras y rocas	Piedra compacta Roca compacta Piedra	3.49 3.50 1.83	2880 2750 2200	No No Si / No	- 46	150
Ŏ	Concreto, Hormigón, Cermento, Asbesto	Hormigón Hormigón ligeto Hormigón armado Bioque de Concreto Fibrocemento Asbesto	1.4 0.56 1.63 0.62 0.93 0.36	2220 1400 2400 2000 1500	Sí	35 14 41 16 24 10	150
	Materiales aislantes (Rígidos)	EPS XEPS Polluretano	0.040 0.035 0.025	15 40 30	Si	10	250 500
	Materiales aislantes (Deformables)	Lana mineral Fibra de vidrio Lana de roca Cejulosa en spray	0.042 0.047 0.037 0.040	12 7.5 a. 8.2 32 a 37 26 a 42	St	10	250 500

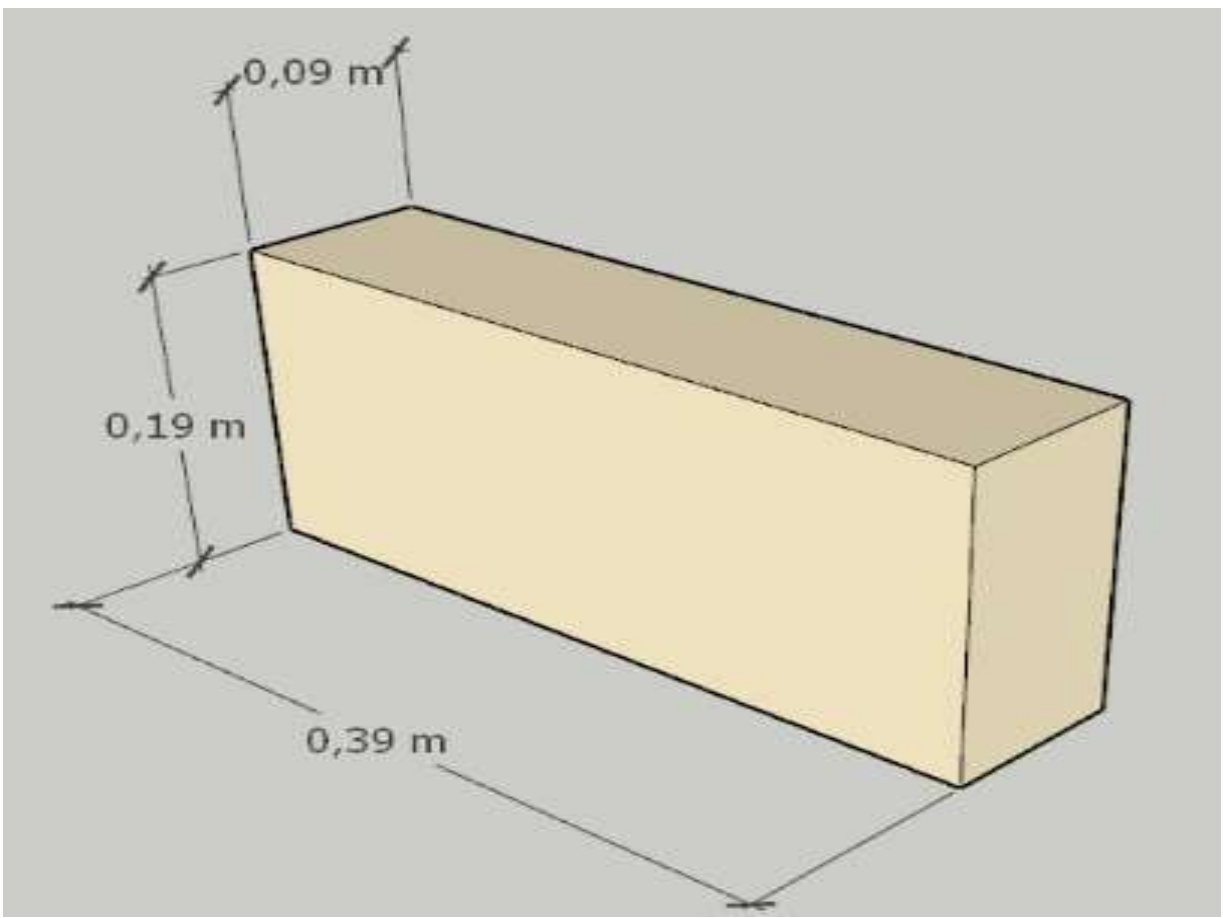
Elaborado por: Laboratorio de Ensayos Térmicos y Eficiencia Energética LABET FT 05 (2025).

Según los valores de conductividad térmica para cada tipo de material de la guía del laboratorio, los bloques de concreto tienen una conductividad térmica de 0,62 W/m*K y el bloque del presente proyecto de investigación obtuvo una conductividad térmica de 0,902 W/m*K, lo que indica que el bloque con fibra de coco y bagazo de caña de azúcar tiene mejor desempeño como aislante térmico.

4.2.5 Cantidad de Bloques para 1 m2 de pared de una vivienda

Dimensiones del bloque:

Figura 33: Dimensiones del bloque prototipo para 1 m2 de pared



Elaborado por: Errazuriz y Romero (2025).

Número de bloques por m² de pared:

Cada bloque tiene dimensiones 39 cm x 19 cm (0.39 m x 0.19 m) de área. El área de un bloque es:

Sin mortero

$$A = 0.39X0.19 = 0.0741 m2$$

Con mortero

$$A = 0.4X0.2 = 0.08 m2$$

Para cubrir 1 m² de pared, el número de bloques sin mortero es:

$$N_{Bloques} = \frac{\text{\'area de la pared}}{\text{\'area del bloque}} = \frac{1 \text{ m2}}{0.0741 \text{ m2}} = 13.5 \text{ bloques} \sin mortero$$

Mortero (Juntas verticales y horizontales)

El bloque tiene 39 cm de ancho y 19 cm de alto (sin juntas). Pero se debe considerar las juntas de mortero para obtener las dimensiones finales:

Ahora, el tamaño efectivo del bloque con mortero es:

Ancho del bloque = (bloque + junta vertical) = 39 cm + 1 cm = 40 cm = 0.4 m

Se necesitaría para cubrir 1 m² de pared:

Número de filas en 1 metro de altura=
$$\frac{1 m2 de pared}{0.205 m de altura total por fila}$$
 = $4.88 \, Filas = 5 \, filas$

Número de bloques por fila en 1 metro de ancho $=\frac{1\ m2\ de\ pared}{0.4\ m\ Ancho\ del\ bloque}=$ 2.5 bloques por fila

Número total de bloques en 1 m^2 de pared: 5 x 2.5 = 12.5 Bloques por metro cuadrado

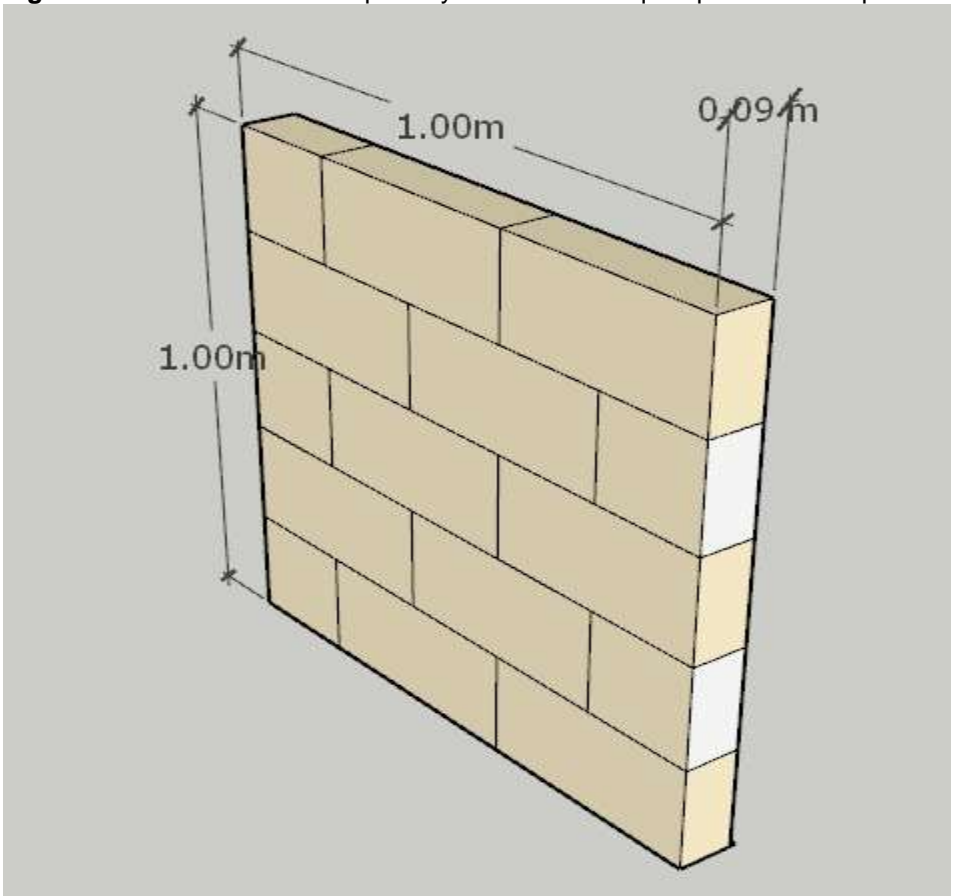


Figura 34: Dimensiones de la pared y número de bloques para 1 m2 de pared

Volumen de mortero ocupan las juntas horizontales y verticales:

Datos de los bloques con mortero:

Dimensiones del bloque: $39 \times 19 \times 9$ cm

Dimensiones del bloque con mortero: 40 x 20 x 9 cm

Número de bloques en 1 m²: 12.5 bloques

Tabla 69: Volumen de mortero para 1 m^2 de pared

JUNTAS VERTICALES	JUNTAS HORIZONTALES
Altura: 20 cm = 0.19 m	Longitud: 1 m (ancho de la pared)
Espesor: 1 cm = 0.01m	Espesor: 1 cm = 0.01 m
Profundidad: 9 cm = 0.09 m	Profundidad: 9 cm = 0.09 m
Volumen de junta V = $7.5 \times 0.2 \times 0.01 \times 0.09$	Volumen por fila H = $5(1 \times 0.01 \times 0.09)$
= 0.00135 m3	$= 0.0045 \ m3$
	Juntas verticales $5 \times 1.5 = 7.5 Juntas$
Volumen total de mortero por 1 m2	

Volumen total de mortero por 1 m2

V de mortero = Volumen vertical + Volumen horizontal = $0.00135 \, m3$ +

 $0.0045 \ m3 = 0.00585 \ m3$

Desperdicios

 $V Final = 0.00585 \,\mathrm{m3} \,\mathrm{x}\,1.3 = 0.0076 \,\mathrm{m3}$, según el principio de mampostería se lo deja en 0.015 m3 para compensar irregularidades y que haya suficiente material.

Elaborado por: Errazuriz y Romero (2025).

El mortero se usa para las juntas horizontales y verticales entre los bloques. Según referencias técnicas de mampostería, para bloques de 40 cm x 20 cm (incluyendo el mortero de 1 cm), el consumo aproximado de mortero es 0.015 m³ por 1 m² de pared.

Dosificación del mortero 1:4 Cemento/Arena

Materiales para 0.015 m³ de mortero

1 m³ de mortero requiere:

• **Cemento**: 350 kg (≈ 7 sacos)

• **Arena**: 1 m³

• Agua: 220 litros = 0.22 m3

Cálculo del cemento:

7 sacos de cemento = 50 Kg cada saco = 7 sacos x 50 Kg= 350 Kg, para 0.015 m3 de mortero seria:

Cemento = 350 Kgx 015 m3 = .5.25 Kg

$$\frac{\textit{Cemento}}{1 \, \textit{saco de cemento}} = \frac{5.25 \, \textit{Kg}}{50 \, \textit{Kg}} = 0.1 \, \textit{sacos de cemento}$$

Se aproxima 0.10 sacos de cemento por 1 m^2 que es igual a 0.1 sacos x 50 Kg de cemento = 5 Kg de cemento.

Cálculo de la arena:

$$\frac{1m \ 3 \ mortero}{1m \ 3 \ arena} \ x \ 0.015 \ m3 \ mortero = 0.015 \ m3 \ de \ arena$$

Cálculo del agua:

Agua = 0.22 m3 = 0.015 m3 de mortero = 0.003 m3 = 3 lt de agua por 1 m².

Cantidades finales para el mortero y bloques por 1 m² de pared

Tabla 70: Cantidades finales para el mortero y bloques por 1 m2 de pared

Agua	0.003 m³
Arena	0.015 m³
Cemento	0.10 sacos
Bloques	12.5 unidades
Material	Cantidad por 1 m ²

Elaborado por: Errazuriz y Romero (2025).

4.2.6 Análisis de Precios Unitarios (APU) para la elaboración de bloques para 1 m2 de pared de una vivienda

Dosificación 4: 12 bloques

Tabla 71: Bagazo de caña=0,5% (tratamiento con hidróxido de sodio al 2%) y fibra de coco 3,5%

Material	Peso (kg)	Peso (g)
PIEDRA CHISPA	44.20	
ARENA	54.12	
CHASQUI	19	
CEMENTO	14.5	
AGUA	10.50	

	A	NÁLISIS DE PRE	ECIO UNITARIO	ı		
RUBRO: CÓDIGO: DESCRIPCIÓN:	PRODUCCIÓN DE 13 BLOQUES M.1 DOSIFICACIÓN 4 (BAGAZO DE CAÑA=0,5°	% (CON HIDRÓXIDO D	E SODIO AL 2% Y FIE	BRA DE COCO=2%)	UNIDAD: ITEM: RENDIMIENTO:	1,0 0,008
EQUIPOS:						
CÓDIGO	DESCRIPCIÓN	CANTIDAD A	TARIFA B	COSTO HORA C=A*B	RENDIMIENTO R	COSTO D=C*R
M.1.1	HERRAMIENTAS MENORES (5% M.O.) MÁQUINA BLOQUERA	1,00		3,00	0,100	0,00 0,30
MANO DE ODDA					SUBTOTAL M	0,30
MANO DE OBRA:		CANTIDAD	JORNAL/HORA	COSTO HORA	RENDIMIENTO	COSTO
CÓDIGO	DESCRIPCIÓN	Α	В	C=A*B	R	D=C*R
M1.2	PEÓN	1,00	3,83	3,83	0,0080	0,03
MATERIAL EQ					SUBTOTAL N	0,03
MATERIALES: CÓDIGO	DESCRIPCIÓN		UNIDAD	CANTIDAD A	PRECIO UNITARIO	COSTO C=A*B
M1.3	CEMENTO PORTLAND		SACO	0,290	7,50	2,17
M1.4	ARENA FINA		М3	0,020	6,50	0,13
M1.5	PIEDRA CHISPA		M3	0,016	12,50	0,20
M1.6	AGUA		LITRO	10,500	0,02	0,210
	CHASQUI		KG	19,000	0,03	0,570
	FIBRA DE COCO		KG	0,530	-	
	BAGAZO DE CAÑA (TRATAMIENTO ALCA	LINO)	KG	0,09	0,95	0,086
					SUBTOTAL O	3,37
TRANSPORTE						
TRANSPORTE: CÓDIGO	DESCRIPCIÓN	UNIDAD	CANTIDAD	TARIFA TRANSPORTE	DISTANCIA (km)	COSTO
_	DESCRIPCIÓN	UNIDAD	CANTIDAD			COSTO
_	DESCRIPCIÓN	UNIDAD	CANTIDAD			
	DESCRIPCIÓN	UNIDAD	CANTIDAD			
	DESCRIPCIÓN	UNIDAD	CANTIDAD	TRANSPORTE TOTAL COSTO D	(km)	

Tabla 73: APU del emblocado con bloques de la dosificación 4

		ANÁLISIS DE PRI	CIO UNITARIO			
RUBRO:	EMBLOCADO DE PARED				UNIDAD:	
CÓDIGO:	M-2				ITEM:	1,0
DESCRIPCIÓN:	EMBLOCADO DE 1 M2 DE PARED.				RENDIMIENTO:	0,3
EQUIPOS:						
CÓDIGO	DESCRIPCIÓN	CANTIDAD A	TARIFA B	COSTO HORA C=A*B	RENDIMIENTO R	COSTO D=C*R
M-2.1	HERRAMIENTAS MENORES	1,00				0,1
					SUBTOTAL M	0,1
IANO DE OBRA		CANTRAR	IODMAL (UOD.)	00070 11007	DENDINGENTO	00070
CÓDIGO	DESCRIPCIÓN	CANTIDAD A	JORNAL/HORA B	COSTO HORA C=A*B	RENDIMIENTO R	COSTO D=C*R
M-2.2	PEÓN	1,00	3,83	3,83	0,300	1,1
M-2.2	ALBAÑIL	1,00	3,87	3,87	0,300	1,1
M-2.3	MAESTRO	1,00	4,65	4,65	0,300	1,3
					SUBTOTAL N	3,7
MATERIALES:	T		III DAD	OANTIDAD.	Inneala unuta nial	00070
CÓDIGO	DESCRIPCIÓN		UNIDAD	CANTIDAD A	PRECIO UNITARIO B	COSTO C=A*B
M-2.4	CEMENTO PORTLAND		SACO	0,100	7,510	0,7
M-2.5	ARENA		M3	0,015	12,500	0,1
M-2.6	BLOQUES CON FIBRA DE COCO Y BAG	GAZO DE CAÑA	UNIDAD	13,000	0,280	3,6
M-2.7	AGUA		KG	3,000	0,290	0,8
					SUBTOTAL O	5,4
TRANSPORTE:					002.020	-,.
CÓDIGO	DESCRIPCIÓN	UNIDAD	CANTIDAD	TARIFA	DISTANCIA	COSTO
				TRANSPORTE	(km)	
						-
					SUBTOTAL P	-
		TOTAL COSTO DIREC	CTO (M+N+O+P)			9,
		COSTOS INDIRECTO	S %		20,00%	1,
		COSTO TOTAL DEL F	UBRO			\$ 11,

Tabla 74: APU del enlucido interior de 1 m2 de pared

		ANÁLISIS DE PRE	CIO UNITARIO			
RUBRO:	ENLUCIDO INTERIOR DE PARED				UNIDAD:	n
CÓDIGO:	M-3				ITEM:	1,0
DESCRIPCIÓN:	MEZCLA DE CEMENTO, AGUA Y ARE	NA A 1 M2 DE PARED EN	IBLOCADA		RENDIMIENTO:	0,40
EQUIPOS:						
CÓDIGO	DESCRIPCIÓN	CANTIDAD A	TARIFA B	COSTO HORA C=A*B	RENDIMIENTO R	COSTO D=C*R
M-3.1	HERRAMIENTAS MENORES	1,00				0,24
MANO DE OBRA:					SUBTOTAL M	0,24
CÓDIGO	DESCRIPCIÓN	CANTIDAD A	JORNAL/HORA B	COSTO HORA C=A*B	RENDIMIENTO R	COSTO D=C*R
M-3.2	PEÓN	1,00	3,83	3,83	0,400	1,53
M-3.3	ALBAÑIL	1,00	3,87	3,87	0,400	1,54
M-3.4	MAESTRO	1,00	4,65	4,65	0,400	1,86
					SUBTOTAL N	4,94
MATERIALES:			1		II	
CÓDIGO	DESCRIPCIÓ	N	UNIDAD	CANTIDAD A	PRECIO UNITARIO B	COSTO C=A*B
M-3.5	CEMENTO PORTLAND		SACO	0,100	7,51	0,75
M-3.6	ARENA		M3	0,030	12,50	0,37
M-3.7	AGUA		M3	0,010	0,29	0,00
					SUBTOTAL O	1,12
TRANSPORTE:					0021011120	.,
CÓDIGO	DESCRIPCIÓN	UNIDAD	CANTIDAD	TARIFA TRANSPORTE	DISTANCIA (km)	соѕто
		TOTAL 000-0-1-1-1	TO (14.22 5 =:		SUBTOTAL P	-
		TOTAL COSTO DIREC			20.000/	6,32
		UTILIDAD %	70		20,00%	1,2
		COSTO TOTAL DEL R	IIRPO %		<u> </u>	7,5
			ODRO /0			\$ 7,5
		VALOR OFERTADO				. , -

Tabla 75: APU del enlucido exterior de 1 m2 de pared

		ANÁLISIS DE PRE	CIO UNITARIO			
RUBRO:	ENLUCIDO EXTERIOR DE PARED				UNIDAD:	m
CÓDIGO: DESCRIPCIÓN:	M-4 MEZCLA DE CEMENTO, AGUA Y ARE	NA A 1 M2 DE DADED EN			ITEM: RENDIMIENTO:	1,00 0,400
DESCRIPCION:	MEZCLA DE CEMENTO, AGUA Y ARE	ENA A 1 WZ DE PARED EW	IBLOCADA		RENDIMIENTO:	0,400
EQUIPOS:						
CÓDIGO	DESCRIPCIÓN	CANTIDAD	TARIFA	COSTO HORA	RENDIMIENTO	COSTO
		Α	В	C=A*B	R	D=C*R
M-4.1	HERRAMIENTAS MENORES	1,00				0,247
MANO DE OBRA:	<u> </u>				SUBTOTAL M	0,247
CÓDIGO	DESCRIPCIÓN	CANTIDAD A	JORNAL/HORA B	COSTO HORA C=A*B	RENDIMIENTO R	COSTO D=C*R
M-4.2	PEÓN	1,00	3,83	3,83	0,400	1,532
M-4.3	ALBAÑIL	1,00	3,87	3,87	0,400	1,548
M-4.4	MAESTRO	1,00	4,65	4,65	0,400	1,860
MATERIALES:					SUBTOTAL N	4,940
CÓDIGO	DESCRIPCIÓ	N	UNIDAD	CANTIDAD	PRECIO UNITARIO	COSTO
M-4.5	CEMENTO PORTLAND		SACO	A 0,100	B 7,51	C=A*B 0,751
M-4.6	ARENA		M3	0,030	12,50	0,375
M-4.7	AGUA		M3	0,010	0,29	0,003
M-4.8	ADITIVO PARA IMPERMEABILIZAR MO	ORTERO	KG	0,010	1,61	0,016
					SUBTOTAL O	1 14
TRANSPORTE:					SUBTOTAL O	1,145
TRANSPORTE: CÓDIGO	DESCRIPCIÓN	UNIDAD	CANTIDAD	TARIFA TRANSPORTE	SUBTOTAL O DISTANCIA (km)	1,145 COSTO
	DESCRIPCIÓN	UNIDAD	CANTIDAD		DISTANCIA	
	DESCRIPCIÓN	UNIDAD	CANTIDAD		DISTANCIA	COSTO
	DESCRIPCIÓN	UNIDAD	CANTIDAD		DISTANCIA	COSTO
	DESCRIPCIÓN	UNIDAD	CANTIDAD		DISTANCIA (km)	совто
	DESCRIPCIÓN				DISTANCIA	COSTO
	DESCRIPCIÓN	TOTAL COSTO DIREC	:TO (M+N+O+P)		DISTANCIA (km)	COSTO 6,3:
	DESCRIPCIÓN		:TO (M+N+O+P)		DISTANCIA (km)	COSTO 6,3:
	DESCRIPCIÓN	TOTAL COSTO DIRECTOR COSTOS INDIRECTOR	STO (M+N+O+P) S %		DISTANCIA (km)	- - - 6,3: 1,2:

4.2.7 Presupuesto

Tabla 76: Presupuesto

PROYECTO: CONSTRUCCIÓN DE MAMPOSTERÍA DE VIVIENDA DE 1 PLANTA

ITEM	CÓDIGO	DESCRIPCIÓN	UNIDAD	CANTIDAD	PRECIO UNITARIO	PRECIO TOTAL
		MAMPOSTERÍA				
1	M-2	EMBLOCADO DE PARED CON BLOQUE CON FIBRA DE COCO Y BAGAZO DE CAÑA	m2	11,21	110,60	\$ 1.239,83
2	M-3	ENLUCIDO INTERIOR	m2	7,58	110,60	\$ 838,35
3	M-4	ENLUCIDO EXTERIOR	m2	7,60	110,60	\$ 840,56
						\$ 2.918,73

Elaborado por: Errazuriz y Romero (2025).

4.2.8 Modelado en 3D de vivienda Empleando el Bloque Prototipo

Figura 35: Modelado con vista en planta de la vivienda

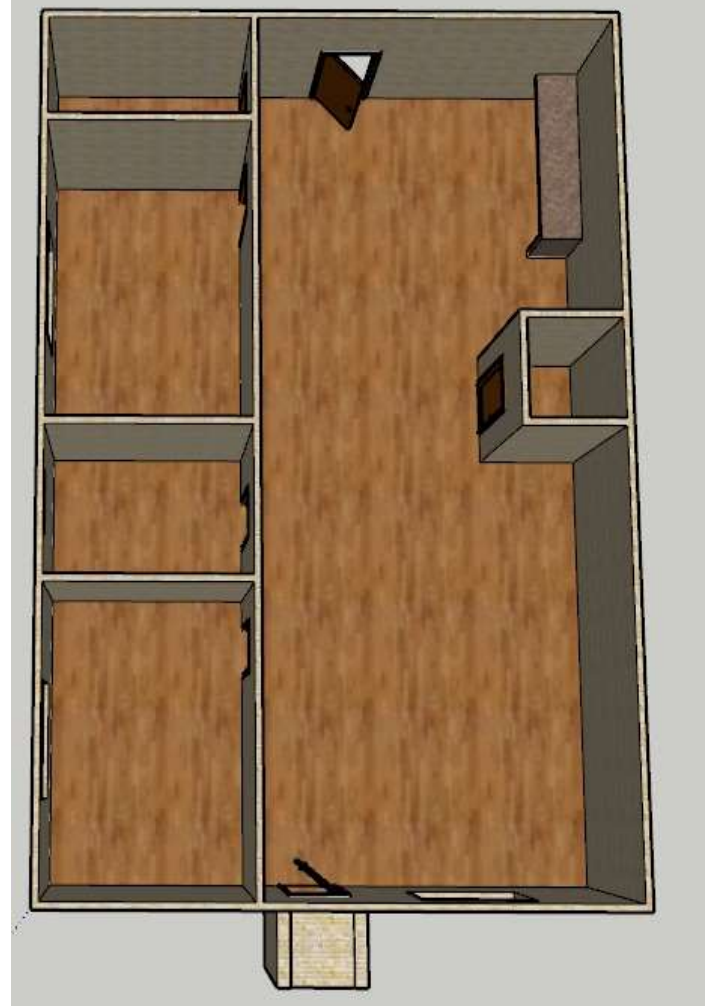


Figura 36: Modelado de fachada frontal de la vivienda

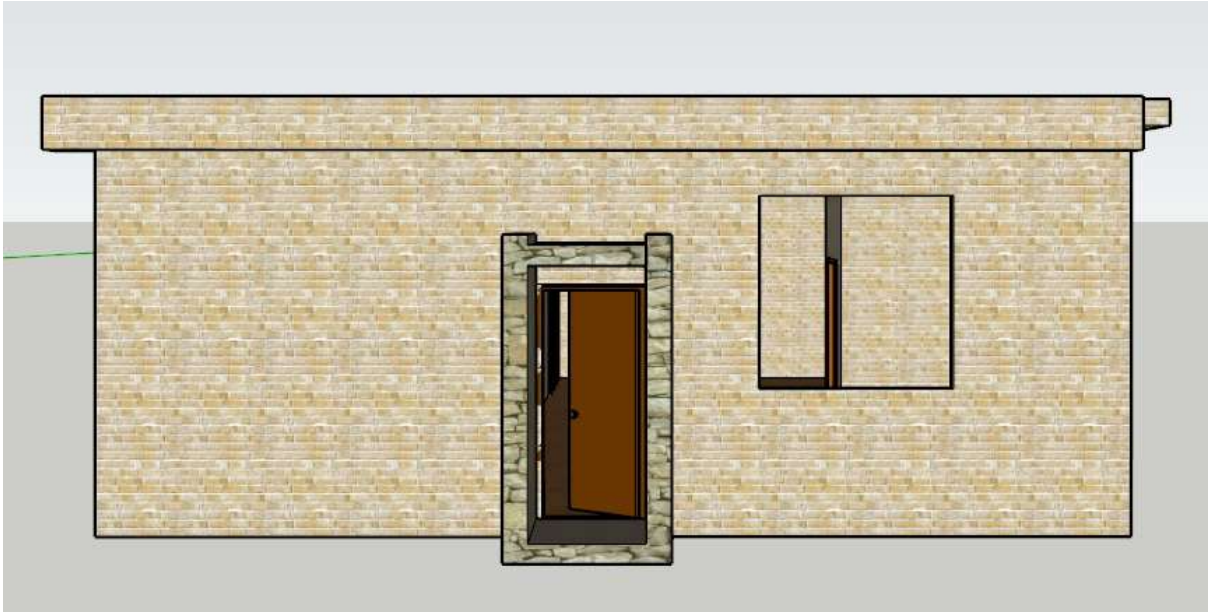


Figura 37: Modelado de fachada lateral izquierda de la vivienda

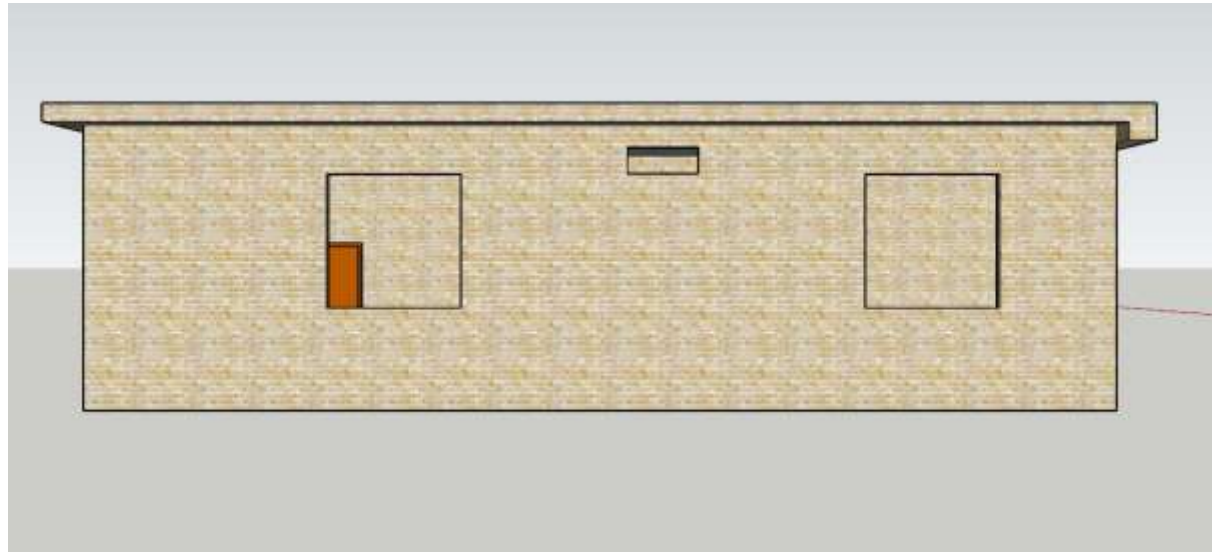


Figura 38: Modelado de fachada posterior de la vivienda



Figura 39: Modelado de fachada lateral derecha de la vivienda

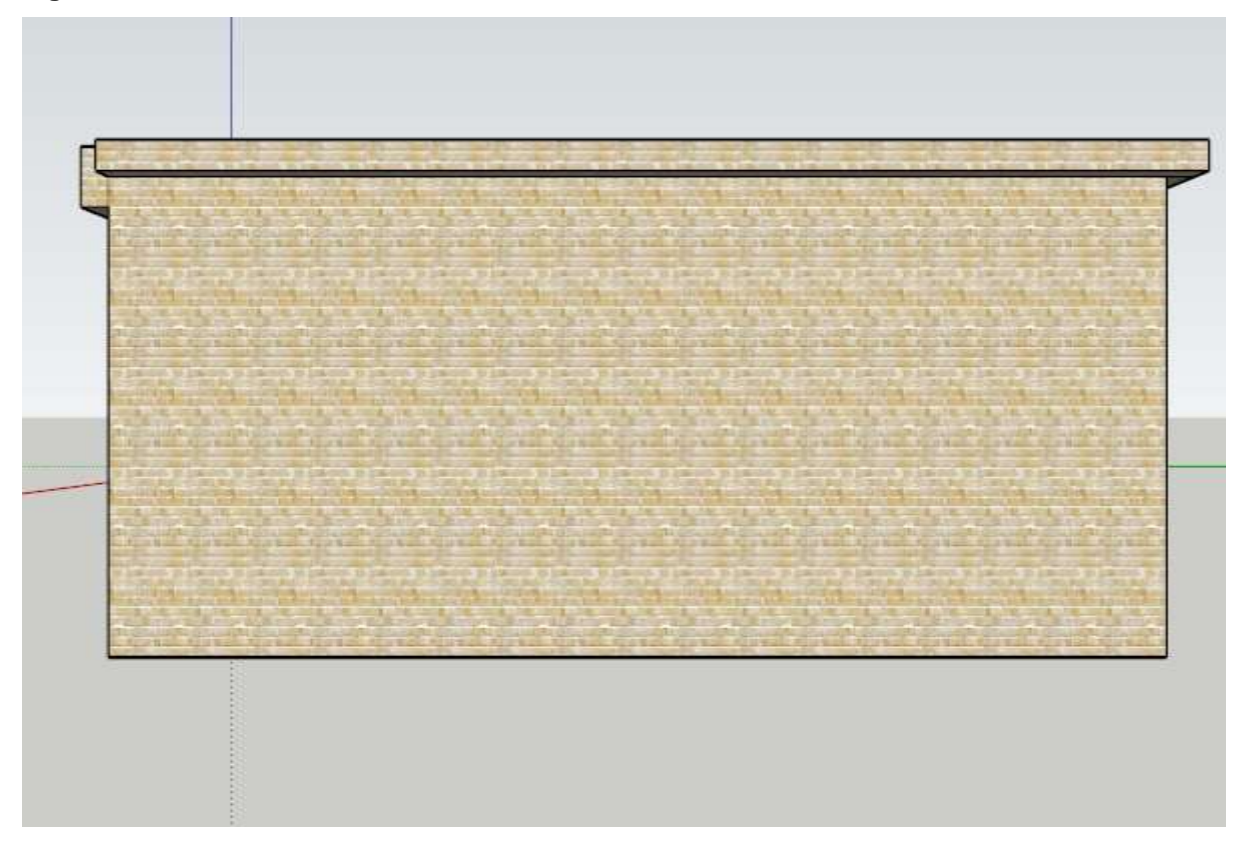
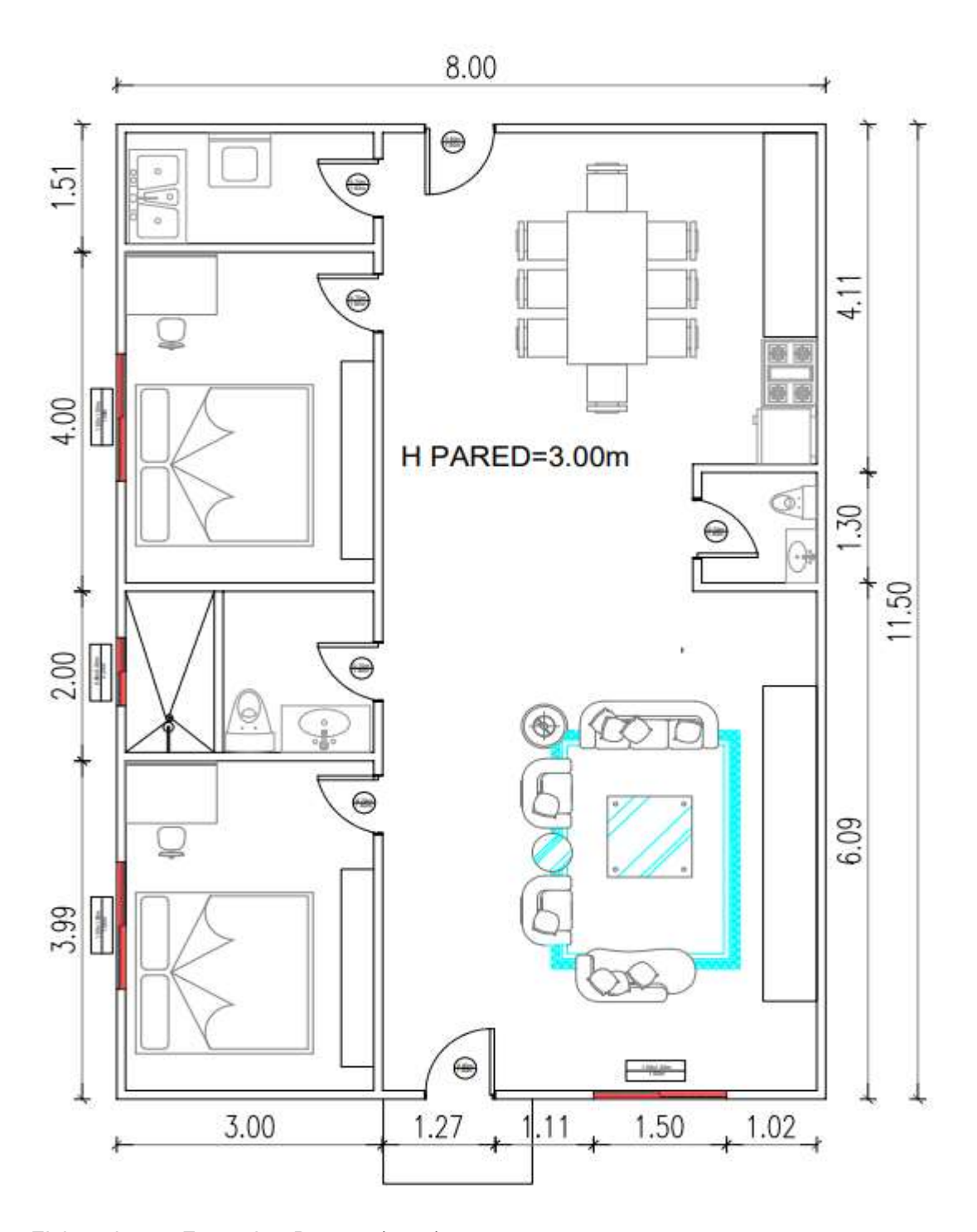


Figura 40: Plano arquitectónico de la vivienda



CONCLUSIONES

El bagazo de caña de azúcar y la fibra de coco mantuvieron en cantidades pequeñas y controladas mantienen la resistencia a compresión de los bloques al mismo tiempo que brindan una menor conductividad térmica en comparación con el bloque de concreto tradicional. Además, el tratamiento alcalino realizado al bagazo de caño hizo que se mejoraran sus propiedades mecánicas y adherencia a la mezcla de concreto.

Según las pruebas realizadas a los bloques la dosificación D4 fue la que mayor resistencia a compresión tuvo con resultados de bloque 1 – 2.97 MPA, bloque 2 con 3.44 MPA y bloque 3 con 3.68 MPA. La normativa de la ACI brindó una metodología de dosificación primaria, pero con los resultados de la práctica realizando los bloques, ésta se fue modificando ligeramente según la consistencia de la mezcla.

El bloque cumplió con su función de ser un aislante térmico según el ensayo de conductividad térmica, donde se obtuvo como resultado 0,902 W/m-K, esta conductividad, comprobando la hipótesis de que el bloque disminuirá la transferencia de calor a través del mismo mientras que mantiene su resistencia a compresión dentro de los valores de las normativas.

En este sentido, la incorporación de las fibras vegetales con propiedades de aislamiento térmico y resistencia mecaniza, como la fibra de coco y el bagazo de caña, hizo del bloque un material termoaislante de mampostería no estructural, siendo muy adecuado para el clima que tenemos en Guayas, realizando los tratamientos químicos a la fibra y el bagazo se pudo mejorar sus propiedades haciendo que su resistencia sea la aceptada, pero hay un problema y es con el costo del tratamiento alcalino el cual en caso de pequeña cantidad seria caro, pero diseñado en gran cantidad puede ser muy beneficioso para no solo las viviendas de interés social, sino a la población en general.

RECOMENDACIONES

Se recomienda que luego de la recolecta de los cocos para la obtención de la fibra, estos sean lavados y dejarlos secar de forma esparcida, no amontonados, ya que las cascaras de los cocos pueden contener aún parte de su pulpa junto con el agua y estos hacen que se descompongan de forma más acelerada.

Es aconsejable que en el momento de la extracción de la fibra de coco este proceso sea antes de que pasen 5 días desde su recolección, para evitar la descomposición y pérdida de material y en el momento del inicio de la extracción de la fibra, las cáscaras se deben humedecer para que la fibra sea más fácil de sacar y no lastimarla. Las fibras tienen que ser cortadas hasta tener máximo 1 cm de tal manera que en el momento de incorporarlas en la mezcla sea completamente uniforme.

Se recomienda tener cuidado con el tratamiento alcalino, ya que el hidróxido de sodio puede ser dañino para el cuerpo, ya que puede liberar vapores alcalinos altamente corrosivos, los cuales pueden irritar la piel, vías respiratorias y ojos, por lo que se recomienda siempre tener los equipos de protección que son mandil, guantes, gafas de protección y mascarillas.

Se debería considerar que, para los ensayos de granulometría, los materiales hayan pasado mínimo dos semanas en el sol, para que no se pierda mucho tiempo en la preparación de los materiales, por ejemplo, la arena. Si la arena está húmeda, para que se seque completamente en el horno deben pasar más de 72h.

Para que se obtenga una mezcla homogénea de los materiales se debe de asegurar que la dosificación sea la correcta para los bloques, dependiendo de cómo se vayan añadiendo los materiales tener cuidado con el agua, ya que para los bloques esta mezcla no debe estar muy líquida, tiene que tener una consistencia arenosa y granulosa. Por motivo de que la dosificación por el método ACI es para concreto, se debe tener cuidado con la cantidad de agua calculada, ya que suele ser más de la que el bloque necesita y en el momento en que la mezcla sea colocada en la máquina vibro compactadora o bloquera, no habrá perdida de cemento y agua.

REFERENCIAS BIBLIOGRÁFICAS

- Acevedo de la Espriella, M. A., y Luna Velasco, M. S. (2021). Tratamientos químicos superficiales para el uso de fibras naturales en la construcción: concretos y morteros. *Monografía para obtar por el título de ingenieros civiles*. Cartagena: Universidad de Cartagena. https://doi.org/http://dx.doi.org/10.57799/11227/7913
- Acosta, E. (19 de marzo de 2024). Ola de calor en Guayaquil está provocando malestares de salud. *Metro*. Recuperado el 10 de jul de 2024, de https://www.metroecuador.com.ec/noticias/2024/03/19/ola-de-calor-enguayaquil-esta-provocando-malestares-de-salud/
- Ahmed Ali, K., Ahmad, M., y Yusup, Y. (2020). Issues, Impacts, and Mitigations of Carbon Dioxide Emissions in the Building Sector. *Sustainability*, 12(18). https://doi.org/https://doi.org/10.3390/su12187427
- American Society for Testing Materials [ASTM]. (2009). ASTM C 127-01: Método de Ensayo Normalizado para Determinar la Densidad, la Densidad Relativa (peso específico) y la Absorción de los Áridos Gruesos. Recuperado el 15 de may de 2024, de Scribd: https://es.scribd.com/document/328614341/ASTM-C-127-01
- American Society for Testing Materials [ASTM]. (s.f.). ASTM C 128-01: Método de Ensayo para Determinar la Densidad, Densidad Relativa (Peso Específico) y Absorción de los Agregados Finos. Recuperado el 20 de jul de 2024, de Scribd: https://es.scribd.com/document/401062039/328614340-ASTM-C-128-01-pdf
- American Society for Testing Materials [ASTM]. (s.f.). ASTM C 29/C 29M 97:

 Método de Ensayo Normalizado para Determinar la Densidad Aparente
 ("peso unitario") e Índice de Huecos en los Áridos. Recuperado el 15 de may
 de 2024, de Scribd: https://es.scribd.com/document/362029309/ASTM-C29Peso-Unitario
- Asamblea Nacional Constituyente de Ecuador. (2008). Constitución de la República de Ecuador. Recuperado el 15 de jul de 2024, de Lexis: https://www.lexis.com.ec/biblioteca/constitucion-republica-ecuador
- Aulestia Altamirano, A. I. (ago de 2020). Análisis de factibilidad del uso de fibra de coco en la fabricación de ladrillos de cemento para construcciones de vivienda en el Ecuador. *Trabajo de grado al programa de Ingeniería Mecánica con mención en Diseño y Materiales*. Quito, Ecuador: Universidad

- Internacional SEK. Obtenido de http://repositorio.uisek.edu.ec/handle/123456789/3907
- Brios-Avendaño, J., Narciso-Gomez, K., Villalobos-Meneses, B., Mancha-Alvarez, V., Ramirez-Veliz, J., Solis-Tipian, M., y Gomero-Ostos, N. (2023). Utilization of coconut (Cocos nucifera) husk fiber for the manufacture of environmentally friendly packaging. 21st LACCEI International Multi-Conference for Engineering, Education and Technology. Buenos Aires: Latin American and Caribbean Consortium of Engineering Institutions (LACCEI). https://doi.org/https://dx.doi.org/10.18687/LACCEI2023.1.1.1098
- Buelvas Arrieta , Y. A., y Díaz Reyes, L. L. (22 de feb de 2023). Caracterización de fibras del mesocarpio del coco como potencial refuerzo para la elaboración de materiales compuestos. *Trabajo de grado-Pregrado*. Universidad de Córdoba. Obtenido de https://repositorio.unicordoba.edu.co/handle/ucordoba/7177
- Castillo Quimis, E. L., Mite Pezo, J. A., y Pérez Arévalo, J. J. (jul de 2019). Influencia de los materiales de la envolvente en el confort térmico de las viviendas. Programa Mucho Lote II, Guayaquil. *Revista Universidad y Sociedad, 11*(4), 303-309. Obtenido de http://scielo.sld.cu/scielo.php?script=sci_arttextypid=S2218-36202019000400303
- Choez Abata, C. R. (2023). Diseño de bloques de mampostería con adición porcentual de aserrín para mejorar sus características mecánicas. *Diseño de bloques de mampostería con adición porcentual de aserrín para mejorar sus características mecánicas*. Recuperado el 15 de feb de 2025, de https://repositorio.unesum.edu.ec/bitstream/53000/5249/1/Choez%20Abata% 20Cristhian%20Rub%C3%A9n.pdf
- Código Orgánico del Ambiente [COA]. (2017). Código Orgánico del Ambiente.

 Recuperado el 16 de jul de 2024, de Lexis:

 https://www.lexis.com.ec/biblioteca/codigo-organico-ambiente
- Cordero Estévez, G. D., Cárdenas Gutiérrez, J. A., y Rojas Suárez, J. P. (2022). Diseño de mezclas de concreto aplicando el método ACI. Editorial-UFPS. Obtenido de https://libros.ufps.edu.co/index.php/editorial-ufps/catalog/book/25
- Godoy-Vaca, L., Vallejo-Coral, E. C., Martínez-Gómez, J., Orozco, M., y Villacreses, G. (2021). Predicted Medium Vote Thermal Comfort Analysis Applying Energy Simulations with Phase Change Materials for Very Hot-Humid Climates in Social Housing in Ecuador. Sustainability, 13(3). https://doi.org/https://doi.org/10.3390/su13031257
- Guillen Herrera, O. W. (Abr de 2022). Caracterización fisicoquímica preliminar para potenciales usos como material de construcción del bagazo de caña de

- azúcar industrial del valle del Chira y artesanal del distrito de Montero, Ayabaca, Piura. *Información Tecnológica, 33*(2), 247-258. https://doi.org/http://dx.doi.org/10.4067/S0718-07642022000200247
- Instituto Ecuatoriano de Normalización [INEN]. (2011). NTE INEN 872: Áridos para hormigón. Requisitos. Recuperado el 10 de may de 2024, de Scribd: https://es.scribd.com/document/515214336/NTE-INEN-872-2011-Aridos-Hormigon-Requisitos
- Instituto Ecuatoriano de Normalización [INEN]. (2014). NTE INEN 638: Bloques huecos de hormigón. Definiciones, clasificación y condiciones generales. Recuperado el 12 de may de 2024, de Scribd: https://es.scribd.com/document/291863521/Nte-Inen-638
- Instituto Ecuatoriano de Normalización [INEN]. (2016). NTE INEN 3066: Bloques de Hormigón. Requisitos y métodos de ensayo. Recuperado el 10 de may de 2024, de Vipresa: https://vipresa.com.ec/wp-content/uploads/2019/02/nte_inen_3066.pdf
- Internacional Organization for Standardization [ISO]. (1991). ISO 8302.- Standard Test Method for Steady-State Heat Flux Measurements and Thermal Transmission Properties by Means of the Guarded-Hot-Plate Apparatus. Recuperado el 25 de may de 2024, de iTeh Standards: https://cdn.standards.iteh.ai/samples/15422/a3c9a98d950c42759402e90ecde 17762/ISO-8302-1991.pdf
- Jácome-Pilco, C. R., García-Culqui, R. M., Guevara-Narváez, L. A., y Moreta-Guangasi, T. Y. (2 de May de 2023). Revalorización del bagazo de caña de azúcar (Saccharum officinarum) como residuo importante para la agroindustria. 593 Digital Publisher CEIT, 8(3), 134-148. https://doi.org/https://doi.org/10.33386/593dp.2023.3.1661
- Johansson, E., Yahia, M. W., Arroyo, I., y Bengs, C. (2018). Outdoor thermal comfort in public space in warm-humid Guayaquil, Ecuador. *International Journal of Biometeorology*, 62, 387-399. https://doi.org/https://doi.org/10.1007%2Fs00484-017-1329-x
- Lin Chen, Zhonghao Chen, Zhuolin Xie, Lilong Wei, Jianmin Hua, Lepeng Huang, y Pow-Seng Yap. (2023). Recent developments on natural fiber concrete: A review of properties, sustainability, applications, barriers, and opportunities. *Developments in the Built Environment, 16.* https://doi.org/https://doi.org/10.1016/j.dibe.2023.100255
- López, V. (16 de marzo de 2024). Aumentan las afecciones en la piel por olas de calor en Guayaquil. Expreso. Recuperado el 17 de jun de 2024, de https://www.expreso.ec/guayaquil/aumentan-afecciones-piel-olas-calor-193749.html

- Miller, S. A., Habert, G., Myers, R. J., y Harvey, J. T. (2021). Achieving net zero greenhouse gas emission in the cement industry via vallue chain mitigation strategies. *One Earth, 4*(10), 14. https://doi.org/https://doi.org/10.1016/j.oneear.2021.09.011
- Ministerio de energía y recursos naturales no renovables. (2020). Balance Energético Nacional. (1), 12-172.
- Montenegro, M., Campozano, L., Urdiales-Flores, D., Maisincho, L., Serrano-Vicenti, S., y Borbor-Cordova, M. J. (31 de ene de 2022). Assessment of the Impact of Higher Temperatures Due to Climate Change on the Mortality Risk Indexes in Ecuador Until 2070. Frontiers in Science, 9. https://doi.org/https://doi.org/10.3389/feart.2021.794602
- Montoya Murillo, L. (2024). Residuos vegetales de Banano (Musa x paradisiaca L), coco (Cocos nucifera L) y caña de azúcar (Saccharum officinarum L) para la obtención de fibras textiles. *Trabajo de titulación*. Babahoyo, Los Ríos, Ecuador: Universidad Técnica de Babahoyo. Recuperado el 13 de jul de 2024, de http://dspace.utb.edu.ec/handle/49000/17033
- Núñez Naranjo, P., Palacios Pérez, F., y Armijos Mena, S. (4 de Abr de 2023). ELABORACIÓN Y CARACTERIZACIÓN DE UN MATERIAL COMPUESTO CON POLIETILENO DE TEREFTALATO PARA LA FABRICACIÓN DE BLOQUES. Instituto Superior Tecnológico Tsachila, Mecánica Industrial, Santo Domingo, Ecuador, 1(29). https://doi.org/https://doi.org/10.47187/perf.v1i29.206
- Openstax College Physics. (s.f.). *Openstax College Physics*. Recuperado el 18 de ago de 2024, de Conduction: https://openstax.org/books/college-physics/pages/14-5-conduction?query=thermal%20conductivityytarget=%7B%22index%22%3A0%2C%22type%22%3A%22search%22%7D#import-auto-id3062885
- Pozo Morales, A. R. (2019). Materiales compuestos con fibras naturales. *Tesis* (*Doctoral*). Madrid, España: Universidad Politécnica de Madrid. https://doi.org/https://doi.org/10.20868/UPM.thesis.55053
- Rajapakse, A. M., Mudunkotuwa, D. Y., Sanjula, S. N., Nishantha, K., y Bandara, T. R. (31 de may de 2022). Cement and Clay Bricks Reinforced with Coconut Fiber and Fiber Dust. *Advances in Technology*, *2*(3), 233-248. https://doi.org/https://doi.org/10.31357/ait.v2i3.5534
- Rambabu, N., Panthapulakkal, S., Sain, M., y Dalai, A. K. (2016). Production of nanocellulose fibers from pinecone biomass: Evaluation and optimization of chemical and mechanical treatment conditions on mechanical properties of nanocellulose films. *Industrial Crops and Products, 83*, 746-754. https://doi.org/https://doi.org/10.1016/j.indcrop.2015.11.083

- Ribeiro, B., Uchiyama, T., Tomiyama, J., Yamamoto, T., y Yamashiki, Y. (2020). Development of Interlocking Concrete Blocks with Added Sugarcane Residues. *Fibers*, *8*(10). https://doi.org/https://doi.org/10.3390/fib8100061
- Ripoll Puentes, A., y Yepes Ayola, E. (2023). Análisis de los sistemas de aislamiento térmico en edificaciones residenciales de hormigón. *Trabajo de grado-pregrado*. Cartagena, Colombia: Universidad de Cartagena. https://doi.org/http://dx.doi.org/10.57799/11227/12053
- San Andrés Zevallos, G. I., Aguilar-Sierra, S., y Graziella, B. (sept de 2023).

 Morphological, physical, and chemical characterization of coconut residues in Ecuador. *Heliyon*, *9*(9).

 https://doi.org/https://doi.org/10.1016/j.heliyon.2023.e19267
- Shadheer Ahamed, M., Ravichandran, P., y Krishnaraja, A. (2021). Natural Fibers in Concrete A Review. *IOP Sciencie*, 1055. https://doi.org/10.1088/1757-899X/1055/1/012038
- Souza, P. L., Eires, R., y Malheiro, R. (2023). Sugarcane Bagasse as Aggregate in Composites for Building Blocks. *Energies, 16*(1). https://doi.org/https://doi.org/10.3390/en16010398
- Vallejo Naranjo, A. C., y Guerrero Luzuriaga, S. A. (27 de may de 2024). Obtención de fibras textiles, a partir del bagazo de caña de azúcar (Saccharum officinarum) generado en la industria panelera del cantón Echeandia. *Trabajo de Titulación para optar al título de Ingeniero Agroindustrial*. Riobamba, Chimborazo, Ecuador: Universidad Nacional de Chimborazo. Recuperado el 16 de jul de 2024, de http://dspace.unach.edu.ec/handle/51000/13058
- Villacís Troncoso, M., Luna Hermosa, G., Velastegui Zambrano, E., Santacruz, W. A., Zuñiga Morales, P., Nates Pasaje, J. D., y Orbe Pinchao, L. (2020). Dosificación para elaborar bloques huecos de hormigón que cumplan con la actual NTE INEN 3066. Revista Tecnológica-ESPOL, 32(1), 7. https://doi.org/https://doi.org/10.37815/rte.v32n1.688
- Zambrano Murillo, C., Hechavarría Hernández, J. R., y Vázquez, M. L. (2020). Multicriteria Analysis in the Proposed Environmental Management Regulations for Construction in Aurora, Guayas, Ecuador. *Advances in Artificial Intelligence, Software and Systems Engineering*, 965. https://doi.org/https://doi.org/10.1007/978-3-030-20454-9_10

ANEXOS

Anexo 1: Elaboración del bloque del ensayo de conductividad térmica



Anexo 2: Incorporación de fibra de coco al bloque del ensayo de conductividad térmica





Anexo 4: Cantidad de agua para el refrentado de los bloques



Anexo 5: Cantidad de cemento para el refrentado de los bloques



Anexo 6: Refrentado de los bloques



Anexo 7: Máquina de ensayo de resistencia a compresión



Anexo 8: Falla del bloque 1 de la dosificación 3



Anexo 9: Falla del bloque 3 de la dosificación 3



Anexo 10: Falla del bloque 1 de la dosificación 2

